



ปริญญาโทบริหารการศึกษา 2532

ภาควิชา อีเลคทรอนิกส์

คณะวิศวกรรมศาสตร์ สถาบันเทคโนโลยีพระจอมเกล้าเจ้าคุณทหารลาดกระบัง

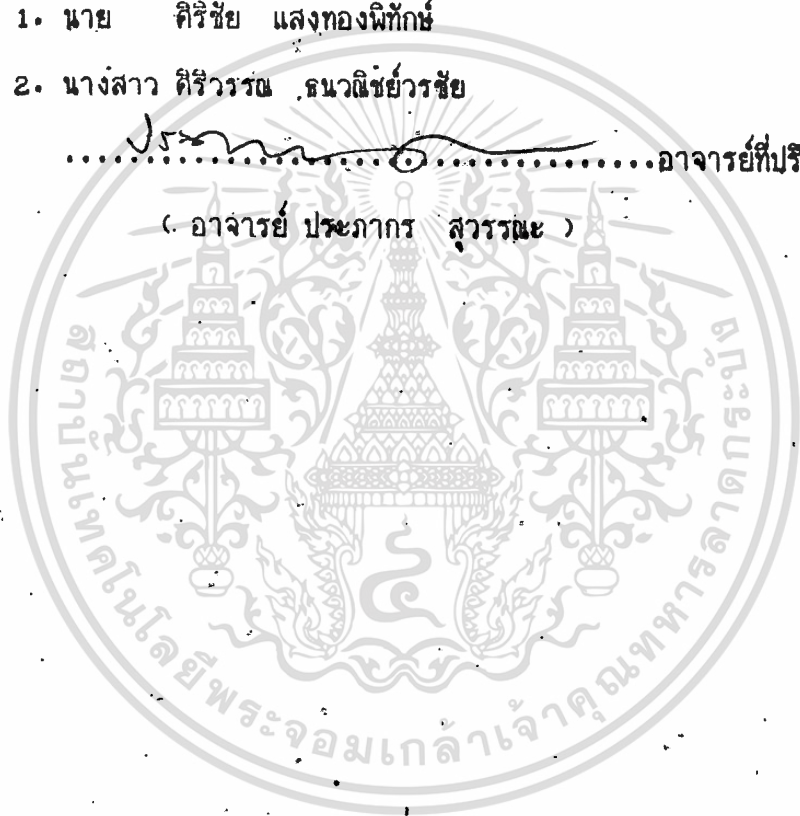
เรื่อง 2 CHANNELS BEDSIDE ICU MONITOR

ผู้จัดทำ

1. นาย ศิริชัย แสงทองนิทัศน์
2. นางสาว ศิริวรรณ ธนาภิษฐ์วารชัย

..........อาจารย์ที่ปรึกษา

(อาจารย์ ประภากร สุวรรณะ)



เครื่องวัดสัญญาณหัวใจ 2 ของสัญญาณ

นาย ศิริชัย แสงทองนิทกซ์
น.ส. ศิริวรรณ ธนาภิธยารัตน์
อาจารย์ที่ปรึกษา
ภาควิชา วิทยาศาสตร์ สุวรรณ
ปีการศึกษา 2532

บทคัดย่อ

เครื่องวัดสัญญาณหัวใจ 2 ของสัญญาณที่ทำในโครงการนี้ ได้ทำการปรับปรุงและพัฒนาระบบต่างจากเครื่องวัดสัญญาณหัวใจ 1 ของสัญญาณที่ทำการวิจัยมาก่อนแล้ว โดยในโครงการนี้ได้ทำการปรับปรุงวงจรขยายสัญญาณหัวใจและวงจรขยายสัญญาณหายใจส่วนแรก และทำการเปลี่ยนแปลงวงจรสร้างสัญญาณควบคุม โดยใช้วงจรสร้างสัญญาณควบคุมที่ใช้หน่วยความจำ EPROM แทนวงจรสร้างสัญญาณควบคุมที่ใช้เกท นอกจากนี้ยังได้ปรับปรุงวงจรวัดอัตราการเต้นของหัวใจและอัตราการหายใจโดยใช้หลักการของเฟสล็อกคัลลูปแทน เครื่องนี้จะถูกติดตั้งไว้ข้างเตียงผู้ป่วยในห้องผู้ป่วยหนัก

ข้อดีของการแสดงผลบนจอภาพแบบ 2 ของสัญญาณแทนการแสดงผลบนจอภาพแบบ 1 ของสัญญาณคือ ทำให้การวิเคราะห์สัญญาณหัวใจของผู้ป่วยมีความถูกต้องมากยิ่งขึ้น โดยสามารถหยุดภาพในช่องสัญญาณที่ 2 ให้นิ่งเพื่อตรวจดูรูปร่างของสัญญาณหัวใจ ในขณะที่ช่องที่ 1 ยังคงแสดงรูปสัญญาณหัวใจของผู้ป่วยที่กำลังเกิดขึ้นในขณะนั้น

2 Channel Bedside ICU Monitor

Mr. Sirichai Saengthongphithak

Miss Siriwan Thanavanitvorachai

Advisor

Prapakorn Suwanha

Academic 1989

Abstract

The two-channel ICU monitor in this project is modified and developed from the previous one-channel ICU monitor. In this project, we have developed the heart wave signal amplifier circuit, the respiration amplifier circuit and the circuit generating control signals. We use EPROM instead of gated circuit. Not only that but also do we modify heart rate unit and respiration rate circuit by using the Phase-Locked Loop concept. This device will be installed bedside the patient's bed in the emergency room.

The two-channel display makes doctors analyse the heart wave signal more accurate by freezing the signal of the second channel in order to focus on the special details. At that time, the first channel is still displaying the present heart wave signal.

สารบัญ

บทที่ 1	บทนำ	1
บทที่ 2	ทฤษฎี	
2.1	ลักษณะของสัญญาณหัวใจ	2
2.2	การวัดการหายใจโดยใช้อิมพีแดนซ์	5
2.3	บล็อกไดอะแกรมของเครื่องมอนิเตอร์	7
2.4	ระบบแสดงผลบนจอภาพ	
2.4.1	Long Persistence CRT	9
2.4.2	Non-Fade	11
2.4.3	TV Monitor	12
2.5	หลักการแสดงสัญญาณภาพบนจอทีวี	12
บทที่ 3	การทำงานของวงจร	
3.1	ภาควงจรลอย	
3.1.1	ส่วนที่ทำหน้าที่ขยายคลื่นในไฟ้าหัวใจ	20
3.1.2	วงจรมีขั้วต่อ	22
3.1.3	วงจรมีขั้วต่อที่มีค่า	23
3.2	ภาคแปลงคลื่นในไฟ้าหัวใจเป็นอัตราการเต้นหัวใจ	
3.2.1	วงจรมีขั้วต่อหลายขั้วต่อ	26
3.2.2	วงจรมีขั้วต่อ GRS	27
3.2.3	ส่วนของวงจรมีขั้วต่อหลายขั้วต่อ	28
3.3	การทำสัญญาณในไฟ้าหัวใจให้มีความถี่สูงขึ้นเพื่อนำไป แสดงผลบนจอภาพ	
3.3.1	วงจรมีขั้วต่อหลายขั้วต่อ	30
3.3.2	วงจรมีขั้วต่อหลายขั้วต่อ	30
3.3.3	วงจรมีขั้วต่อหลายขั้วต่อเป็น	34

ดิจิทัล และวงจรแปลงสัญญาณดิจิทัลเป็นอนาล็อก

	3.3.4	วงจรแบ่งระดับสัญญาณเอาท์พุทและ	39
การหยุดสัญญาณภาพ			

	3.4	วงจรส่วนแสดงผลทางจอภาพ	
	3.4.1	วงจรสร้างสัญญาณวิดีโอ	42
	3.4.2	วงจรสร้างสัญญาณพินเลี้ยง	43
	3.4.3	ส่วนแสดงผลออกทางจอภาพ	
	3.4.3.1	วงจรกำเนิดสัญญาณพัลส์	45
	3.4.3.2	วงจรส่วนสวิตช์ ออน-ออฟ	46

และฟลายแบคทรานเฟอร์มเมอร์

	3.4.3.3	วงจรขยายสัญญาณภาพ	46
(Video Amplifier)			

	3.4.3.4	วงจรขยายกำลัง	48
--	---------	---------------	----

3.5	มิเตอร์วัดอัตราการทำงานของหัวใจ		
3.5.1	วงจรเฟสล็อกคูลและวงจรหาร		53
3.5.2	วงจรนับ		55
3.5.3	วงจรสร้างฐานเวลาควบคุมการนับ		56
3.6	วงจรวัดอัตราการหายใจ		58

3.7	วงจรเตือน		
3.7.1	บล็อกไดอะแกรมของวงจรเตือน		60
3.7.2	วงจรเตือน (Alarm Unit)		
	3.7.2.1	Decimal To BCD	62

Encoder

	3.7.2.2	Alarm Comparator	62
	3.7.2.3	Alarm Oscillator	68

บทที่ 4	การทดลองและผลการทดลอง	71
บทที่ 5	บทสรุป	74

บทที่ 1 บทนำ

เครื่องวัดสัญญาณหัวใจแบบ 2 ช่องสัญญาณได้ถูกสร้างขึ้นเพื่อตอบสนองต่อความต้องการของแพทย์ พยาบาล และเจ้าหน้าที่ประจำห้องไอ ซี ยู และเพื่อความสะดวกต่อการปฏิบัติงาน โดยเครื่องนี้จะ เป็นอุปกรณ์ที่ทำหน้าที่ช่วยในการวินิจฉัยอาการของโรคให้แก่แพทย์ อีกทั้งยังบอกให้ทราบถึงการทำงานของหัวใจและการหายใจของผู้ป่วย เนื่องจากเครื่องวัดสัญญาณหัวใจนี้ยังมีราคาแพงและยังต้องนำเข้าจากต่างประเทศ เพื่อที่จะลดการนำเข้า จึงเป็นสาเหตุสำคัญในการศึกษา และพัฒนาอุปกรณ์ทางอิเล็กทรอนิกส์ ที่มีจำหน่ายในประเทศให้มีประสิทธิภาพดีใกล้เคียงกับของต่างประเทศ

ในการทำการออกแบบระบบและการสร้างวงจรนั้น วิศวกรรวบรวมข้อมูลเพื่อกำหนดคุณสมบัติของเครื่องที่ออกแบบ เป็นการศึกษาถึงการให้กำเนิดสัญญาณไฟฟ้าจากเซลล์หัวใจ ในแต่ละช่วงการทำงานของหัวใจ การวัดสัญญาณจากผิวหนังของร่างกาย และวิธีการวัดการหายใจด้วยการวัดอิมพีแดนซ์ รวมทั้งหลักการเบื้องต้นในการแสดงภาพของคลื่นสัญญาณไฟฟ้าหัวใจบนจอภาพที่ใช้ในโครงการนี้

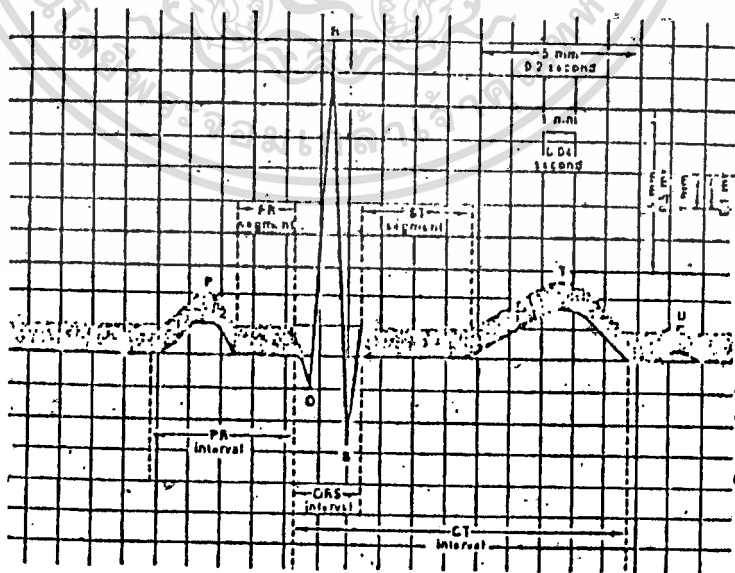
2.1 ลักษณะของสัญญาณหัวใจ

จากที่ได้ทราบกันมาแล้วว่าในเซลล์ของสิ่งมีชีวิตในขณะที่มีชีวิตอยู่จะมีไฟฟ้าภายในเซลล์ เมื่อเปรียบเทียบกับภายนอกจะมีค่าเป็นลบหลายสิบลิมิลลิโวลต์ ซึ่งในขณะนี้เรียกว่า เซลล์อยู่ในสภาวะโพลาไรซ์ ซึ่งศักดาไฟฟ้านี้เรียกว่าศักดาไฟฟ้าอยู่นิ่ง(Resting potential) แต่เมื่อเซลล์ถูกกระตุ้น เช่น การทำให้ออกซิเจนเนื้อเยื่อของหัวใจของเซลล์จะเปลี่ยนไปเป็นบวกหลายสิบลิมิลลิโวลต์ ซึ่งในขณะนี้เรียกว่า เซลล์อยู่ในสภาวะดีโพลาไรซ์ ซึ่งจะได้รับศักดาไฟฟ้าเรียกว่า ศักดาไฟฟ้าทำงาน(Action potential) :

หัวใจเปรียบเสมือนเครื่องกำเนิดไฟฟ้าเครื่องหนึ่ง ซึ่งบรรจุอยู่ในก้อนตัวนำ โดยศักดาไฟฟ้าที่เกิดขึ้นนี้มีการกระจายออกจากที่รวมและวิ่งลปไปตามส่วนต่างๆของร่างกาย เหมือนเป็นอีเลกทริกไดโพล (Electric dipole) และเราสามารถวัดศักดาไฟฟ้าตกรวมระหว่างจุดใดที่อยู่บนผิวหนังของร่างกายได้

สัญญาณไฟฟ้าหัวใจ (Electrocardiogram) เป็นค่าศักดาซึ่งวัดได้จากจุดต่างๆ โดยสัญญาณไฟฟ้าหัวใจของคนปกติ เมื่อวัดโดยการติดอิเล็กโทรด (Electrode) ที่แขนขวา แขนซ้าย และขาขวา ดังวิธีลีด 1 (Lead 1) คลื่นสัญญาณไฟฟ้าหัวใจที่วัดได้จะมีลักษณะดังรูปที่

2.1



รูปที่ 2.1 คลื่นไฟฟ้าหัวใจปกติ วัดด้วย Lead 1

แต่ละส่วนของคลื่นสัญญาณไฟฟ้าหัวใจจะถูกกำหนดด้วยตัวอักษร โดยที่แต่ละส่วน จะสัมพันธ์กับการทำงานของหัวใจในช่วงต่างๆของหัวใจใน 1 รอบการทำงานดังนี้

สัญญาณคลื่น P : เกิดจากการดีโพลาไรเซชัน (Depolarization) ของหัวใจห้องบน ทำให้หัวใจห้องบนบีบตัว

สัญญาณคลื่น QRS : เกิดจากการดีโพลาไรเซชันของหัวใจห้องล่าง ทำให้หัวใจห้องล่างบีบตัว (ความสูงของคลื่น R ในหัวใจของคนปกติมีค่าประมาณ 1 มิลลิโวลท์)

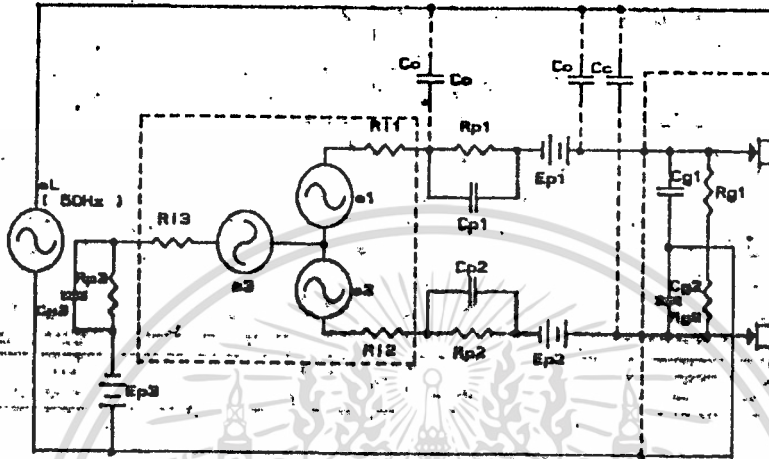
สัญญาณคลื่น T : เกิดจากการรีโพลาไรเซชัน (Repolarization) ของหัวใจห้องล่าง ทำให้หัวใจคลายตัวออก (สำหรับการรีโพลาไรเซชันของหัวใจห้องบนอาจเกิดในขณะที่หัวใจห้องล่างบีบตัว คลื่นที่เกิดขึ้นจึงหายไปใคลื่น QRS)

สัญญาณคลื่น U : ไม่มีการกล่าวถึง

โดยในการวินิจฉัยโรคของแพทย์และพยาบาลนั้น จะวินิจฉัยตรวจดูการทำงานของหัวใจของผู้ป่วยว่ามีสภาพผิดปกติอย่างไร โดยดูจากความผิดปกติแตกต่างของรูปคลื่นสัญญาณหัวใจ ที่แตกต่างไปจากสัญญาณหัวใจของคนปกติ คุณสมบัติของคลื่นสัญญาณหัวใจที่วัดได้

การเปลี่ยนแปลงของศักดาไฟฟ้าอยู่ในช่วง	0.5 - 5 มิลลิโวลท์
ส่วนของความถี่อยู่ในช่วง	0.5 - 200 เฮิรส์

จะเห็นได้ว่าคลื่นสัญญาณหัวใจเป็นลักษณะของสัญญาณไฟฟ้า ในการที่จะนำสัญญาณนี้ออกมาวิเคราะห์จำเป็นต้องพิจารณารูปของสัญญาณไฟฟ้าหัวใจที่เกิดขึ้น ซึ่งจะเขียนในรูปของวงจรไฟฟ้าได้ดังรูปที่ 2.2 e_1 , e_2 , และ e_3 แสดงสัญญาณไฟฟ้าที่เกิดขึ้นในร่างกายมีขนาดประมาณ 0.5 - 5 มิลลิโวลท์ ส่วนความถี่อยู่ในช่วง 0.5 - 200 เฮิรส์ จะเห็นว่าขนาดของสัญญาณน้อยมากไม่พอที่จะให้เห็นบนจอมอนิเตอร์ ซึ่งต้องการขนาดสัญญาณประมาณ 1 โวลท์ จึงจำเป็นต้องมีการขยายสัญญาณไฟฟ้าหัวใจเล็กน้อย รูปที่ 2.2 แสดงวงจรเสมือนในการนำสัญญาณไฟฟ้าหัวใจออกมาเข้าวงจรขยาย ในการออกแบบวงจรขยายนี้จึงต้องนำพารามิเตอร์ที่เกิดขึ้นมาพิจารณาในการสร้างวงจรด้วย e_1 ในรูปที่ 2.2 เป็นสัญญาณไฟฟ้า



- e_{1-2} สัญญาณไฟฟ้าจากร่างกาย เช่น สัญญาณหัวใจ หลาย $\mu V-10mV, 5-200Hz$
- R_1 ค่าความต้านทานภายในร่างกาย หลาย $k-ohms$
- R_p ค่าความต้านทานที่ผิวไฟฟ้าสัมผัสกับร่างกาย หลาย $k-200 k$
- C_p ค่าประจุไฟฟ้าที่ผิวไฟฟ้าสัมผัสกับร่างกาย $0.05-0.5 \mu F$
- E_p ค่าแรงดันโวลตาไรซ์ หลาย mV -หลาย $100mV$
- C_c ค่าประจุไฟฟ้าที่เกิดขึ้น
- e_L แรงดันไฟฟ้าบ้าน $220V, 50Hz$
- R_c ค่าความต้านทานอินพุทของวงจรมาย มากกว่า $2 M$
- C_c ค่าประจุไฟฟ้าอินพุทของวงจรมาย น้อยกว่า $1000 pF$

รูปที่ 2.2 แสดงวงจรเสมือนในการนำสัญญาณไฟฟ้าหัวใจออกมาเข้าวงจรมาย

8514
542

ที่ใช้ตามบ้าน 220 โวลต์/50 เฮิร์ต ซึ่งจะเหนี่ยวนำเข้ามารวมกับสัญญาณไฟฟ้าหัวใจได้ ในการออกแบบวงจรต้องนำมาพิจารณา

ดังนั้นจึงสรุปคุณสมบัติของวงจรมายกเลิกทรานซิสเตอร์ที่ใช้ได้ดังนี้

1. ความต้านทานอินพุตมีค่าสูงกว่า 2 M-Ohms.
2. กระแสไฟฟ้ารั่วไหลที่อินพุตมีค่าน้อยกว่า 1 - 10 uA
3. สัญญาณรบกวนต่ำกว่า 10 uV (peak to peak)
4. ค่า CMRR มีค่าสูงกว่า 80 dB

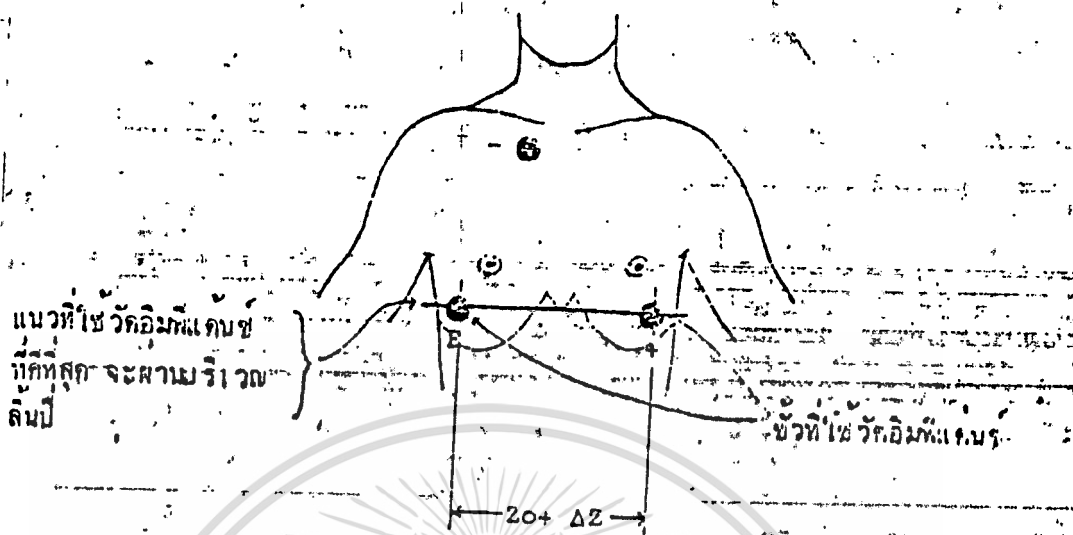
2.2 การวัดการหายใจโดยวิธีอิมพีแดนซ์

การวัดการหายใจของผู้ป่วยมีวิธีการวัดหลายวิธี เช่น โดยใช้เทอมิสเตอร์วัดความร้อนจากลมหายใจ โดยใช้ตัวความต้านทานเป็นต้น ในที่นี้จะพิจารณาวิธีวัดโดยวิธีอิมพีแดนซ์ ข้อดีคือ จะใช้ขั้วไฟฟ้าชั่วคราวเทียบกับการวัดสัญญาณไฟฟ้าหัวใจ ซึ่งหลักการจะมีดังนี้

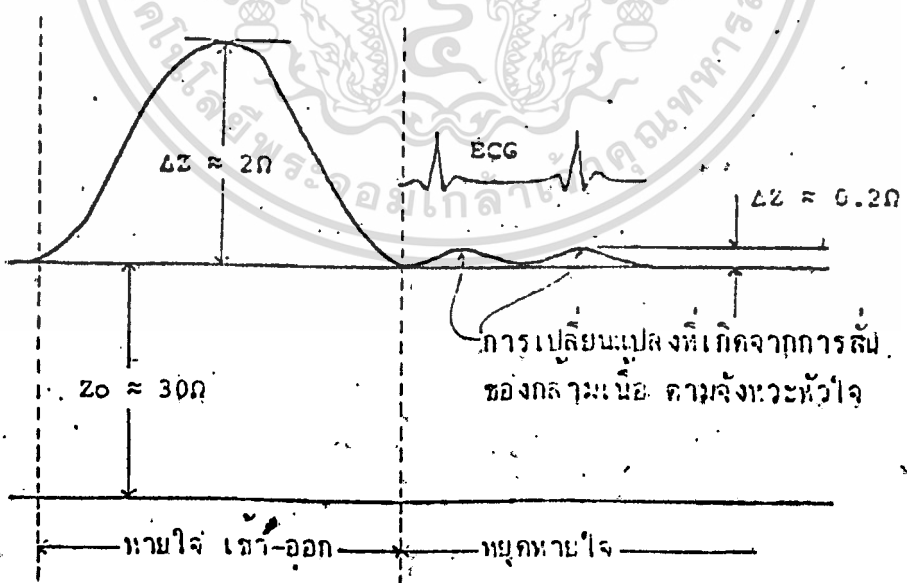
ในขณะที่หายใจเข้าอากาศจะเข้าไปในปอดและปอดขยายตัวออก ทำให้ผนังกล้ามเนื้อบริเวณทรวงอกบางลงและอิมพีแดนซ์ของกล้ามเนื้อสูงขึ้น เมื่อหายใจออก ปอดจะหดตัวลงเล็กน้อย ทำให้กล้ามเนื้อบริเวณทรวงอกหนาขึ้นและอิมพีแดนซ์จะลดลง หลังจากหายใจออกแล้วจะมีการหยุดหายใจอยู่ช่วงหนึ่งในช่วงนี้ปอดจะไม่มี การเปลี่ยนแปลงปริมาตร แต่เนื่องจากการเต้นของหัวใจ ทำให้ผนังกล้ามเนื้อบริเวณทรวงอกมีการเคลื่อนไหวตามจังหวะการเต้นของหัวใจ ทำให้ค่าอิมพีแดนซ์มีการเปลี่ยนแปลงขึ้นเล็กน้อย

ในการวัดอิมพีแดนซ์ของกล้ามเนื้อบริเวณทรวงอก บริเวณที่มีการเปลี่ยนแปลงอิมพีแดนซ์มากที่สุดคือ บริเวณแนวเส้นตรงที่พาดผ่านลำตัวบริเวณใต้ราวนม ดังแสดงในรูปที่ 2.3 ปรากฏว่า ได้ความสัมพันธ์ของการเปลี่ยนแปลงอิมพีแดนซ์ในช่วงต่างๆของการหายใจ ดังแสดงได้ดังรูปที่ 2.4 จะเห็นว่าค่าอิมพีแดนซ์ของกล้ามเนื้อ ถ้าไม่มีการเคลื่อนไหว จะมีค่าประมาณ 30 โอห์ม การหายใจเข้าออกทำให้ค่าอิมพีแดนซ์เปลี่ยนแปลงประมาณ 2 โอห์ม และการเปลี่ยนแปลงเนื่องจากกล้ามเนื้อสันตามจังหวะการเต้นของหัวใจมีค่าประมาณ 0.2 โอห์ม ซึ่งมีค่าน้อยมากเมื่อเทียบกับการเปลี่ยนแปลงเนื่องจากการหายใจเข้าออก การเปลี่ยนแปลงค่าอิมพีแดนซ์มีความสัมพันธ์กับการหายใจ จึงสามารถทำการวัดการหายใจโดยวิธีทางอ้อมได้

โดยปกติการวัดค่าอิมพีแดนซ์ จะต้องมีการเปลี่ยนกระแสให้ไหลผ่านตัวอิมพีแดนซ์



รูปที่ 2.3 แสดงตำแหน่งที่วัดอิมพีแดนซ์บริเวณทรวงอก



รูปที่ 2.4 แสดงความสัมพันธ์ของค่าอิมพีแดนซ์ในช่วงต่าง ๆ ของการหายใจ

เอกสารนี้เป็นเอกสารที่สงวนไว้สำหรับการใช้งานเพื่อการศึกษาเท่านั้น ไม่อนุญาตให้นำไปใช้ประโยชน์ด้านการค้า
ไม่ว่ากรณีใดๆทั้งสิ้น อีกทั้งห้ามมิให้ตัดแปลงเนื้อหา และต้องอ้างอิงถึงเจ้าของเอกสารทุกครั้งที่มีการนำไปใช้

ที่ต้องการวัด ซึ่งอาจจะเป็นกระแสตรงหรือกระแสสลับก็ได้แล้วแต่ความเหมาะสม แต่ในการวัดอิมพีแดนซ์ของกล้ามเนื้อบริเวณทรวงอกซึ่งอยู่ใกล้กับหัวใจ ถ้าใช้ไฟฟ้าสลับความถี่ต่ำ อาจมีผลทำให้ผู้ป่วยเกิดอาการช็อคได้ จึงต้องใช้กระแสสลับที่มีความถี่สูงกว่า 20 กิโลเฮิร์ต และกำหนดให้กระแสไหลผ่านไม่เกิน 0.3 มิลลิแอมแปร์ ซึ่งโดยปกติ ค่าความถี่ที่ใช้กันมากอยู่ในช่วง 50 - 100 กิโลเฮิร์ต

การวัดการหายใจโดยวิธีอิมพีแดนซ์นี้ สามารถใช้อิเล็กทรอนิกส์ตรงกับการวัดคลื่นสัญญาณไฟฟ้าหัวใจได้ โดยการป้อนไฟฟ้ากระแสสลับความถี่สูงทางอิเล็กโตรดคู่ที่อยู่ในแนวตัดขวางของลำตัว คือ ขั้ว E กับขั้ว + ดังแสดงได้ดังรูปที่ 2.5 คลื่นความถี่สูงของการวัดอิมพีแดนซ์จะปนกับคลื่นไฟฟ้าหัวใจซึ่งมีความถี่ต่ำป้อนเข้าสู่วงจรแอมป์เฟอ์ แล้วถูกแยกออกจากกันโดยวงจรกรองความถี่ ดังแสดงได้ในรูปที่ 2.6

ถ้ากำหนดให้อิมพีแดนซ์ที่อยู่ระหว่างขั้วอิเล็กโตรดคู่ต่างๆ มีค่า Z_0 , Z_1 และ Z_2 เมื่อพิจารณาจากตำแหน่งของอิเล็กโตรดบนทรวงอก จะเห็นว่าค่า Z_1 และ Z_2 มีค่าใกล้เคียงกัน และผลต่อการวัดการหายใจน้อยเมื่อเทียบกับค่า Z_0 ดังนั้นในการพิจารณาจึงคิดเฉพาะการเปลี่ยนแปลงของ Z_0

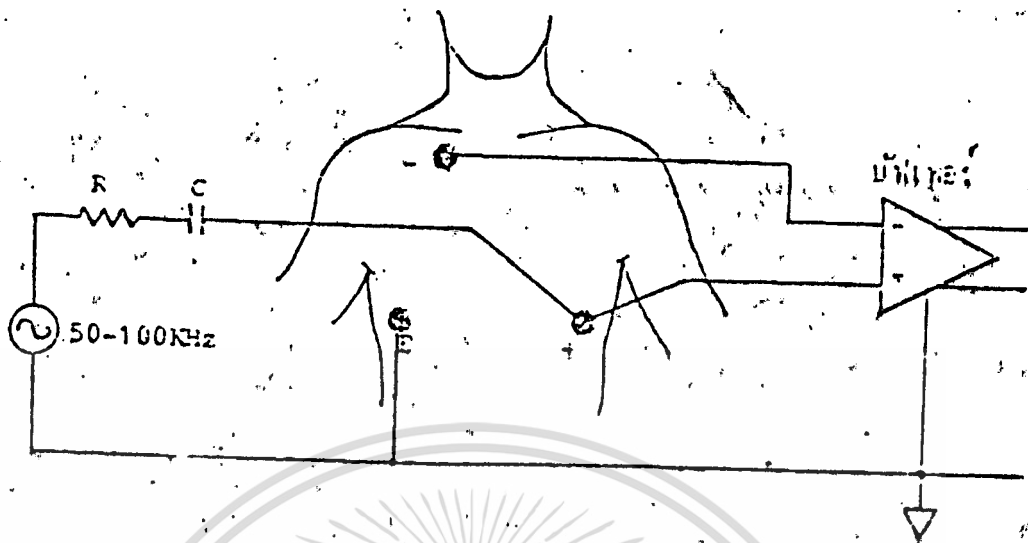
ความต้านทาน R ตัวเก็บประจุ C และอิมพีแดนซ์ของกล้ามเนื้อ Z_0 ต่อกันในลักษณะของวงจรแบ่งศักดาไฟฟ้า แต่เนื่องจาก Z_0 มีการเปลี่ยนแปลงอยู่ในช่วง $Z_0 + Z$ และ $Z_0 - Z$ จึงทำให้ศักดาไฟฟ้าที่ออกจากวงจรแบ่งศักดาไฟฟ้ามักเปลี่ยนแปลงตามไปด้วย และมีลักษณะเหมือนการมอดดูเลทแบบ เอ.เอ็ม (Amplitude Modulation) สัญญาณความถี่ต่ำของการหายใจ จึงสามารถแยกออกจากสัญญาณความถี่สูงได้ โดยการใช้วงจรกรองความถี่ต่ำผ่าน (Lowpass filter) โดยให้ความถี่ของการหายใจซึ่งอยู่ในช่วง 0.1 ถึง 2 เฮิร์ตผ่านไปได้

2.3 บล็อกไดอะแกรมของเครื่องมอนิเตอร์

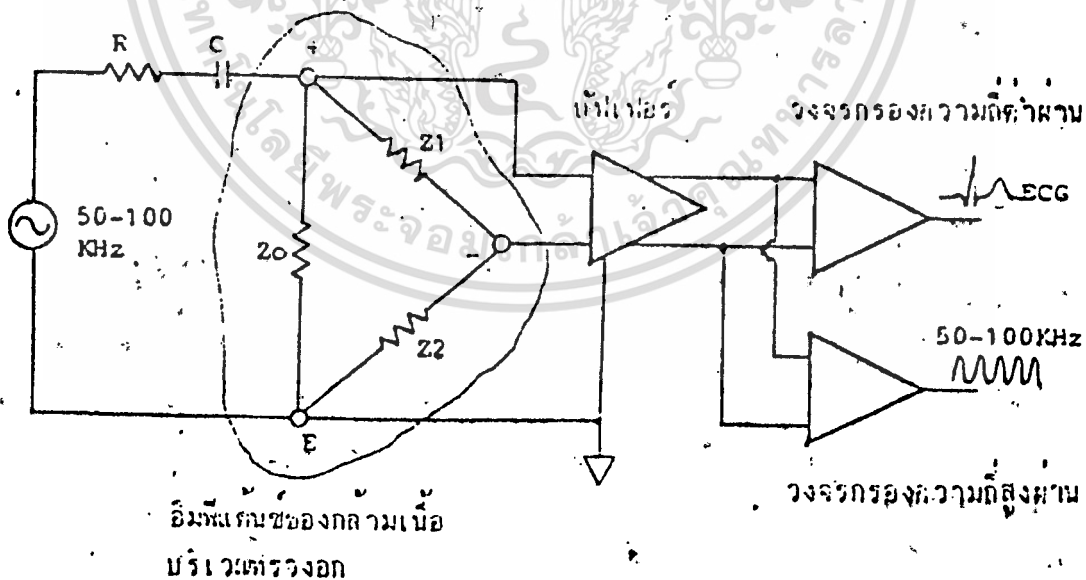
เครื่องมอนิเตอร์ที่สร้างขึ้น ประกอบด้วยวงจรภาคต่างๆดังต่อไปนี้

1. วงจรลอย (Floating circuit)

ในภาคนี้สามารถแยกวงจรตามหน้าที่การทำงานออกได้เป็น 2 แบบ คือ ส่วนที่ใช้ขยายคลื่นไฟฟ้าหัวใจ (ECG) และส่วนที่ใช้วัดการหายใจ (Respiration) โดยวิธีอิมพี



รูปที่ 2.5 แสดงการใช้อิเล็กทรอนิกส์ร่วมกัน ของการวัดคลื่นสัญญาณไฟฟ้าหัวใจกับการวัดการหายใจ



รูปที่ 2.6 แสดงการแยกคลื่นไฟฟ้าหัวใจ ออกจากคลื่นความถี่สูงของการวัดการหายใจ

เอกสารนี้เป็นเอกสารที่สงวนไว้สำหรับการใช้งานเพื่อการศึกษาเท่านั้น ไม่อนุญาตให้นำไปใช้ประโยชน์ด้านการค้า ไม่ว่ากรณีใดๆทั้งสิ้น อีกทั้งห้ามมิให้ตัดแปลงเนื้อหา และต้องอ้างอิงถึงเจ้าของเอกสารทุกครั้งที่มีการนำไปใช้



แดนซ์ ดังแสดงไว้ในรูปที่ 2.7 สัญญาณเอาต์พุทของวงจรมีในภาคนี้ ได้แก่ คลื่นไฟฟ้าหัวใจและ คลื่นการหายใจ

เพื่อป้องกันคนไข้จากอันตรายที่อาจเกิดจากกระแสไฟฟ้ารั่ว (Leakage current) จึงใช้วิธีส่งสัญญาณเอาต์พุทที่ได้จากวงจรขยายส่วนแรกไปยังวงจรต่างๆที่อยู่ภาค หลัง โดยการส่งผ่านทางแสงด้วยอุปกรณ์ Opto-couple ทำให้วงจรขยายส่วนแรกและวงจร ส่วนหลังแยกอิสระกันทางวงจร

2. วงจรขยายส่วนหลัง

วงจรมีกับวงจรขยายส่วนหน้าแยกอิสระกันทางวงจร จะทำหน้าที่ขยายคลื่น ไฟฟ้าหัวใจและคลื่นการหายใจให้มีค่าสูงขึ้น และพอเหมาะที่จะส่งต่อไปยังวงจรแสดงภาพบน จอมอนิเตอร์ต่อไป

นอกจากนี้ยังทำหน้าที่นำสัญญาณคลื่นไฟฟ้าหัวใจและสัญญาณการหายใจ ไป หนดค่าอัตราการเต้นของหัวใจและอัตราการหายใจ โดยใช้หลักการของเฟสล็อกคูลูปที่จะ กล่าวต่อไป รูปบล็อกไดอะแกรมวงจรขยายส่วนหลังแสดงได้ดังรูปที่ 2.8

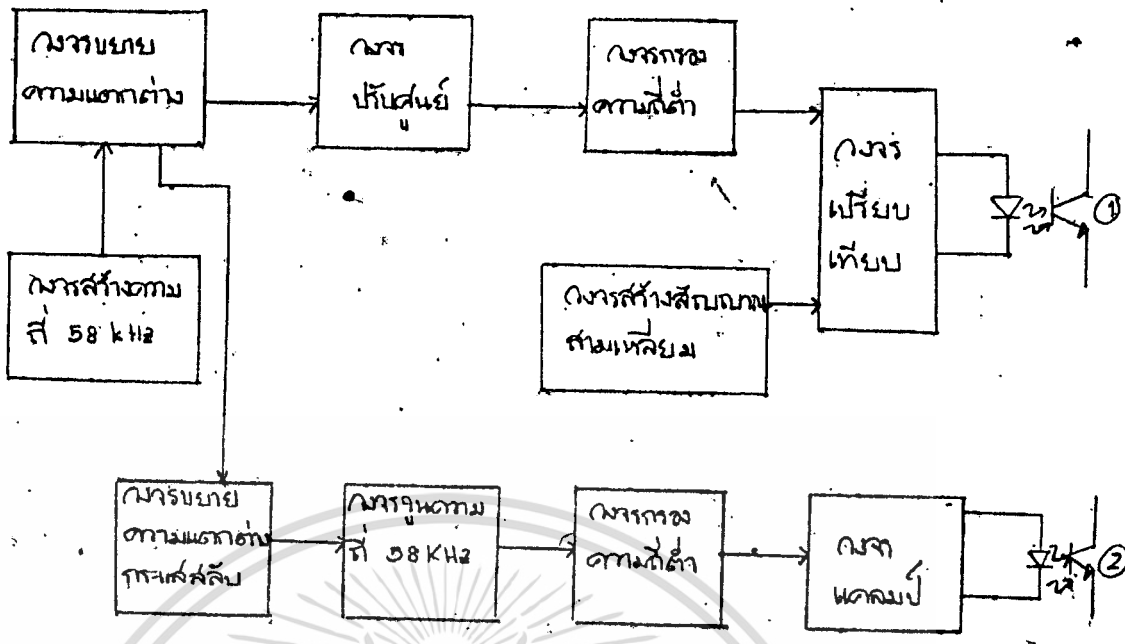
2.4 ระบบแสดงผลบนจอภาพ (CRT Display)

ระบบแสดงผลบนจอภาพมี 3 แบบ

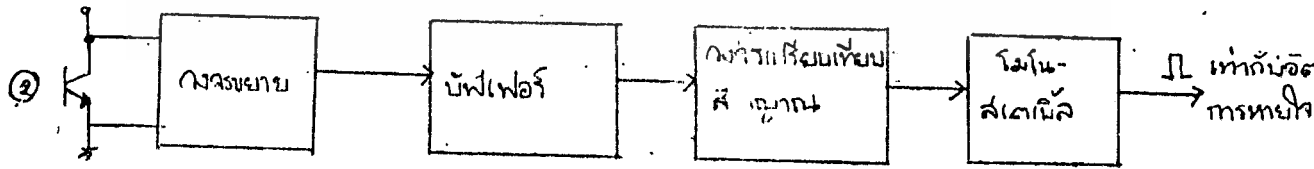
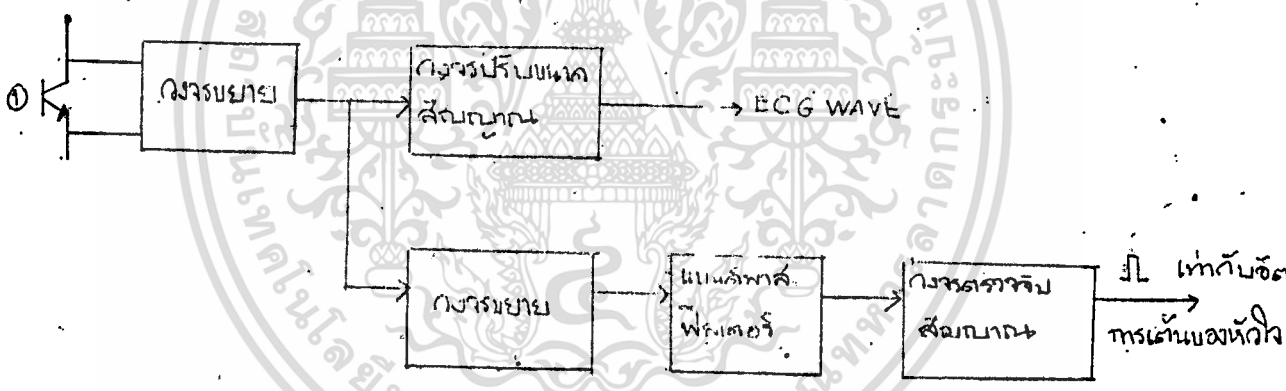
1. Long Persistence CRT
2. Non-Fade
3. TV Monitor

2.4.1 Long Persistence CRT

หลักการของแบบนี้คือ การป้อนสัญญาณอินพุทเข้า Y-Axis Deflection Yoke โดยตรง ขณะที่ X-Axis Deflection Yoke จะถูกป้อนด้วยสัญญาณฟันเลื่อย [Saw-Tooth] ที่มีคาบเวลาหลายวินาที ดังแสดงในรูปที่ 2.9 เนื่องจากคาบเวลาของสัญญาณ ฟันเลื่อยยาว จึงทำให้เห็นสัญญาณอินพุทที่ปรากฏบนจอ CRT เป็นจุดกวาดจากซ้ายไปขวา การที่ จะทำให้เห็นสัญญาณค้างอยู่ชั่วขณะ โดยการใช้อุปกรณ์ที่นามด้วย Long Persistence Phosphor

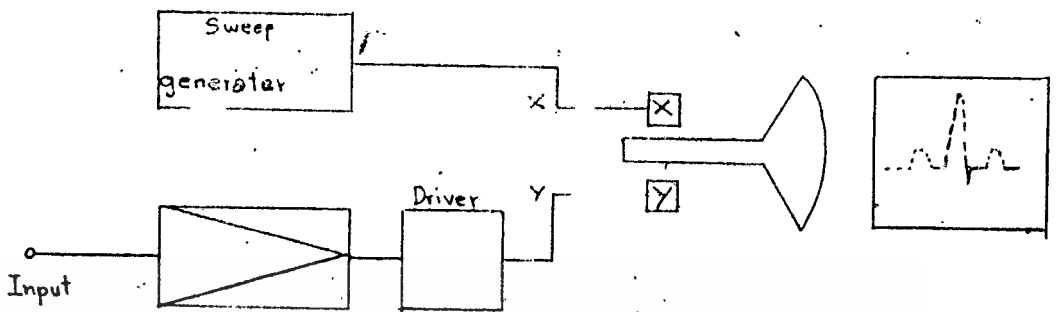


รูป 8.7 วงจรขยายส่วนหน้า



รูป 8.8 วงจรขยายส่วนหลัง

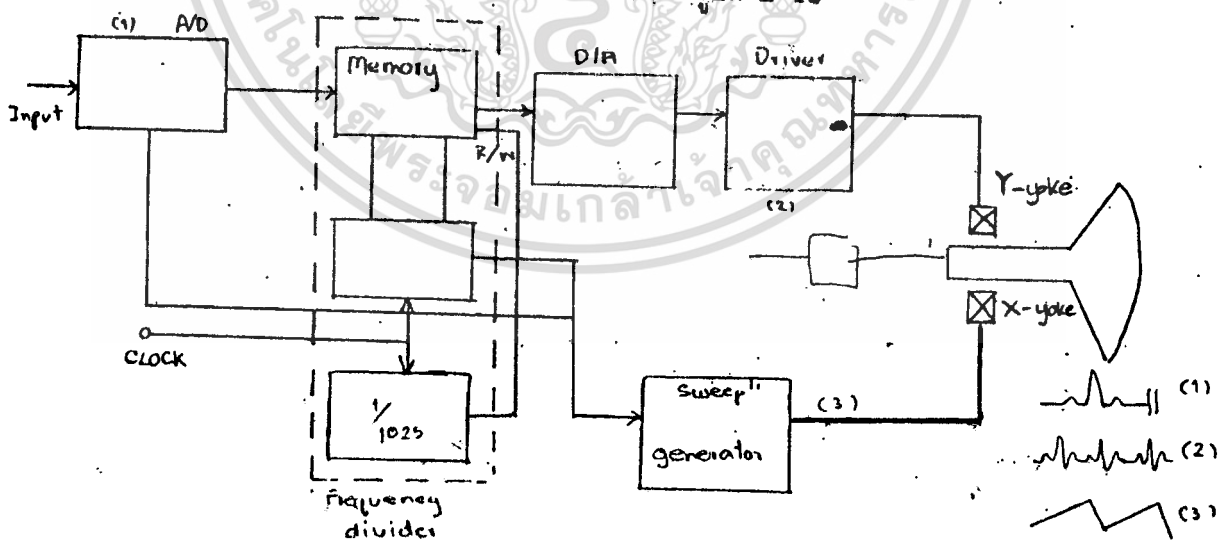
เอกสารนี้เป็นเอกสารที่สงวนไว้สำหรับการใช้งานเพื่อการศึกษาเท่านั้น ไม่อนุญาตให้นำไปใช้ประโยชน์ด้านการค้า
ไม่ว่ากรณีใดๆทั้งสิ้น อีกทั้งห้ามมิให้ดัดแปลงเนื้อหา และต้องอ้างอิงถึงเจ้าของเอกสารทุกครั้งที่มีการนำไปใช้



รูปที่ 2.9 Long Persistence CRT Display

2.4.2 Non-Fade

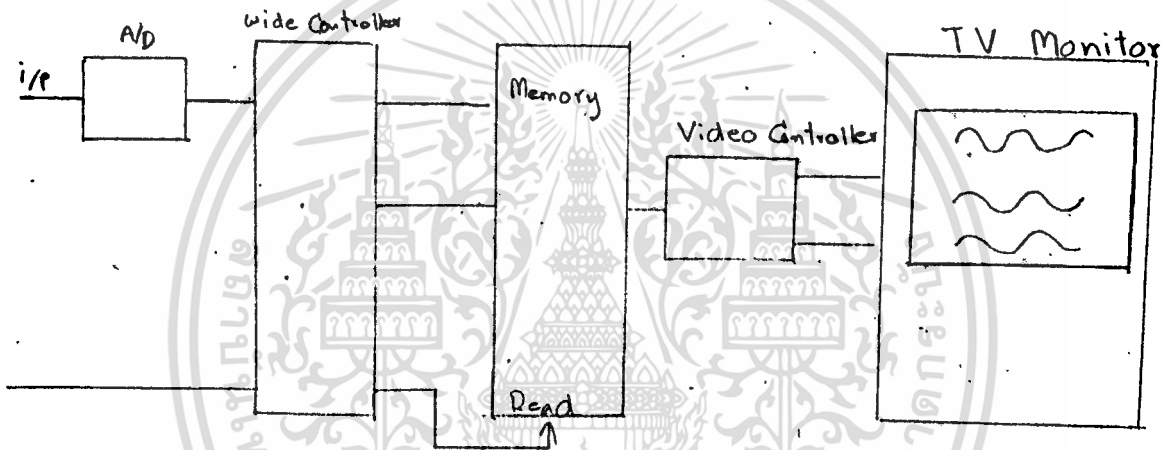
การแสดงผลแบบ Non-Fade นี้ เป็นการแก้ปัญหการจางหายของสัญญาณ ด้วยการนำ Memory มาเก็บสัญญาณอินพุต โดยผ่านวงจร A/D จากนั้นจึงจะนำข้อมูลออกจาก Memory มาผ่านวงจร D/A และป้อนเข้า Y-Yoke คาบเวลาการกวาดของสัญญาณพื้นเลื่อยที่ป้อนเข้า X-Yoke จะสั้นกว่าแบบแรกมาก ดังแสดงในรูปที่ 2.10



รูปที่ 2.9 Long Persistence CRT Display

2.4.3 TV Monitor

เป็นการแสดงผลโดยการใส่ Memory เก็บสัญญาณอินพุตที่ผ่านวงจร A/D และจะนำข้อมูลออกมาผ่านวงจร D/A และแปลงเป็นสัญญาณ Video ซึ่งการทำงานจะต้องสัมพันธ์กับสัญญาณการสแกนทั้งแนวตั้งและแนวนอน ดังแสดงในรูปที่ 4.3 แบบนี้สามารถที่จะแสดงตัวหนังสือ ตัวเลข หรือกราฟ พร้อมกับคลื่นสัญญาณบนจอภาพได้ ข้อจำกัดของความละเอียดทางแนวตั้ง หรือความสูงของคลื่นสัญญาณจะขึ้นอยู่กับจำนวนเส้นสแกนของ TV



รูปที่ 2.11 TV Monitor

2.5 หลักการแสดงผลสัญญาณภาพบนจอทีวี

จากหัวข้อที่ 2.4 เรื่องระบบแสดงผลบนจอภาพ ก็สามารถกำหนดระบบการแสดงผลรูปสัญญาณคลื่นไฟฟ้าหัวใจได้โดยใช้ระบบ Non-Fade ซึ่งจะได้กล่าวรายละเอียดในรายงานฉบับนี้ดังต่อไปนี้

อุปกรณ์เครื่องมือที่ใช้ในการดูรูปสัญญาณไฟฟ้าโดยปกติแล้วจะใช้ออสซิลโลสโคป ในกรณีที่สัญญาณที่ต้องการดูมีความถี่ต่ำๆ เช่น ประมาณ 1 Hz เราจะเห็นรูปสัญญาณเป็นเพียงจุดเดียวเคลื่อนที่อยู่บนจอภาพ ทำให้ไม่สามารถที่จะทำการวิเคราะห์สัญญาณได้ ซึ่งจากที่ได้

เอกสารนี้เป็นเอกสารที่สงวนไว้สำหรับการใช้งานเพื่อการศึกษาเท่านั้น ไม่อนุญาตให้นำไปใช้ประโยชน์ด้านการค้า ไม่ว่าจะกรณีใดๆทั้งสิ้น อีกทั้งห้ามมิให้คัดแปลงเนื้อหา และต้องอ้างอิงถึงเจ้าของเอกสารทุกครั้งที่มีการนำไปใช้

กล่าวมาแล้วว่ารูปสัญญาณไฟฟ้าหัวใจมีความถี่ประมาณ 1 Hz ดังนั้นเพื่อที่จะนำรูปสัญญาณไฟฟ้าหัวใจมาแสดงบนจอภาพให้เห็นรูปสัญญาณไฟฟ้าหัวใจในทุกส่วนของสัญญาณ ซึ่งจำเป็นจะต้องออกแบบวงจรอิเล็กทรอนิกส์เข้ามาเข้ามาร่วม ซึ่งมีเงื่อนไขสำคัญดังนี้

1. จะต้องสามารถแสดงให้เห็นเป็นรูปคลื่นสัญญาณที่ต่อเนื่องได้บนจอภาพ โดยไม่เกิดการกระพริบ.

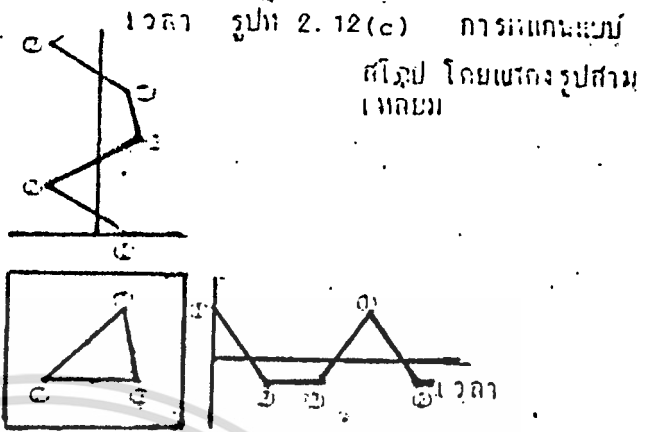
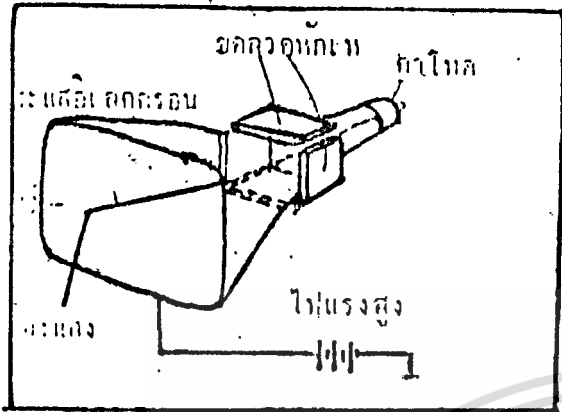
2. สามารถที่จะให้คลื่นสัญญาณเคลื่อนที่หรือหยุดนิ่งได้ เพื่อความจำเป็นในการวิเคราะห์สัญญาณบางส่วน

3. รูปสัญญาณไฟฟ้าหัวใจที่ปรากฏบนจอจะต้องแสดงให้เห็นรูปสัญญาณครบหนึ่งลูก หรือมากกว่าหนึ่งลูกขึ้นไป เพื่อที่จะสามารถทำการเปรียบเทียบลักษณะของรูปคลื่นสัญญาณที่ผ่านไปแล้วกับที่กำลังเกิดอยู่ ทำให้สามารถวิเคราะห์การเปลี่ยนแปลงของสัญญาณได้ อีกทั้งยังช่วยทำให้ภาพที่ปรากฏบนจอภาพแลดูสวยงาม

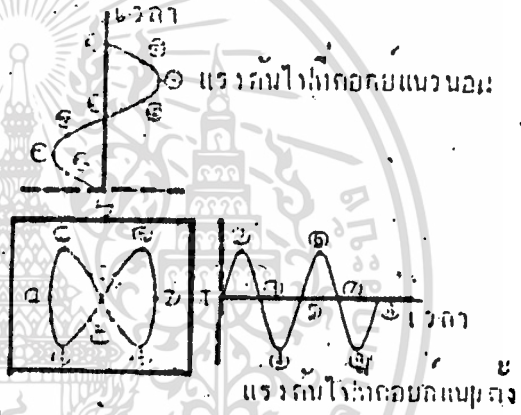
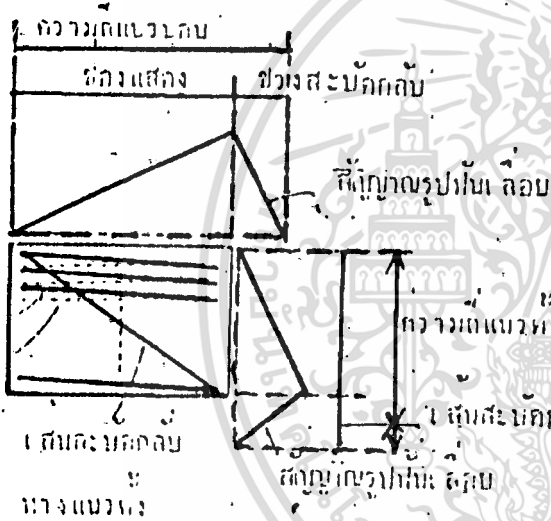
การแสดงผลรูปสัญญาณไฟฟ้าหัวใจบนจอภาพจะใช้จอภาพของทีวี ซึ่งจะมีการออกแบบให้มีการทำงานในลักษณะการทำงานของเครื่องออสซิลโลสโคป. ก็จะใช้สัญญาณที่สร้างขึ้นไปขับขดลวดหักเห และทำให้มีการเหนี่ยวนำให้เกิดสนามแม่เหล็กขึ้น ทำให้เกิดแรงไปหักเหลำอิเล็กตรอนให้เคลื่อนที่ในทิศทางต่างๆได้ตามต้องการ

การสแกนจะทำการสแกนทางแนวนอน และการสแกนทางแนวตั้ง ซึ่งการสแกนทางแนวนอนนั้นจะสร้างสัญญาณไฟฟ้ารูปฟันเลื่อยไปขับขดลวดหักเห ส่วนการสแกนทางแนวตั้ง ก็จะใช้รูปสัญญาณไฟฟ้าหัวใจ ที่ผ่านมาจากวงจรอิเล็กทรอนิกส์ต่างๆ ที่ได้กล่าวต่อไป ไปขับขดลวดหักเหแนวตั้งทำให้ลำอิเล็กตรอนเคลื่อนที่ เกิดเป็นภาพบนจอภาพทีวีได้ตามที่ต้องการ ดังแสดงในรูปที่ 2. 12

รูปที่ 2.12 (a) หลักการของ CRT



รูปที่ 2.12 (b) การสแกนของหัว



รูปที่ 2.12 (d) การสแกนแบบสโตน

รูปที่ 2.12 แสดงการแสดงรูปสัญญาณไฟฟ้าบนจอ CRT

ตามเงื่อนไขข้อที่ 1 ที่จะต้องทำให้ภาพไม่เกิดการกระพริบนี้ จำเป็นจะต้องทำให้การสแกนทางแนวนอนมีอัตราเร็วในการสแกนที่เหมาะสมค่าหนึ่ง นั่นก็คือ ความถี่ของสัญญาณพื้นเสถียรจะต้องมีค่าที่เหมาะสมค่าหนึ่ง นอกจากนี้ก็อาศัยหลักการคงอยู่ของภาพของตาคนเราและจอทีวีเข้าช่วย

เมื่อเราเลือกความถี่ของสัญญาณไฟฟ้าหัวใจ ซึ่งถ้าให้ความถี่ของสัญญาณไฟฟ้าหัวใจเข้าไปที่ขดลวดสแกนทางแนวตั้งโดยตรง ดังนั้นในการสแกนทางแนวนอนแต่ละครั้งนั้นจะได้สัญญาณไฟฟ้าหัวใจปรากฏบนจอเพียงส่วนเดียวเท่านั้น ไม่เต็มลูกคลื่นหนึ่งลูก หรือถ้าหาก

เอกสารนี้เป็นเอกสารที่สงวนไว้สำหรับการใช้งานเพื่อการศึกษาเท่านั้น ไม่อนุญาตให้นำไปใช้ประโยชน์ด้านการค้าไม่ว่ากรณีใดๆทั้งสิ้น อีกทั้งห้ามมิให้ตัดแปลงเนื้อหา และต้องอ้างอิงถึงเจ้าของเอกสารทุกครั้งที่มีการนำไปใช้

ว่าปรับให้ความถี่แตกต่าง เล็กน้อยและทำให้ภาพที่ได้มีจำนวนลูกของสัญญาณมากขึ้นก็ตาม แต่ว่าภาพที่เห็นนั้นจะเป็นเพียงจุดที่เคลื่อนที่และจางหายไปโดยเร็ว ด้วยเหตุนี้จึงจะต้องทำการปรับความถี่ของการสแกนทางแนวตั้งให้สูงขึ้น

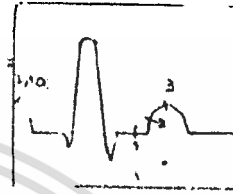
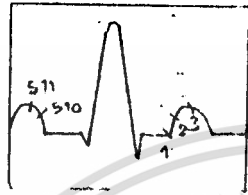
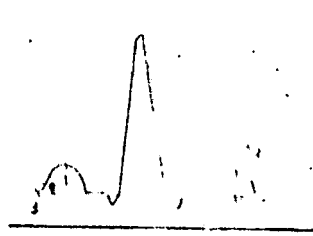
การปรับรูปสัญญาณไฟฟ้าหัวใจให้การสแกนทางแนวตั้งมีความถี่สูงขึ้น ทำได้โดยใช้หลักการในทางดิจิทัล เช่นมาทำการประมวลข้อมูลของสัญญาณอนาลอก โดยทำการแซมปลิงสัญญาณไฟฟ้าหัวใจซึ่งเป็นสัญญาณอนาลอกให้เปลี่ยนมาเป็นข้อมูลทางดิจิทัลในไปเก็บไว้ในหน่วยความจำ โดยข้อมูลที่ได้จากการแซมปลิงในแต่ละครั้งจะถูกเก็บไว้ในแอดเดรสที่อยู่ที่ติดกัน ฉะนั้นเมื่อตอนที่เรารอ่านข้อมูลออกมาจากหน่วยความจำ ถ้าเราสามารถที่แอดเดรสได้เร็วเพียงใด ก็จะทำให้ได้รูปคลื่นไฟฟ้าหัวใจ และเมื่อนำไปผ่านวงจร เปลี่ยนสัญญาณดิจิทัลเป็นอนาลอก CD/A แล้ว ก็สามารถได้รับรูปสัญญาณไฟฟ้าหัวใจที่มีความถี่สูงตามต้องการได้ ในการออกแบบการทำงานเช่นนี้ สิ่งที่เราต้องการทำก็คือ เลือกความถี่ที่ใช้ในการแซมปลิงและความถี่สัญญาณนาฬิกาที่จะถูกนำไปสร้างสัญญาณแอดเดรส ให้มีค่าที่เหมาะสมในการนำไปใช้งาน พิจารณาการแสดงรูปสัญญาณหัวใจในหัวข้อที่ 2 ซึ่งจะทำอย่างไรให้สัญญาณที่ถูกเก็บอยู่ในหน่วยความจำ สามารถแสดงออกมาทางจอภาพทีวีให้เป็นภาพที่เคลื่อนที่ได้ ซึ่งสามารถทำได้โดยอาศัยเทคนิคของการอ่านแอดเดรสและการอ่านและเขียน [Read/Write] ข้อมูลลงในหน่วยความจำที่มีความจุจำกัด ซึ่งอาศัยหลักการดังนี้

1. การที่จะให้สัญญาณไฟฟ้าหัวใจที่เกิดผ่านไปแล้ว ถูกแสดงบนจอภาพพร้อมกับสัญญาณที่เพิ่งเกิดใหม่ ซึ่งก็หมายถึงว่า ในการสแกนทางแนวนอนที่กำลังดำเนินอยู่นี้จะต้องอ่านเอาข้อมูลของคลื่นสัญญาณเก่าออกมาด้วย

2. การที่จะให้เห็นว่า คลื่นสัญญาณมีการเคลื่อนที่ได้ นั่นคือจะต้องเห็นสัญญาณรูปใหม่ปรากฏออกมาอยู่ตลอดเวลาด้วย แสดงว่าจะต้องมีการเขียน [Write] ข้อมูลของสัญญาณใหม่เข้าไปในหน่วยความจำ และถูกอ่านออกมาร่วมกับข้อมูลอันเก่าในการสแกนแต่ละครั้ง

3. จากข้อ 1 และ 2 รวมกันกับการสแกนทางแนวนอนด้วยความถี่ที่เหมาะสม และการคงอยู่ของภาพบนจอทีวีและช่องตาคน จะทำให้เราได้สัญญาณไฟฟ้าหัวใจปรากฏบนจอที่เคลื่อนที่ได้ และเป็นภาพที่ต่อเนื่องตามต้องการ เพื่อให้เข้าใจเพิ่มขึ้น พิจารณาการทำงาน

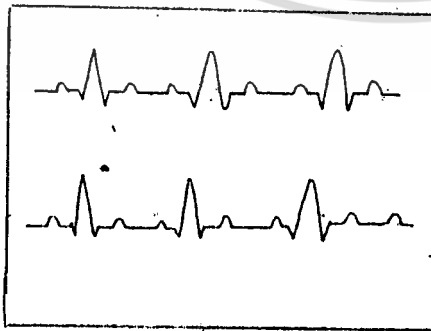
ได้ดังรูปที่ 2.13



รูปที่ 2.13

ข้อกำหนดในการทำงานก็คือ

1. ใช้หน่วยความจำในการจํารูปสัญญาณไฟฟ้าหัวใจทั้งหมด 512 ไบต์
 2. การอ่าน [Read] ของข้อมูลในแต่ละครั้งจะอ่านออกมาทั้งหมด 512 ไบต์ ในขณะที่จะทำการเขียนเข้าไป [Write] เพียง 1 ไบต์ ในแต่ละครั้งเท่านั้น
- สำหรับโครงการนี้ จะพัฒนาโดยการใช้หน่วยความจำ 2 หน่วย มาต่อคาสเคด [Cascade] กัน เพื่อที่จะแสดงรูปสัญญาณไฟฟ้าหัวใจออกมาติดต่อกัน 2 ช่องสัญญาณ โดยแสดงได้ดังรูปที่ 2.14



อ่านข้อมูล (Data) จากหน่วยความจำที่ 1 (Ram1) มาแสดง
 อ่านข้อมูล (Data) จากหน่วยความจำที่ 2 (Ram2) มาแสดง

รูปที่ 2.14

ข้อความต่อไปนี้ จะกล่าวถึงการอ่านและเขียน (Read/ Write) ที่เกิดขึ้นจริง โดยอธิบายเพียงเส้นใดเส้นหนึ่งเท่านั้น (เพราะทั้ง 2 เส้น มีหลักการสแกนเดียวกัน) ส่วนเหตุผลที่จะต้องมีการแสดงสัญญาณไฟฟ้าหัวใจถึง 2 เส้น จะได้กล่าวถึงในภายหลัง

รูปที่ 2.13(ก) เป็นรูปคลื่นสัญญาณไฟฟ้าหัวใจที่เกิดขึ้นจริง ซึ่งเทียบกันในแกนของเวลา

รูปที่ 2.13(ข) เป็นรูปคลื่นไฟฟ้าหัวใจที่ได้จากการสแกนข้อมูลทั้งแนวตั้งและแนวนอน ในขณะใดขณะหนึ่ง ซึ่งสมมติว่าการอ่านข้อมูลออกจากหน่วยความจำที่ตำแหน่งแอดเดรสจาก 0 ถึง 511

การที่จะให้สัญญาณเคลื่อนที่ได้ใน การสแกนครั้งถัดไป ภาพที่ปรากฏบนจอจะต้องเป็นดังรูปที่ 2.13(ค) ซึ่งมีลักษณะเป็นไปตามหลักการ 3 ข้อที่กล่าวไปแล้ว คือจะทำการเขียนข้อมูลใหม่ลงในหน่วยความจำตำแหน่งแอดเดรสที่ 0 และอ่านข้อมูลออกมาจากแอดเดรสที่ 1 ถึง 511 และ 0

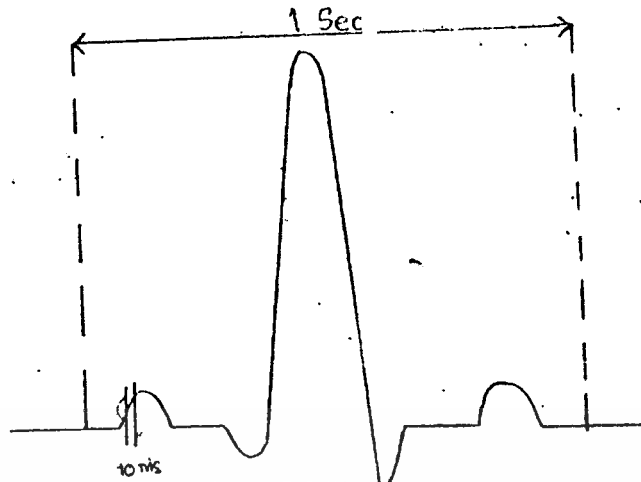
ดังนั้นจะเห็นได้ว่า สัญญาณจะมีการเคลื่อนที่ออกไปจากขวาไปซ้ายอย่างต่อเนื่อง สำหรับการอ่านและเขียน (Read/Write) ข้อมูล แสดงไว้ดังตาราง

เขียน (WR) แอดเดรสที่	อ่าน (RD) แอดเดรสที่
0	1...511,0
1	2...511,0,1
.	.
.	.
511	0...511

สำหรับการอ่านและเขียน (Read/Write) ข้อมูลลงในหน่วยความจำที่ 2 (Ram2) ซึ่งนำมาต่อคาส์เคดกับหน่วยความจำที่ 1 (Ram1) ทำได้โดยการนำเอาข้อมูลตัวแรกของหน่วยความจำที่ 1 (Ram1) ที่จะถูกอ่านในรอบการทำงานต่อไป มาเก็บไว้ที่แอดเดรสแรกในหน่วยความจำที่ 2 (Ram2) ก่อน หลังจากที่ย่านข้อมูลจากหน่วยความจำที่ 1 (Ram1) ครบ 512 ไบท์แล้ว ก็จะมาอ่านข้อมูลจากหน่วยความจำที่ 2 (Ram2) โดยข้อมูลที่เพิ่งถูกเขียนจะถูกอ่านออกมาเป็นค่าสุดท้าย แล้วจึงกลับไปอ่านจากหน่วยความจำที่ 1 (Ram1) สลับกันไป การอ่านและเขียน (Read/Write) ข้อมูลในหน่วยความจำที่ 2 (Ram2) มีลำดับดังต่อไปนี้

เขียน [WR] แอดเดรสที่	อ่าน [RD] แอดเดรสที่
0 (ข้อมูลจากแอดเดรส 1 ของ Ram1)	1...511,0
1 (ข้อมูลจากแอดเดรส 2 ของ Ram1)	2...511,0,1
511 (ข้อมูลจากแอดเดรส 0 ของ Ram1)	0...511

ในการเลือกความถี่ของสัญญาณนาฬิกาที่จะใช้เป็นฐานเวลาให้กับวงจรส่วนดิจิทัลทั้งหมดนั้น รวมถึงส่วนสร้างแอดเดรสให้กับหน่วยความจำด้วย พบว่าถ้าเราใช้สัญญาณนาฬิกาที่มีความถี่ 160 KHz แล้ว นอกจากจะเป็นตัวเลขที่ลงตัว และถ้าหากต้องมีการหารความถี่ซึ่งสามารถหารได้โดยง่ายแล้ว ยังทำให้ได้รับช่วงรีเทรซ (Retrace) ที่ต้องการได้ดังนี้ จากข้างต้นช่วงการอ่านข้อมูลทั้งหมด 512 ไบท์ นั้นจะเป็นเวลาทั้งหมดเท่ากับ $(1/160 \text{ K}) * 512 = 3.2 \text{ ms}$ นั่นก็คือ ช่วงเทรซของสัญญาณฟันเลื่อยมีค่าเท่ากับ 3.2 ms แต่ว่าหนึ่งลูกคลื่นของสัญญาณฟันเลื่อยใช้เวลา 5 ms ดังนั้น ช่วงเวลารีเทรซของสัญญาณจึงเท่ากับ 1.8 ms ซึ่งเป็นค่าที่นำไปใช้ได้ ทำให้ไฟที่ไปเลี้ยงวงจรในส่วนขับเคลื่อนลวดหักเหมีค่าไม่สูงนัก



รูปที่ 2.15

พิจารณาในรูปที่ 2.15 ซึ่งเป็นคลื่นไฟฟ้าหัวใจที่มีอัตราการเต้น 60 ครั้งต่อนาทีหรือ มีความถี่เท่ากับ 1Hz และมีคาบเวลา 1 ลูกสัญญาณเท่ากับ 1 วินาที เมื่อพิจารณาประกอบกันภาพที่ 4.4 ถ้าอัตราการแซมปลิงของสัญญาณเท่ากับ 10 ms ดังนั้นใน 1 ลูกคลื่นเราจะเก็บข้อมูลในหน่วยความจำได้ทั้งหมด $1/10 \text{ ms} = 100$ แอดเดรส และถ้าทั้ง 100 แอดเดรสนี้ ถูกอ่านออกมาด้วยสัญญาณนาฬิกาความถี่ 160 KHz ก็จะใช้เวลาในการอ่านสัญญาณหนึ่งลูกเท่ากับ $100 / (160 \text{ KHz}) = 0.625 \text{ ms}$ หรือคิดเป็นความถี่ได้เท่ากับ 1600 Hz ดังนั้นจะเห็นได้ว่าสัญญาณไฟฟ้าหัวใจที่แสดงออกมาทางจอภาพจะมีความถี่สูงขึ้นถึง 1600 เท่าของสัญญาณที่เกิดขึ้นจริง

บทที่ 3 การทำงานของวงจร

ระบบรับสัญญาณไฟฟ้าหัวใจจากร่างกาย

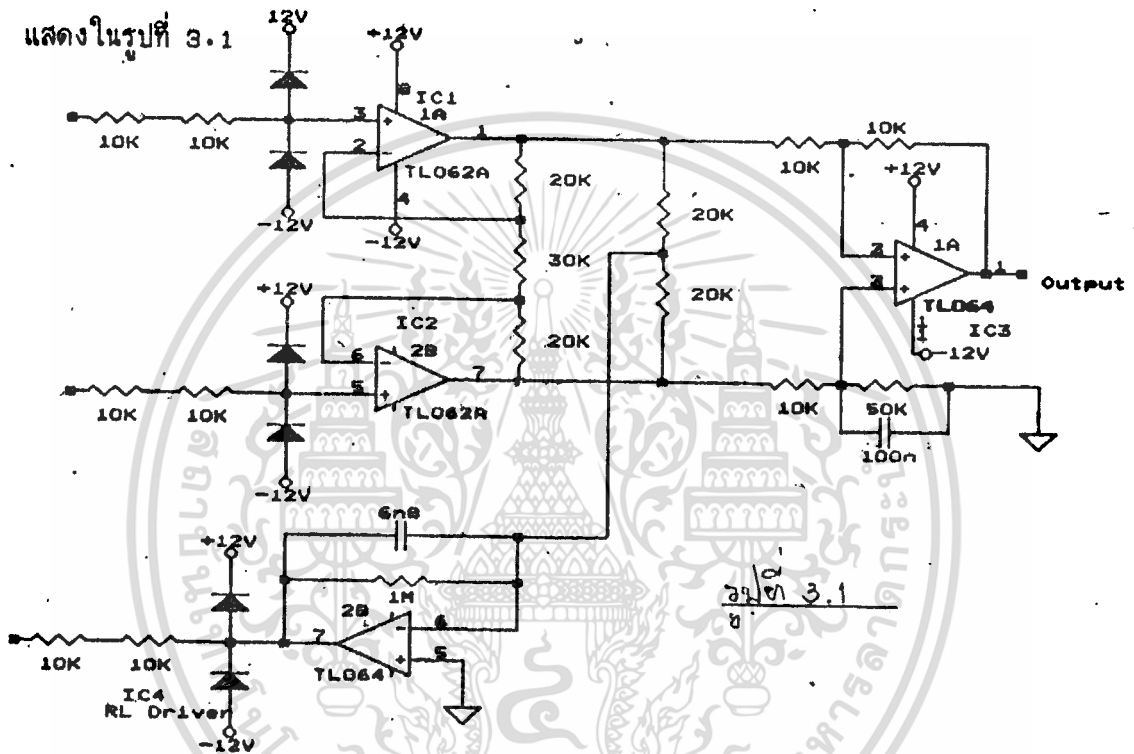
3.1 ภาควงจรลอย [Floating Circuit]

ในภาคนี้ประกอบไปด้วยวงจรต่างดังต่อไปนี้

3.1.1 ส่วนที่ทำหน้าที่ขยายคลื่นไฟฟ้าหัวใจ

วงจรขยายความแตกต่าง [Differential Amplifier] ดัง

แสดงในรูปที่ 3.1



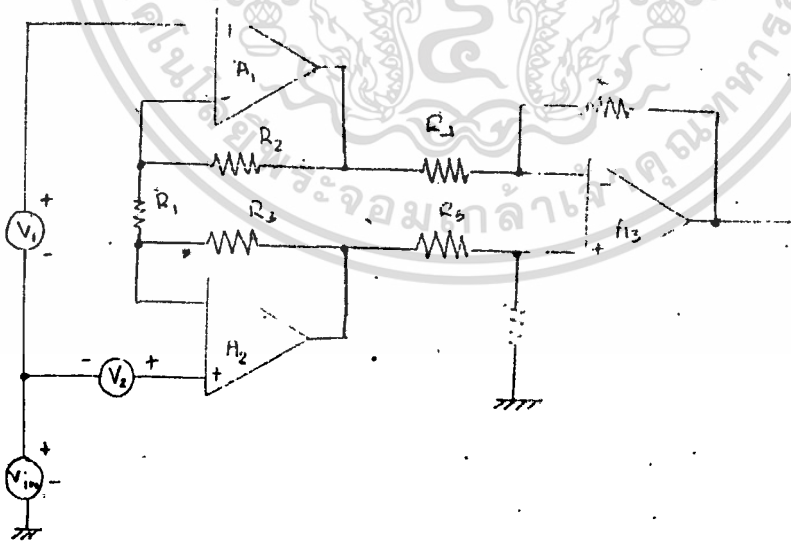
เป็นวงจรแรกที่ขยายคลื่นไฟฟ้าหัวใจที่มีขนาดของสัญญาณน้อยมากเพียงประมาณ 1 มิลลิโวลต์ โดยการรับสัญญาณจากอิเล็กโทรดที่ติดอยู่บนผิวหนัง ซึ่งมีค่าความต้านทานสูง และมีสัญญาณรบกวนจากไฟฟ้าบ้าน กระแสสลับความถี่ 50 เฮิรตซ์ปนมาด้วย ดังนั้น วงจรขยายที่จะนำมาใช้ต้องมีคุณสมบัติดังต่อไปนี้

ก. อินพุตอิมพีแดนซ์สูงมาก เมื่อเทียบกับความต้านทานของผิวหนัง เพื่อป้องกันการเสียนสมดุลย์ของวงจรและการบั่นทอนของสัญญาณที่ป้อนเข้าสู่อินพุต การเสียนสมดุลย์ของวงจรจะมีผลเสียต่อการทำงานของวงจรขยายคือ สัญญาณรบกวนที่เข้ามาในลักษณะสัญญาณคอมมอนโหมด [Common Mode Signal] ไม่สามารถกำจัดออกไปได้ และยังทำให้เกิดคิกตาไฟฟ้าออฟเซต [Offset Voltage] ซึ่งจะถูกขยายให้มีค่ามากขึ้นที่เอาต์พุต ถ้าคิกตาไฟฟ้าออฟเซตที่มีค่ามาก

จะทำให้วงจรขยายอิมพีแดนซ์ มีศักดาไฟฟ้าเอาท์พุทค้างอยู่ที่ค่าเกือบเท่ากับศักดาไฟฟ้าของแหล่งจ่ายไฟด้านใดด้านหนึ่ง (บวกหรือลบ) และวงจรไม่สามารถทำงานได้

ข. ค่า CMRR. [Common Mode Rejection Ratio] สูง ค่า CMRR เป็นคุณสมบัติอย่างหนึ่งของวงจรขยายความแตกต่างที่จะสามารถกำจัดสัญญาณรบกวนได้ คุณสมบัติอันนี้ก็คือ การมีอัตราขยายของสัญญาณดิฟเฟอเรนเชียลโหมด [Differential Mode Signal] สูง และมีอัตราขยายของสัญญาณคอมมอนโหมดต่ำ ทั้งนี้เนื่องจากสัญญาณที่ต้องการขยาย [ECG] จะเข้าไปที่อินพุทในลักษณะของสัญญาณดิฟเฟอเรนเชียล ส่วนสัญญาณรบกวน (50 เฮิรตซ์) จะเข้าไปที่อินพุทในลักษณะสัญญาณคอมมอนโหมด

วงจรขยายความแตกต่างที่ใช้ประกอบด้วยออปแอมป์ 3 ตัว ดังแสดงในรูปที่ 3.2 สำหรับออปแอมป์ตัวที่ 4 ในรูปที่ 3.1 เป็นวงจรป้อนกลับแบบลบ [Negative Feedback] เพื่อให้แทนกราวด์ [Ground] หรือเรียกว่า RL Driver [Right Leg Driver] ทำหน้าที่ลดศักดาไฟฟ้าคอมมอนโหมด [Common Mode Potential] ซึ่งสามารถเกิดขึ้นได้ระหว่างร่างกายของคนไข้กับกราวด์ของวงจรลอย



รูปที่ 3.2 วงจรขยายความแตกต่างของสัญญาณ

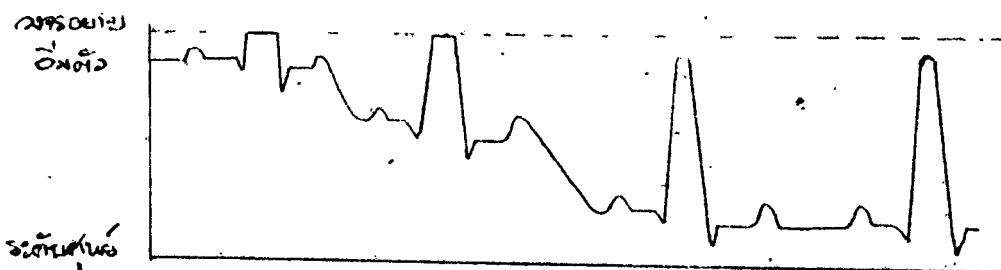
วงจรในรูปที่ 3.2 ตัว A1 และ A2 เป็นวงจรขยายบัฟเฟอร์ [Buffer Amplifier] ซึ่งจะมีค่าอินพุตอิมพีแดนซ์สูงมาก ประมาณมากกว่า 10 M เพราะเลือกใช้ออปแอมป์ชนิดที่มีอินพุตเป็นเฟท

วงจรดังกล่าวมีค่าอัตราขยายคิกคาไฟฟ้าประมาณ 10 ส่วน C1 และ C2 ในรูปที่ 3.1 ทำหน้าที่กรองความถี่สูงไม่ให้ผ่านวงจรขยายไปได้ IC4, R4, R5 และ R10 เป็นส่วนของวงจรป้อนกลับที่เรียกว่า RL Driver

วงจรขยายในภาคแรกไม่ควรให้มีอัตราขยายมากเกินไป เพราะว่าถ้าเกิดมีคิกคาไฟฟ้าออปเช็กเกิดขึ้นที่อินพุตไม่ว่าจะสาเหตุใดก็ตาม จะทำให้สัญญาณออกที่เอาท์พุทลอยขึ้นไปหรือต่ำลงจากระดับศูนย์มาก ซึ่งบางครั้งอาจจะอิมพัลส์อยู่ที่ค่าใกล้กับคิกคาไฟฟ้าของแหล่งจ่ายไฟ ทำให้วงจรไม่สามารถทำงานได้

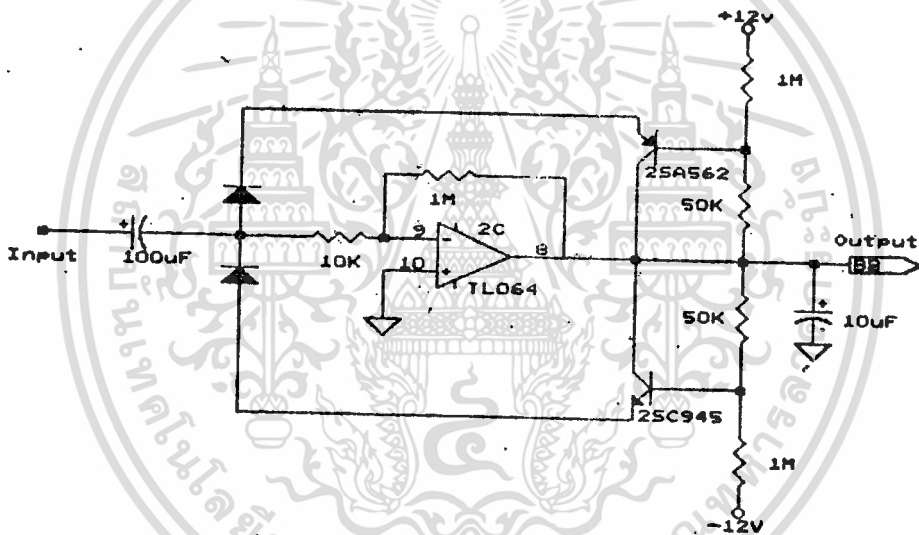
3.1.2 วงจรปรับศูนย์ [Autozero Circuit]

เมื่อสัญญาณคิกคาไฟฟ้าหัวใจผ่านวงจรขยายความแตกต่างมักจะมีคิกคาไฟฟ้าออปเช็กถูกขยายออกมาด้วย คิกคาไฟฟ้าออปเช็กนี้เป็นคิกคาไฟฟ้ากระแสตรง ซึ่งสามารถแยกออกจากคิกคาไฟฟ้าหัวใจได้โดยการส่งผ่านสัญญาณทางตัวเก็บประจุ แต่เนื่องจากคิกคาไฟฟ้าหัวใจมีความถี่ต่ำอยู่ในช่วง 0.5 ถึง 200 เฮิรซ์ ดังนั้นตัวเก็บประจุที่ใช้จะต้องมีค่ามาก เพื่อให้สัญญาณที่มีความถี่ต่ำอยู่ในช่วงดังกล่าวผ่านไปได้ ปัญหาที่ตามมาก็คือ ถ้ามีการรบกวนที่อีเลคโตรด เช่น เมื่อคนใช้ขยับตัว จะทำให้ความต้านทานตรงรอยสัมผัสของอีเลคโตรดกับผิวหนังเปลี่ยนแปลงไป และวงจรเสียมดุลย์ เกิดเป็นคิกคาไฟฟ้าออปเช็กที่เอาท์พุทของวงจรขยายความต่าง คิกคาไฟฟ้าหัวใจที่ผ่านตัวเก็บประจุจะลอยตัวออกห่างจากระดับศูนย์ และกลับเข้าสู่ระดับศูนย์ช้ามาก เนื่องจากค่าเวลาดังที่ [Time Constant] ของตัวเก็บประจุกับความต้านทานอินพุทของวงจรถัดไป มีค่ามาก ดังรูปที่ 3.3



รูปที่ 3.3 แสดงคิกคาไฟฟ้าหัวใจที่ส่งผ่านตัวเก็บประจุที่มีค่ามาก เมื่ออีเลคโตรดถูกรบกวน

หลักการของวงจรปรับศูนย์คือ จะช่วยลดค่าเวลาคงที่ [Time Constant] ให้เหลือน้อยมากเมื่อเกิดศักดาไฟฟ้าออฟเซ็ทถึงระดับที่กำหนดไว้ ดังแสดงในรูปที่ 3.4 ในขณะที่ยังไม่เกิดศักดาไฟฟ้าออฟเซ็ท ค่าเวลาคงที่ [Time Constant] จะเท่ากับผลคูณของ C1 กับ R2 แลเมื่อมีศักดาไฟฟ้าออฟเซ็ทประมาณ +1.2 โวลต์ หรือ -1.2 โวลต์ (เท่ากับศักดาไฟฟ้ตกคร่อมไดโอด D1 หรือ D2 กับขา EB ของทรานซิสเตอร์ Q1 หรือ Q2) ทรานซิสเตอร์ก็จะทำหน้าที่เป็นทางผ่านของสัญญาณลงกราวด์ ทำให้ค่าเวลาคงที่ [Time Constant] มีค่าลดลงเหลือเพียงเท่ากับผลคูณของ C1 กับความต้านทานภายในของทรานซิสเตอร์ซึ่งมีค่าน้อยมาก ส่วน IC1 เป็นวงจรขยายแบบกลับเฟส [Inverting Amplifier] มีอัตราขยายศักดาไฟฟ้าคือ

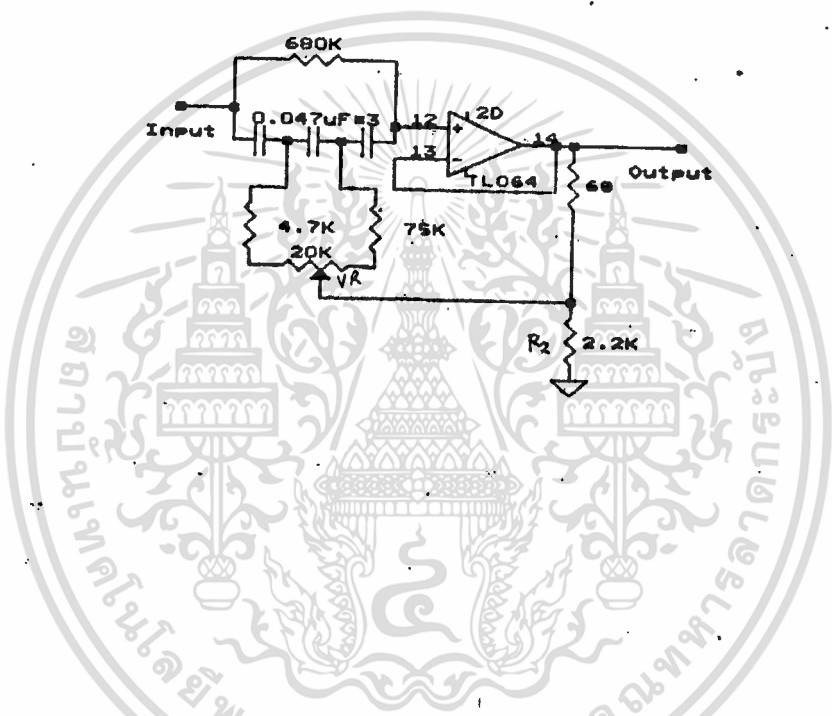
$$\text{อัตราขยายศักดาไฟฟ้า} = R1/R2 = 1M/10K = 100$$


รูปที่ 3.4 วงจรปรับศูนย์

3.1.3 วงจรกรองความถี่ต่ำ [Low - Pass Notch Filter]

ถึงแม้ว่าวงจรขยายในภาคแรกจะเป็นวงจรขยายความแตกต่าง ซึ่งมีคุณสมบัติในการกำจัดสัญญาณรบกวนได้ก็ตาม แต่ถ้าเกิดความไม่สมดุลย์ของวงจรขึ้นมา สัญญาณรบกวนซึ่งส่วนใหญ่เป็นความถี่ 50 เฮิรซ์ ก็สามารถผ่านไปได้ แต่เนื่องจากคลื่นไฟฟ้าหัวใจมีความถี่ต่ำอยู่ในช่วง 0.5 ถึง 200 เฮิรซ์ ถ้าเราใช้วงจรกรองความถี่ต่ำ [Low - Pass Filter] แบบธรรมดาที่ยอมให้ความถี่ต่ำกว่า 50 เฮิรซ์ผ่านไปได้ ก็จะทำให้สัญญาณไฟฟ้าหัวใจส่วนที่มีความถี่สูงกว่า 50 เฮิรซ์ถูกกำจัดออกไป ดังนั้น เราจึงต้องใช้วงจรกรองความถี่ต่ำแบบ Low - Pass Notch

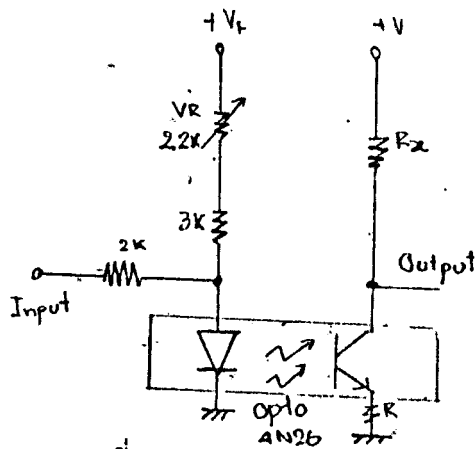
Filter ซึ่งจะยอมให้สัญญาณความถี่สูงและต่ำกว่า 50 เฮิรซ์ผ่านไปได้ ส่วนสัญญาณรบกวน 50 เฮิรซ์จะถูกกำจัดออกไป วงจรแสดงดังรูปที่ 3.5



รูปที่ 3.5 วงจรกรองความถี่ต่ำ Low - Pass Notch Filter

เมื่อกรองสัญญาณที่ไม่ต้องการไม่ให้ผ่านไปได้แล้ว ก็ผ่านมาที่วงจรส่งผ่านสัญญาณด้วยแสง เพื่อทำการแยกจุดดินระหว่างวงจรส่วนหน้ากับส่วนหลังกับวงจรถัดไป เพื่อป้องกันกระแสรั่วไหลจากเครื่องเข้าไปได้ อันตรายต่อคนใช้ได้ วงจรในรูปที่ 3.6 ความต้านทาน R1 ทำหน้าที่เปลี่ยนศักดาไฟฟ้าเป็นกระแสไฟฟ้า เพื่อป้องกันกับตัวส่งสัญญาณแสงซึ่งเป็นไดโอด ความต้านทาน R2 และ VR จะเป็นตัวป้องกันกระแสไหลกลับให้กับตัวส่ง การตั้งไบอัสทำได้โดยการปรับตัวความต้านทานเปลี่ยนค่าได้ VR จนกระทั่งศักดาไฟฟ้าที่ขาคอลเลคเตอร์ของตัวรับสัญญาณแสง มีค่าประมาณ 1/2 ของศักดาไฟฟ้าจากแหล่งจ่ายไฟ +V

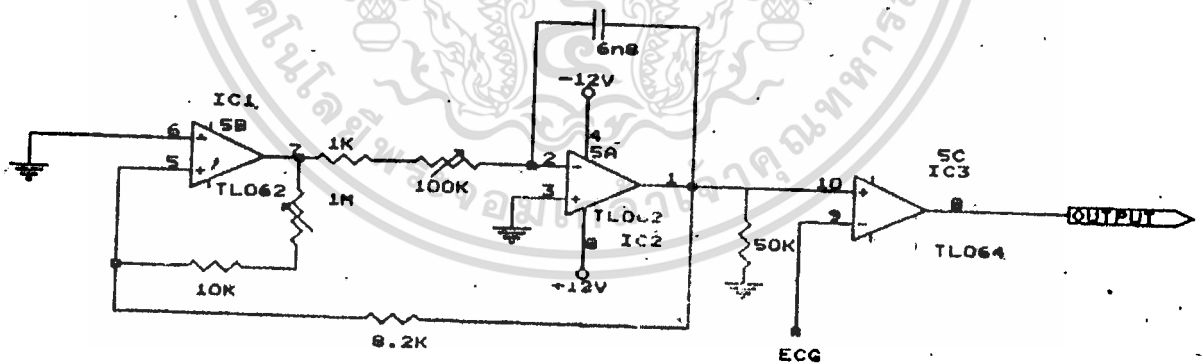
เอกสารนี้เป็นเอกสารที่สงวนไว้สำหรับการใช้งานเพื่อการศึกษาเท่านั้น ไม่อนุญาตให้นำไปใช้ประโยชน์ด้านการค้า ไม่ว่าจะกรณีใดๆทั้งสิ้น อีกทั้งห้ามมิให้ดัดแปลงเนื้อหา และต้องอ้างอิงถึงเจ้าของเอกสารทุกครั้งที่มีการนำไปใช้



รูปที่ 3.6 วงจรส่งผ่านสัญญาณด้วยแสง

การไบอัสดังกล่าวเป็นการไบอัสให้ตัวส่งสัญญาณแสงซึ่งเป็นไดโอด ทำงานอยู่ในช่วงลิเนียร์ ซึ่งการปรับกระแสไบอัสให้อยู่ในช่วงลิเนียร์นี้กระทำได้ยาก และตัวส่งสัญญาณแสงแต่ละตัวก็จะมีคุณสมบัติแตกต่างกันไป เราจึงต้องทำการปรับไบอัสทุกครั้งที่มีการเปลี่ยนตัวส่งสัญญาณ (แม้ว่าตัวส่งสัญญาณจะเป็นเบอร์เดียวกันก็ตาม) และอาจจะต้องมีการเปลี่ยนแปลงค่าอุปกรณ์ของวงจรถัดไปด้วย

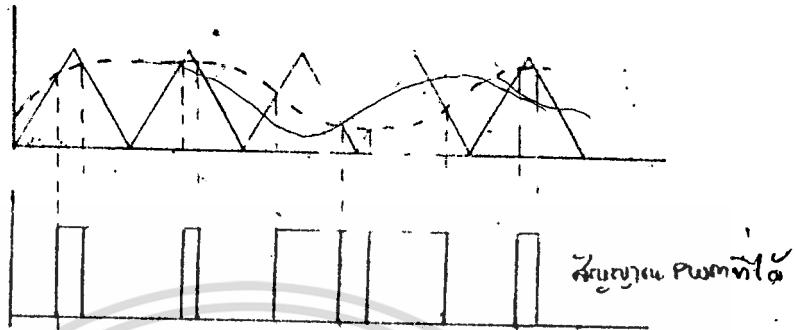
ดังนั้นเราจึงแก้ปัญหาดังกล่าวโดยการมอดูเลตสัญญาณก่อนจะส่งผ่านไปยังตัวส่งสัญญาณแสง โดยเราจะใช้วงจรพัลส์-วิดท์ มอดูเลเตอร์ [Pulse - Width Modulator] ดังแสดงในรูปที่ 3.7



รูปที่ 3.7 วงจร Pulse - Width Modulator และวงจรส่งผ่านสัญญาณแสง

จากรูปที่ 3.7 IC1 และ IC2 ทำหน้าที่สร้างสัญญาณสามเหลี่ยม [Triangle Signal] ความถี่ 3K เฮิรตซ์ เพื่อเป็นสัญญาณเปรียบเทียบ [Reference Signal] เข้าที่ขาอินพุทไม่กลับเฟส [Non-Inverting Input] ของ IC3 ซึ่งทำหน้าที่เปรียบเทียบสัญญาณ

[Comparator] โดยสัญญาณที่ออกจากวงจรรองความถี่ต่ำ จะถูกนำมาเข้าที่ขาอินพุทกลับเฟส [Inverting Input] ของ IC3 สัญญาณที่เอาท์พุทของ IC3 จะมีลักษณะเป็นพัลส์ โดยที่ความกว้างของพัลส์ [Pulse Width] จะแปรเปลี่ยนตามระดับสัญญาณที่ขาอินพุทไม่กลับเฟส ดังแสดงได้ดังรูปที่ 3.8

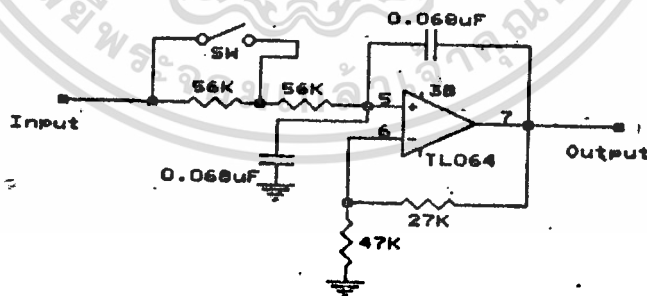


รูปที่ 3.8 แสดงการเปลี่ยนความกว้างพัลส์

$68 \times 10^3 \times 10^{-12}$
 $68 \times 10^9 \times 0.06$

3.2 ภาคแปลงคลื่นไฟฟ้าหัวใจเป็นอัตราการเต้นหัวใจ

3.2.1 วงจรดีมอดคูเลเตอร์ [Demodulator Circuit] หลังจากที่เราได้รับสัญญาณจากตัวรับสัญญาณแสงซึ่งเป็นสัญญาณพัลส์แล้ว จะต้องแปลงสัญญาณดังกล่าวให้เป็นสัญญาณคลื่นไฟฟ้าหัวใจตามเดิม โดยการใช้วงจรดีมอดคูเลเตอร์ ซึ่งวงจรที่ทำหน้าที่ดังกล่าวคือ วงจรรองความถี่ต่ำ ที่ยอมความถี่ในช่วงความถี่ของสัญญาณคลื่นไฟฟ้าหัวใจผ่านได้ ดังแสดงได้ดังรูปที่ 3.9

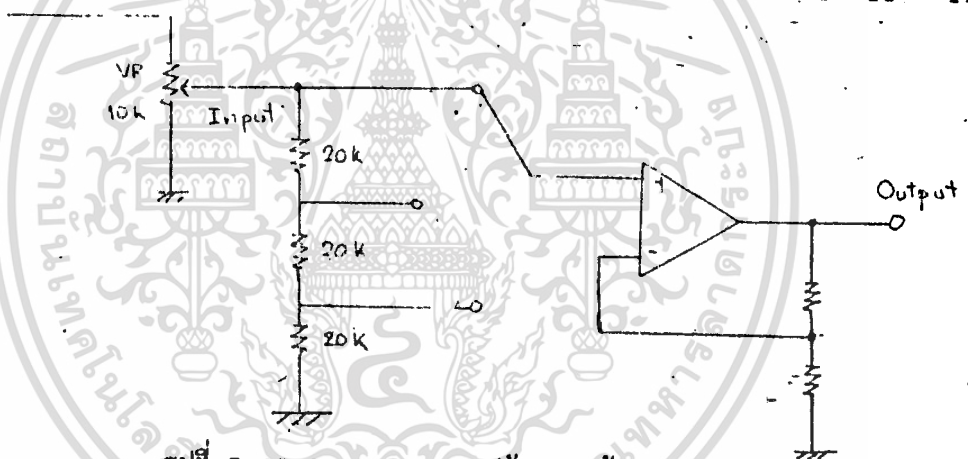


รูปที่ 3.9 วงจรรองความถี่ต่ำแบบแอคทีฟฟิลเตอร์

วงจรในรูปที่ 3.9 เป็นวงจรรองความถี่ต่ำแบบแอคทีฟ [Active Low-Pass

Filter] แบบ Sallen and Key Circuit (Design 2) ซึ่งมีค่าความถี่ตัดออฟ [Cut-off Frequency or Passband Edge Frequency] หรือ $\omega_c = 262$ เฮิรตซ์ และ Pole Q = 0.7

3.2.2 ส่วนวงจรขยายและปรับขนาดสัญญาณ ทำหน้าที่ขยายคลื่นไฟฟ้าหัวใจ ให้มีขนาดพอเหมาะที่จะป้อนให้กับวงจรแปลงสัญญาณแอนะล็อก เป็นสัญญาณดิจิทัล ซึ่งสามารถปรับขนาดของสัญญาณได้ 3 ระดับ โดยเพิ่มขึ้นครั้งละ 1 เท่า วงจรแสดงในรูปที่ 3.10 ตัว VR เป็นความต้านทานปรับค่าได้ชนิดเกือกม้า ใช้ปรับแต่งขนาดของคลื่นไฟฟ้าหัวใจที่ให้แสดงบนจอภาพ ให้มีความสูงเป็นสัดส่วนที่เหมาะสม R1, R2 และ R3 ทำหน้าที่เป็นวงจรแบ่งศักดาไฟฟ้า โดยให้ศักดาไฟฟ้าสลับที่ละครึ่ง S1 เป็นสวิตช์เลือก เพื่อเลือกขนาดของสัญญาณที่แสดงบนจอภาพ โดยเลือกได้ 3 ขนาด IC1, R4 และ R5 เป็นวงจรขยายแบบไม่กลับเฟส [Non-Inverting Amplifier] ที่มีอัตราขยายเท่ากับ $(1 + R4/R5) = (1 + 100K/10K) = 11$

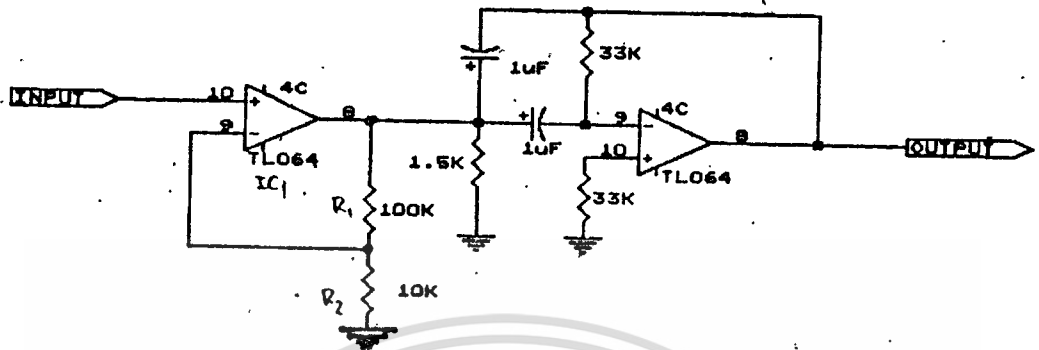


รูปที่ 3.10 วงจรขยายและปรับขนาดสัญญาณ

3.2.3 วงจรแยกคลื่น QRS

เนื่องจากคลื่นไฟฟ้าหัวใจประกอบไปด้วยคลื่นต่างๆ คือ P, QRS และ T ดังได้กล่าวไปแล้ว. ในบางครั้งคลื่น T มีขนาดความสูงใกล้เคียงกับคลื่น QRS (ขึ้นกับตำแหน่งของอิเล็กโทรด) ในการหาอัตราการเต้นของหัวใจ เมื่อหัวใจทำงาน 1 รอบ จะต้องมिनัลส์ 1 ลูก ส่งเข้าไปในวงจรแปลงความถี่เป็นศักดาไฟฟ้า และนัลส์นี้ได้จากวงจรตรวจจับยอดคลื่น [Peak Detector] ดังนั้น ถ้าคลื่น QRS และ T มีขนาดใกล้เคียงกัน อาจทำให้ได้นัลส์ 2 ลูกใน 1 รอบการทำงานของหัวใจ เนื่องจากคลื่น QRS มีความถี่สูงกว่าคลื่น T หลายเท่า โดยมีความถี่ประมาณ 17 เฮิรตซ์ จึงสามารถใช่วงจรกรองความถี่แยกเอาคลื่น QRS ออกจากคลื่น T ได้

ดังรูปที่ 3.11

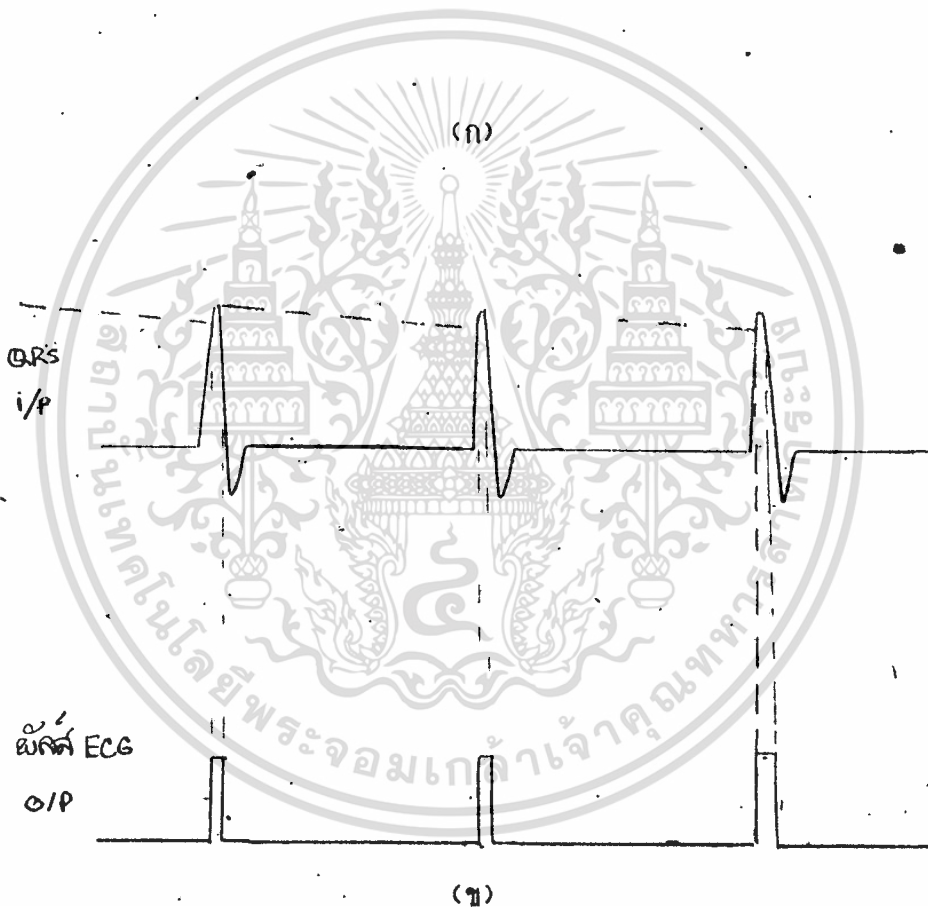
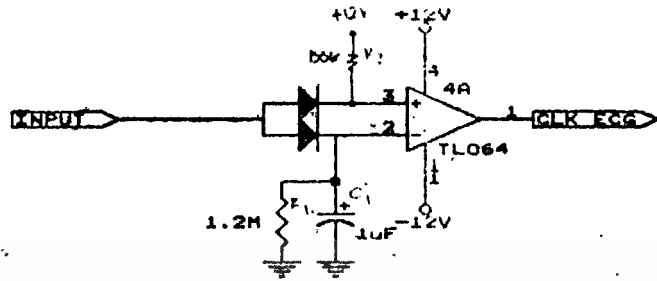


รูปที่ 3.11 วงจรแยกคลื่น QRS

IC1 , R1 และ R2 เป็นวงจรบัฟเฟอร์ที่มีอัตราขยายเท่ากับ $(1+R_1/R_2) = (1+100K/10K)=11$ ส่วนที่เหลือของวงจรเป็นวงจรแยกคลื่น QRS โดยมีลักษณะของวงจรเป็นแบบแบนพาสฟิลเตอร์ ที่ให้ความถี่ในช่วงของคลื่น QRS ผ่านได้

3.2.4 ส่วนของวงจรตรวจจับยอดคลื่น

ทำหน้าที่สร้างพัลส์ จากการตรวจจับยอดคลื่นดังแสดงในรูปที่ 3.12(ก) C1 ทำหน้าที่เก็บค่าศักดาไฟฟ้าของยอดคลื่น QRS R1 ทำหน้าที่เป็นทางผ่านของประจุไฟฟ้าที่คายออกจาก C1 เพื่อให้ค่าศักดาไฟฟาลดลงทีละน้อย R2 ช่วยให้เกิดการกวาดของ IC1 เป็นลบในขณะที่ยังไม่มีคลื่น QRS บ้อนเข้ามา เมื่อมีคลื่น QRS บ้อนเข้ามา ศักดาไฟฟ้าที่ขาบวกจะมีค่าประมาณเท่ากับสัญญาณคลื่น QRS IC1 เป็นวงจรเปรียบเทียบสัญญาณ และให้เอาที่พวออกมากเป็นพัลส์ ลักษณะของคลื่นที่จุดต่างๆ ดังแสดงในรูปที่ 3.12(ข)



รูปที่ 3.12 (ก) วงจรตรวจจับยอดคลื่น (ข) แสดงลักษณะของสัญญาณที่จุดต่างๆ

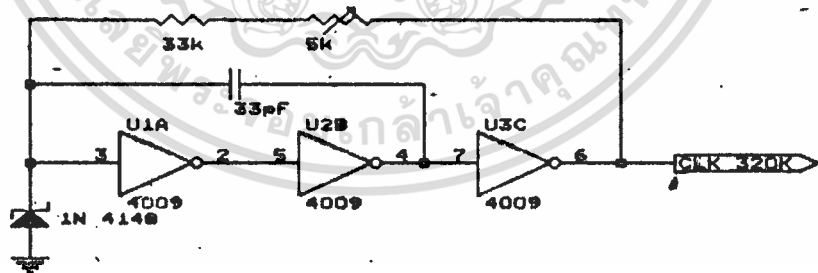
3.3 การทำสัญญาณไฟฟ้าหัวใจให้มีความถี่สูงขึ้นเพื่อนำไปแสดงผลบนจอภาพ

ในหัวข้อนี้จะแบ่งส่วนวงจรส่วนต่างๆที่ใช้ในการทำให้สัญญาณไฟฟ้าหัวใจมีความถี่สูงขึ้นได้ดังต่อไปนี้ คือ

1. วงจรสร้างสัญญาณนาฬิกา
 2. วงจรสร้างสัญญาณควบคุม
 3. วงจรแปลงสัญญาณอนาล็อกเป็นสัญญาณดิจิทัลและวงจรแปลงสัญญาณดิจิทัลเป็นสัญญาณอนาล็อก
 4. วงจรแบ่งระดับสัญญาณเอาต์พุตและวงจรหยุดสัญญาณภาพ
- โดยการทำงานของวงจรภาคต่างๆสามารถอธิบายได้ดังนี้คือ

3.3.1 วงจรสร้างสัญญาณนาฬิกา

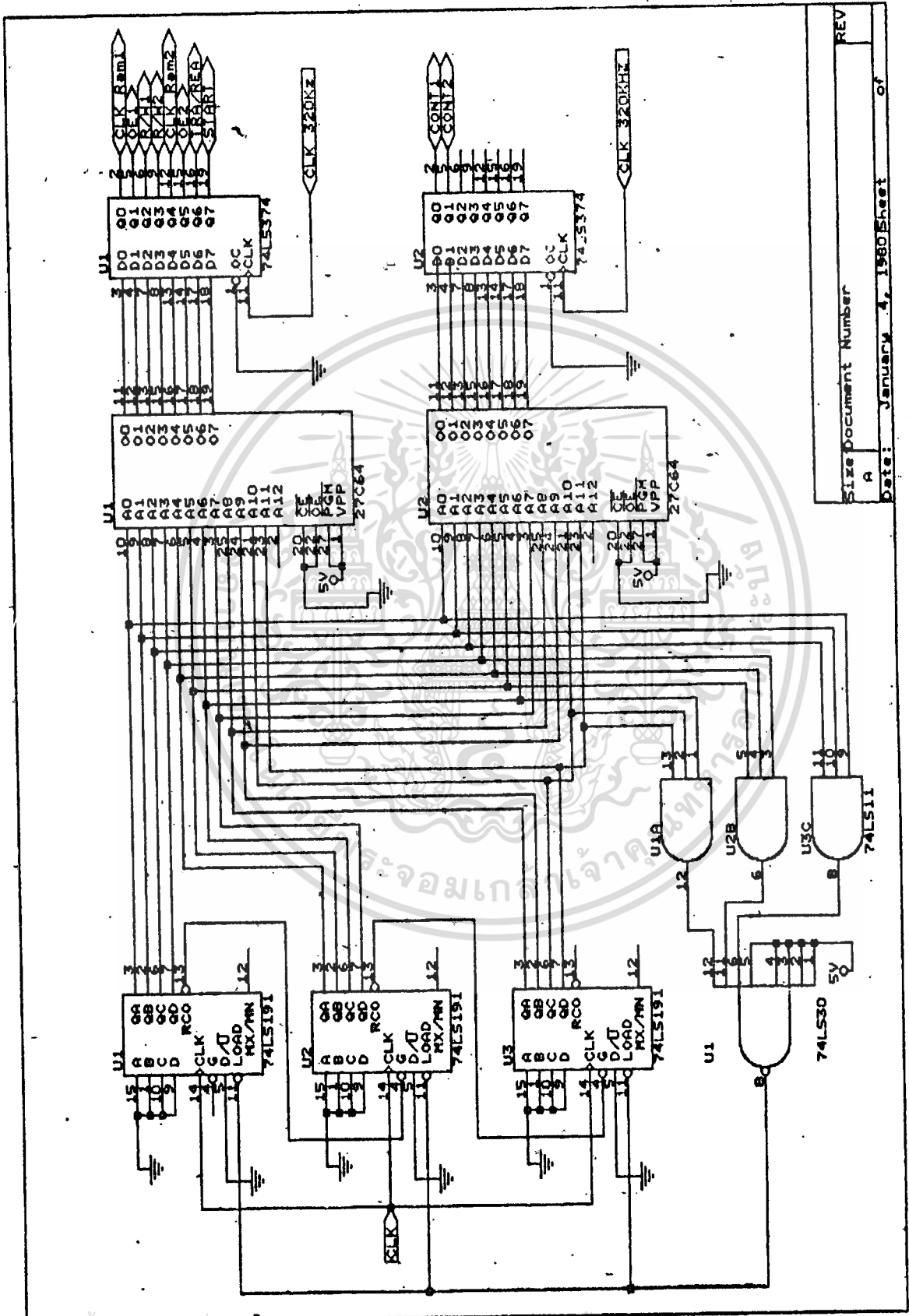
สัญญาณนาฬิกาดังกล่าวจะถูกใช้เป็นฐานเวลาของตัวนับแอดเดอเรส (IC4040) ซึ่งจะเป็นตัวชี้แอดเดอเรสของหน่วยความจำ EPROM ซึ่งจะแสดงตำแหน่งของข้อมูลที่จะถูกนำออกมาที่เอาต์พุต สัญญาณนาฬิกาที่สร้างขึ้นมีความถี่เท่ากับ 320 KHZ วงจรสร้างสัญญาณนาฬิกาแสดงไว้ในรูปที่ 3.13



รูปที่ 3.13 วงจรสร้างสัญญาณนาฬิกา

✓ 3.3.2 วงจรสร้างสัญญาณควบคุม

รูปที่ 3.14 เป็นวงจรกำเนิดสัญญาณควบคุม สำหรับควบคุมการทำงานของวงจรทั้งหมด โดยเราจะทำการโปรแกรมให้กับหน่วยความจำ EPROM เพื่อให้ได้สัญญาณเอาต์พุต



REV
 Size Document Number
 A
 Date: January 4, 1980 Sheet of

วันที่ 3.10 2536 ภาวคณิตศาสตร์ มทร.บธ

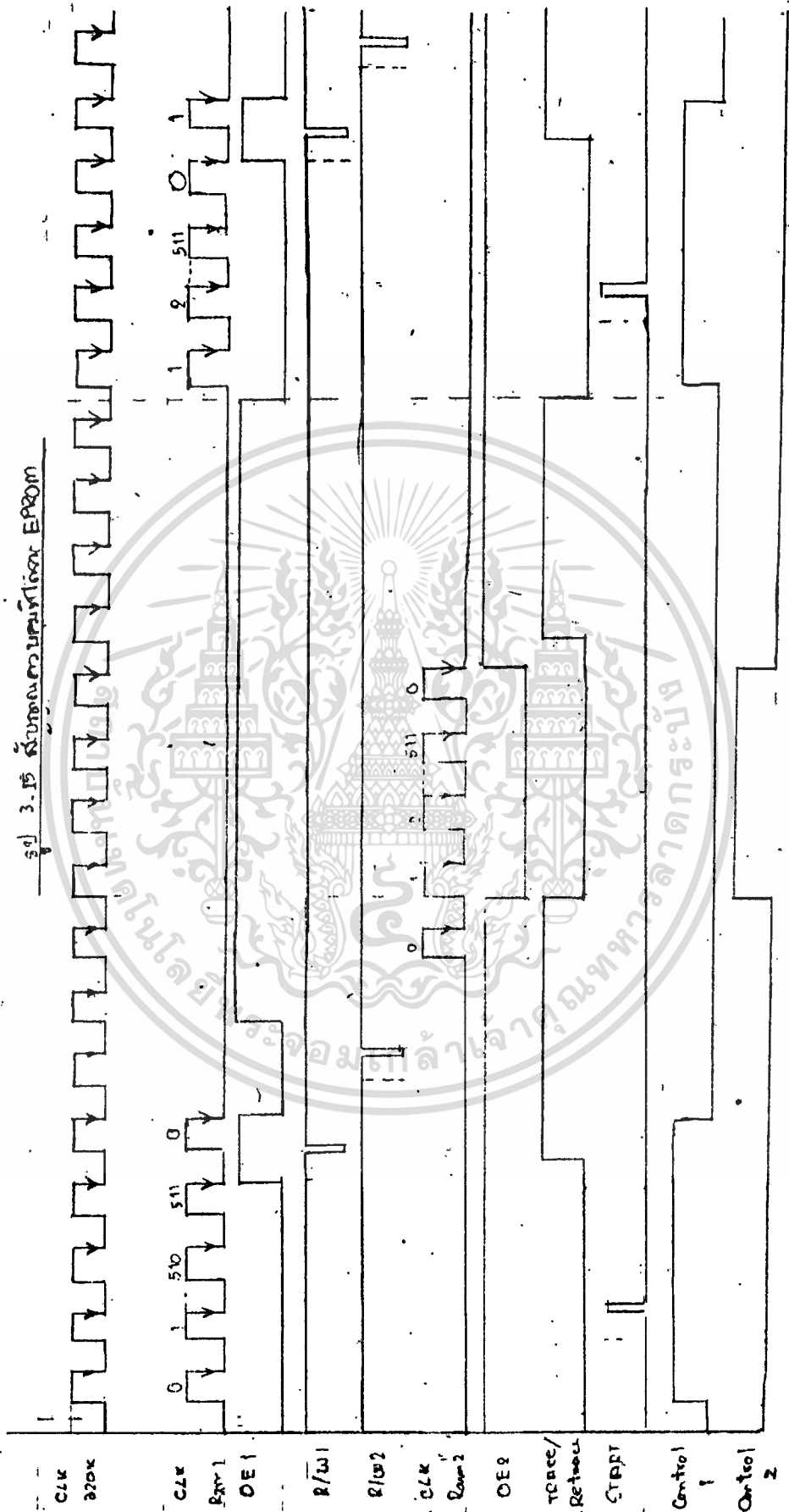
ทุกเป็นสัญญาณควบคุมที่เราต้องการ และใช้วงจรชิงโครนัลเคาทเตอร์ (IC 4040) เป็นตัวป้อนแอดเดรสให้กับหน่วยความจำ EPROM ซึ่งตัวป้อนแอดเดรสนี้จะทำงานตามสัญญาณนาฬิกาความถี่ 320 KHz เมื่อตัวนับแอดเดรสนับได้ถึงแอดเดรสที่ 3200 (ค่า 3200 ถูกกำหนดโดยการพิจารณาจากไทม์มิงไดอะแกรม) ก็จะถูกรีเซ็ตให้เริ่มที่แอดเดรส 0 ใหม่ เป็นเช่นนี้เรื่อยไป

สำหรับสัญญาณควบคุมที่ถูกโปรแกรมไว้ในหน่วยความจำ EPROM จะแสดงได้ดังรูปที่ 3.15 และมีหน้าที่ต่าง ๆ ดังนี้

สัญญาณควบคุมที่ได้หน่วยความจำ EPROM1

- D₀ ใช้เป็นสัญญาณนาฬิกาเข้าที่ขา CLK ของตัวนับ (4040) ซึ่งใช้ในการรีแอดเดรสของหน่วยความจำ Ram1
 - D₁ สัญญาณ OE เป็นสัญญาณที่ใช้สำหรับป้อนเข้าที่ขา Output enable ของหน่วยความจำ Ram1 ซึ่งแอดคัทที่ระดับสัญญาณต่ำ (0 โวลท์)
 - D₂ สัญญาณที่ใช้ในการควบคุมให้หน่วยความจำ Ram1 ทำการอ่านและเขียน (Read/Write) ในช่วงจังหวะที่ถูกต้อง
 - D₃ ใช้สำหรับเป็นสัญญาณนาฬิกาป้อนเข้าที่ขา CLK ของตัวนับ (4040) ซึ่งใช้ในการรีแอดเดรสของหน่วยความจำ Ram2
 - D₄ สัญญาณที่ใช้ในการควบคุมให้หน่วยความจำ Ram2 ทำการอ่านและเขียน (Read/Write) ในช่วงจังหวะที่ถูกต้อง
 - D₅ สัญญาณ OE ใช้สำหรับป้อนเข้าที่ขา Output Enable ของหน่วยความจำ Ram2 ซึ่งแอดคัทที่ระดับต่ำ
 - D₆ สัญญาณ Trace/Retrace เพื่อนำไปใช้ในการสร้างสัญญาณฟันเลื่อย และสัญญาณวีดีโอ
 - D₇ สัญญาณ START เป็นสัญญาณเข้าที่ขา START ของ ADC 0809 ในการแปลงสัญญาณอนาลอกเป็นสัญญาณดิจิทัล ADC0809
- สัญญาณควบคุมที่ได้จากหน่วยความจำ EPROM2
- D₀ สัญญาณควบคุมที่ใช้ในการควบคุมการแบ่งระดับสัญญาณหัวใจตัวที่ 1

รูป 3.15 สัญญาณควบคุมสำหรับโฟลเดอร์ EPROM

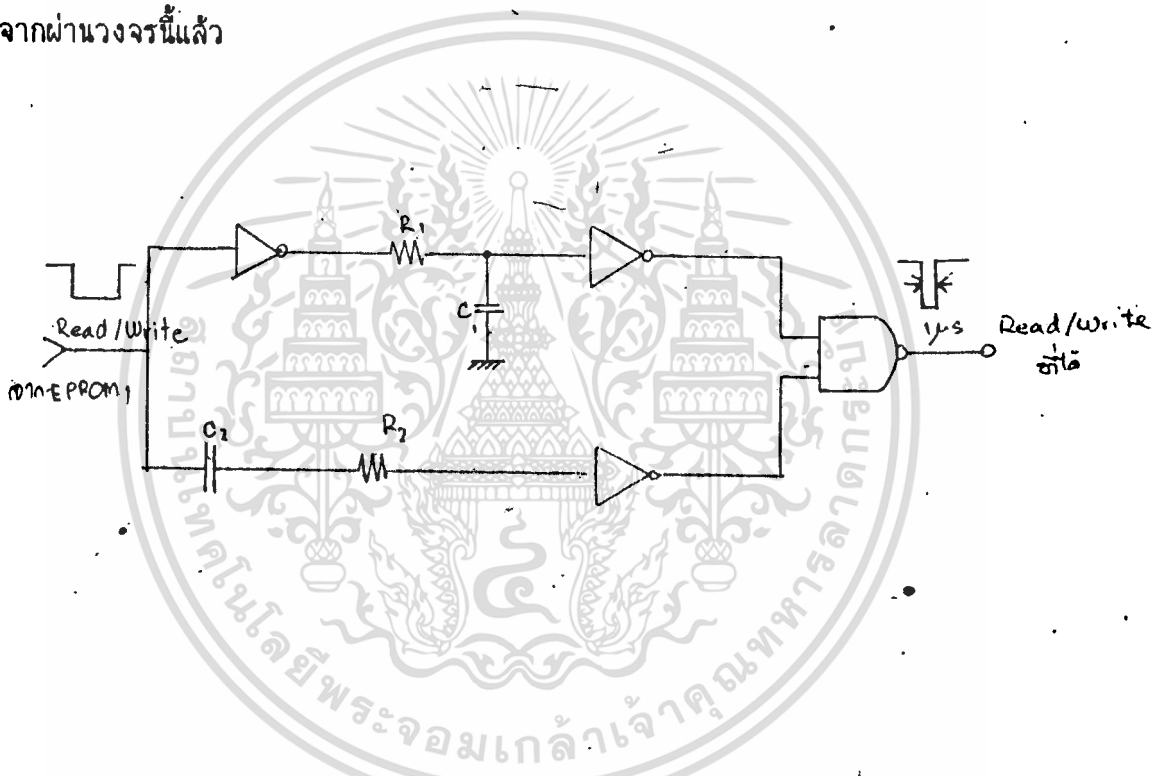


เอกสารนี้เป็นเอกสารที่สงวนไว้สำหรับการใช้งานเพื่อการศึกษาเท่านั้น ไม่อนุญาตให้นำไปใช้ประโยชน์ด้านการค้า
ไม่ว่ากรณีใดๆทั้งสิ้น อีกทั้งห้ามมิให้ตัดแปลงเนื้อหา และต้องอ้างอิงถึงเจ้าของเอกสารทุกครั้งที่มีการนำไปใช้

D. สัญญาณควบคุมที่ใช้ในการควบคุมการแบ่งระดับสัญญาณหัวใจตัวที่ 2

ข้อที่ควรพิจารณาของสัญญาณอ่านและเขียน (Read/Write) อีกอย่างหนึ่งคือ สัญญาณเขียน (Write) ไม่ควรมีค่าบเวลาที่ยาวเกินไป เพราะอาจจะมีสัญญาณที่ไม่ต้องการจากส่วนอื่น ๆ ของวงจรเข้ามาปนได้ หลังจากที่ข้อมูลที่เกี่ยวข้องถูกเขียน (Write) ลงในหน่วยความจำ Ram แล้ว

ฉะนั้นการแก้ปัญหาในเรื่องนี้ทำได้โดยการปรับช่วงเวลาการเขียน (Write) ให้สั้นลง และไม่มีการเปลี่ยนแปลงสถานะของแอดเดรสในช่วงเวลานั้น ซึ่งทำได้โดยการใช้วงจรโมโนสเตเบิล วงจรที่ใช้แสดงไว้ดังรูป รวมทั้งสัญญาณเขียนและอ่าน (Read/Write) ที่ได้หลังจากผ่านวงจรนี้แล้ว

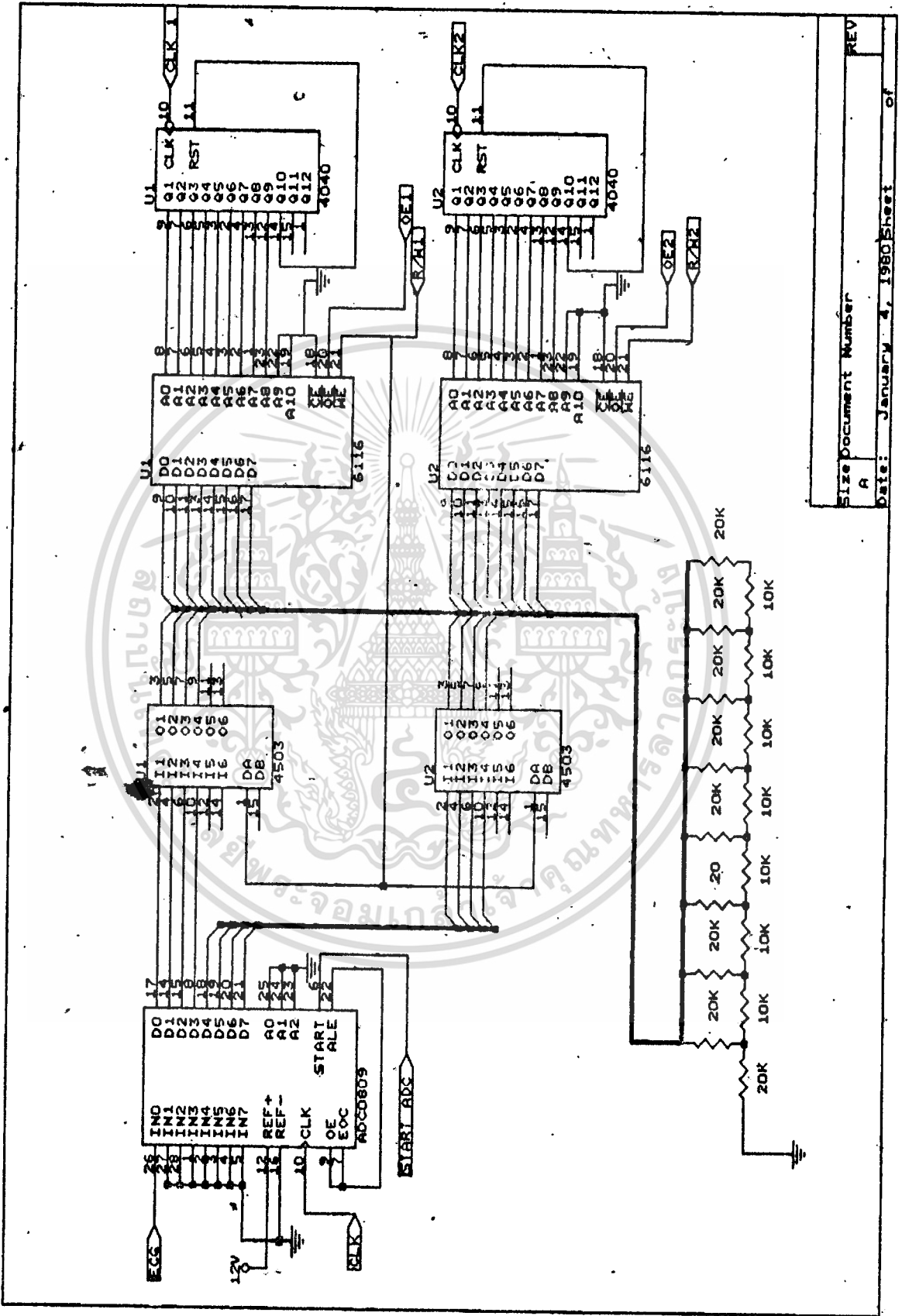


รูป วงจรโมโนสเตเบิลและสัญญาณอ่านและเขียน (Read/Write) ที่ได้

จะเห็นว่าสัญญาณอ่านและเขียน (Read/Write) มีช่วงเวลาเพียง 1 μ s เท่านั้น ซึ่งน้อยมากเมื่อเทียบกับคาบของสัญญาณนาฬิกา

3.3.3 วงจรแปลงสัญญาณแอนาล็อกเป็นดิจิตอล และวงจรแปลงสัญญาณดิจิตอลเป็นแอนาล็อก

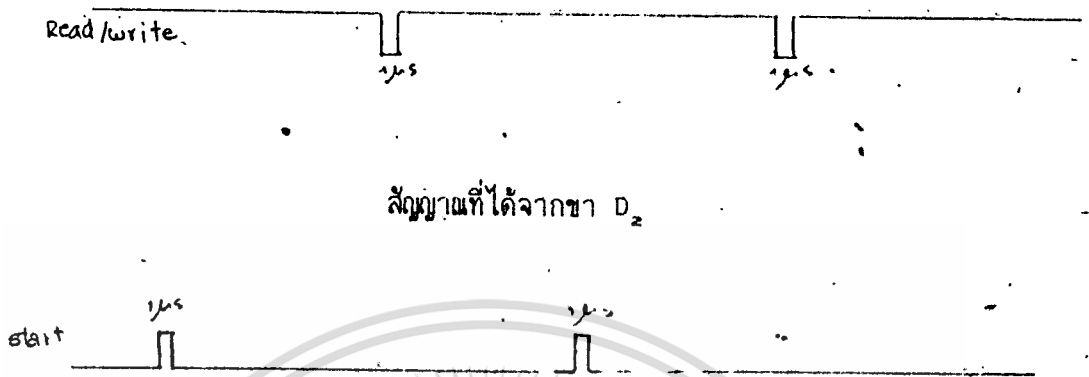
รูปวงจรแสดงไว้ในรูปที่ 3.16 จากรูปการแปลงสัญญาณแอนาล็อกเป็นสัญญาณดิจิตอลของวงจร (Analog To Digital Converter (A/D)) วงจรนี้ ใช้ IC 0809 วง



Size Document Number
 A
 Date: January 4, 1980 Sheet of REV

29 3.16 2075 A/C 480375 D/A

จรรยาที่เราใช้เพียง Channel เดียว คือเลือกค่าแอดเดรส (Address) ของ IC 0809 เป็น 000 สัญญาณที่ใช้ในการควบคุมการทำงานของวงจรนี้ คือสัญญาณที่ได้จากหน่วยความจำ EPROM1 คือสัญญาณ D_2 และ D_7 ซึ่งแสดงดังข้างล่างนี้



สัญญาณที่ได้จากขา D_7

เมื่อมีสัญญาณ Start ซึ่งเป็นสัญญาณนาฬิกาที่ได้มาจากขา D_7 ของหน่วยความจำ EPROM1 ที่มีลักษณะเป็นพัลส์แคบๆ เข้ามา IC 0809 จะเริ่มทำการเปลี่ยนสัญญาณอนาล็อก (Analog) ซึ่งเป็นสัญญาณหัวใจที่มีความถี่ต่ำที่ได้จากวงจรขยายส่วนแรก เป็น สัญญาณดิจิทัล (Digital) ซึ่งขณะที่ทำการเปลี่ยนสัญญาณอยู่นั้น สัญญาณเอาต์พุตที่ขา EOC จะมีโลจิกเป็น 0 และเมื่อทำการเปลี่ยนสัญญาณอนาล็อก (Analog) เป็น สัญญาณ (Digital) เสร็จแล้ว สัญญาณเอาต์พุตของ EOC จะมีโลจิกเป็น 1 ซึ่งจะเป็นตัวบ่งบอกว่าทำการเปลี่ยนสัญญาณเสร็จแล้ว แล้วค่าข้อมูลที่ได้พร้อมที่จะแสดงผล เมื่อมีสัญญาณ OE เข้ามา ในที่นี้เราใช้สัญญาณที่เข้าขา OE เป็นสัญญาณอ่านและเขียน (Read/Write) ของหน่วยความจำ Ram1 เพื่อที่จะให้ IC 0809 ให้สัญญาณเอาต์พุตเป็นช่วงพอดีกับที่หน่วยความจำ Ram1 อยู่ในช่วงเขียน (Write) ข้อมูลเข้าไป ทำให้ได้ข้อมูลที่ถูกต้องลงในแอดเดรสที่ต้องการ

สำหรับข้อกำหนดในการใช้ IC 0809 คือ เมื่ออยู่ในระหว่างช่วงการเปลี่ยนสัญญาณอนาล็อก (Analog) เป็นสัญญาณดิจิทัล (Digital) สัญญาณอินพุตต้องมีขนาดคงที่หรือไม่มีมีการเปลี่ยนแปลงเพียงเล็กน้อย ซึ่งก็ใช้ได้กับกรณีนี้ เนื่องจากสัญญาณไฟฟ้าหัวใจ (ECG) มีความถี่ประมาณ 0.5-200 Hz เท่านั้น แต่สัญญาณนาฬิกาที่ใช้เป็นฐานเวลา IC 0809 มีความถี่ถึง 360 KHz เมื่อเทียบกันแล้วถือได้ว่าในระหว่างการเปลี่ยนสัญญาณ สัญญาณไฟฟ้าหัวใจ (ECG)

แถบไม่มีการเปลี่ยนแปลงของขนาดสัญญาณเลย

สำหรับการอ่านและเขียนข้อมูล (Read/Write) ลงในหน่วยความจำ Ram1 และหน่วยความจำ Ram2 สามารถอธิบายได้ดังต่อไปนี้ โดยสมมติให้แอดเดรสเริ่มต้นของหน่วยความจำทั้งสองคือแอดเดรส 0 การทำงานอธิบายได้เป็นลำดับขั้นดังนี้

1. อ่านข้อมูลจากหน่วยความจำที่ 1 (Ram1) ตั้งแต่แอดเดรสที่ 0 ถึง 511
2. เขียนข้อมูลค่าใหม่ (ที่ได้จากวงจร A/D) ลงในแอดเดรสที่ 0 ของหน่วยความจำที่ 1 (Ram1) หลังจากนั้นแอดเดรสของหน่วยความจำที่ 1 (Ram1) จะขี้อยู่ที่แอดเดรส 1 (ทำได้โดยการหยุดให้สัญญาณนาฬิกาแก่ตัวนับแอดเดรส (4040 Counter) ของหน่วยความจำที่ 1 (Ram1))
3. อ่านข้อมูลจากแอดเดรสที่ 1 ของหน่วยความจำที่ 1 (Ram1) มาเขียนลงในแอดเดรสที่ 0 ของหน่วยความจำที่ 2 (Ram2)
4. อ่านข้อมูลจากหน่วยความจำที่ 2 (Ram2) ตั้งแต่แอดเดรสที่ 1 ถึง 511 และ 0 หลังจากนั้นแอดเดรสของหน่วยความจำที่ 2 (Ram2) จะขี้อยู่ที่แอดเดรส 1 (ทำได้โดยการหยุดให้สัญญาณนาฬิกาแก่ตัวนับแอดเดรสของ Ram2)
5. กลับมาอ่านข้อมูลจากหน่วยความจำที่ 1 (Ram1) ตั้งแต่แอดเดรสที่ 1 ถึง 511 และ 0
6. หลังจากอ่านข้อมูลจากหน่วยความจำที่ 1 (RAM1) เสร็จแล้ว จะเขียนข้อมูลค่าใหม่ (ที่ได้จากวงจร A/D) ลงในแอดเดรสที่ 1 ของหน่วยความจำที่ 1 (Ram1) หลังจากนั้นตัวชี้แอดเดรสจะชี้ที่แอดเดรสที่ 2
7. เมื่ออ่านข้อมูลและเขียนข้อมูลใหม่ให้กับหน่วยความจำที่ 1 (RAM1) เสร็จแล้ว จะทำการอ่านข้อมูลจากแอดเดรสที่ 2 ของหน่วยความจำที่ 1 (Ram1) ไปเขียนลงในแอดเดรสที่ 1 ของหน่วยความจำที่ 2 (Ram2) ซึ่งเป็นการเขียนข้อมูลใหม่ให้กับหน่วยความจำที่ 2 (RAM2).

หลังจากนั้นก็จะมีการอ่านข้อมูลของหน่วยความจำที่ 2 (RAM2) จากที่ได้กล่าวมาข้างต้น หน่วยความจำทั้งสองจะสลับการทำงานเช่นนี้เรื่อยไปตลอดการทำงาน

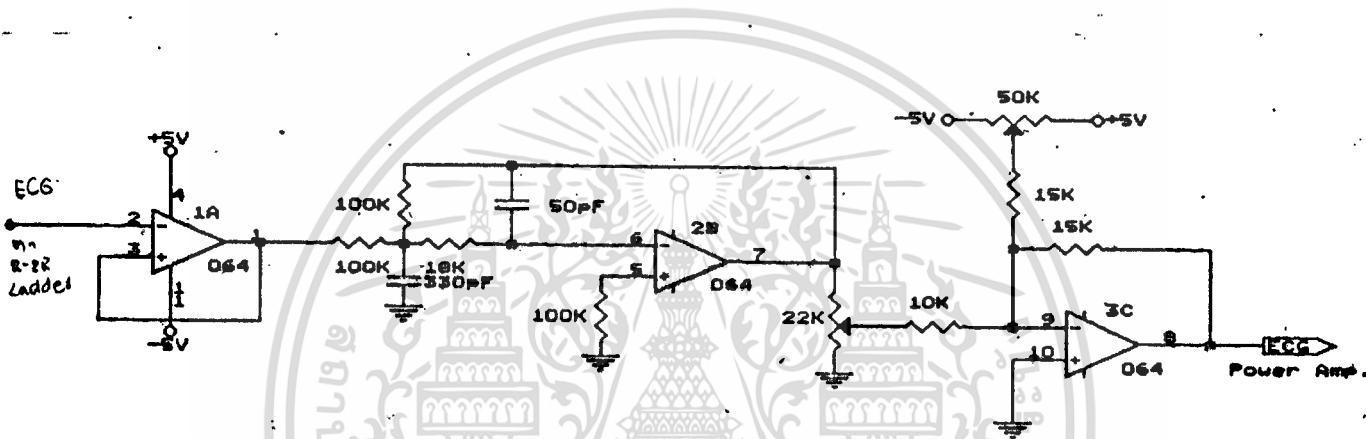
สำหรับวงจรที่ใช้ในการแปลงสัญญาณดิจิทัลเป็นสัญญาณอนาลอก ได้ใช้วงจร R-2R

Ladder โดยที่มีความสัมพันธ์ระหว่างเอาต์พุตและอินพุตดังสมการนี้

$$V_o = V_{in} (D_7 / 2 + D_6 / 4 + \dots + D_1 / 128 + D_0 / 256)$$

โดยที่ $D_0 \dots D_7$ เป็น 1 หรือ 0

สำหรับสัญญาณหัวใจที่ได้จากวงจรแปลงสัญญาณดิจิตอลเป็นสัญญาณอนาล็อก ต้องนำมาผ่านเข้าวงจรกรองความถี่ ดังในรูปที่ 3.17



รูปที่ 3.17 วงจรกรองความถี่

วงจรกรองความถี่ที่ใช้เป็นวงจรกรองสัญญาณความถี่ต่ำ (Low pass filter)

แบบ second order negative feedback ในการออกแบบวงจรนี้ ต้องกำหนดค่าความถี่ที่จะให้ตัด (Cut Off Frequency) ที่สูงกว่าความถี่ของสัญญาณไฟฟ้าหัวใจ ในช่วง QRS เล็กน้อย ซึ่งมีค่าประมาณเป็น KHz จากการทดลอง ถ้าให้จุดตัดความถี่ต่ำกว่านี้ ขนาดของ QRS หลังจากผ่านวงจรฟิลเตอร์จะลดลงมากเมื่อเทียบกับสัญญาณช่วงอื่น แต่ถ้าตั้งจุดตัดไว้ที่ความถี่สูงเกินไป สัญญาณจะไม่ค่อยเรียบ เนื่องจากกรองสัญญาณรบกวนไม่ได้ทั้งหมด

หน้าที่ของวงจรกรองสัญญาณความถี่ต่ำที่ใช้ก็คือ จะทำหน้าที่หาค่าเฉลี่ยของขนาดสัญญาณไฟฟ้าหัวใจที่ออกมาจากวงจรแปลงสัญญาณดิจิตอลเป็นอนาล็อก ดังนั้นทำให้เราได้สัญญาณหัวใจที่ต่อเนื่องออกมาในที่สุด และหน้าที่อีกอย่างก็คือ จะทำหน้าที่ตัดสัญญาณรบกวนที่มี

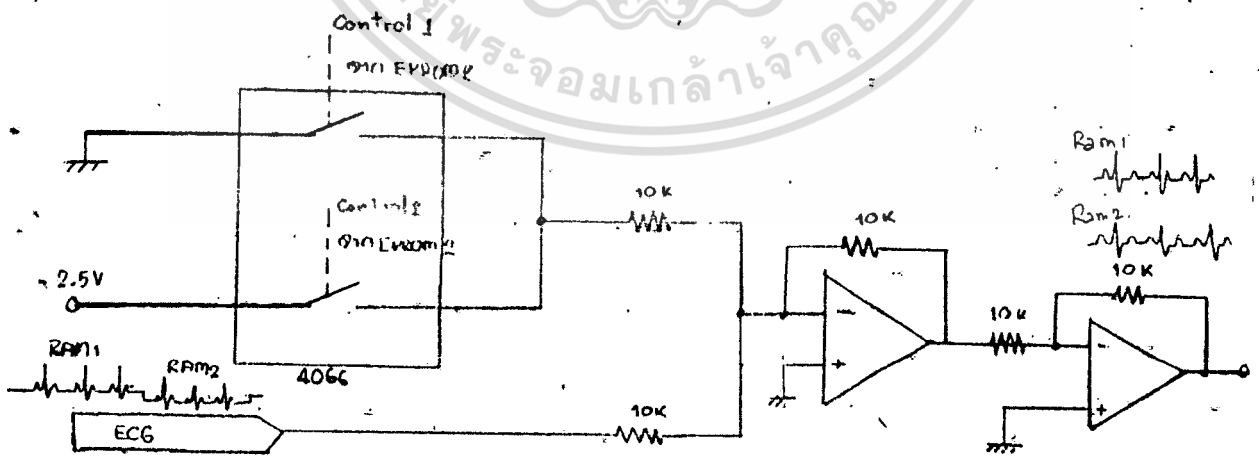
ความถี่ประมาณ 320 KHz ซึ่งเกิดมาจากวงจรสร้างสัญญาณนาฬิกาออกไป ทำให้สัญญาณหัวใจ เรียบขึ้น และผิดเพี้ยนน้อยที่สุด

3.3.4 วงจรแบ่งระดับสัญญาณเอาต์พุตและการหยุดสัญญาณภาพ

สัญญาณไฟฟ้าหัวใจที่ได้จากวงจรแปลงสัญญาณดิจิตอลเป็นอนาลอก จะเป็นสัญญาณ ไฟฟ้าหัวใจที่ต่อเนื่องกันและมีความถี่สูงขึ้น และสัญญาณไฟฟ้าหัวใจที่ได้จากการอ่านข้อมูลจาก หน่วยความจำ Ram1 และ Ram2 จะมีระดับที่ใกล้เคียงกัน ดังแสดงไว้ในรูปที่ 3.18 จึงต้อง นำสัญญาณเอาต์พุตที่ได้นี้ไปผ่านวงจรแบ่งระดับสัญญาณ เพื่อที่จะสามารถนำสัญญาณไฟฟ้าหัวใจ ที่ได้จากหน่วยความจำ Ram1 ไปแสดงในช่องสัญญาณที่ 1 บนจอภาพ ส่วนสัญญาณไฟฟ้าหัวใจที่ ได้จากหน่วยความจำที่ Ram2 จะแสดงในช่องสัญญาณที่ 2 บนจอภาพ รูปวงจรแบ่งระดับสัญญาณเอาต์พุตแสดงไว้ในรูปที่ 3.19 โดยที่สัญญาณควบคุมการทำงานของ IC4066 ที่ขา 13 และที่ขา 5 เป็นสัญญาณที่ได้จากสัญญาณเอาต์พุตของหน่วยความจำ EPROM2 ซึ่งคือขาสัญญาณ D₀ และ D₁ ตามลำดับ สัญญาณหัวใจที่ได้จากวงจรแบ่งระดับจะแสดงไว้ในรูปที่ 3.19



รูปที่ 3.18 สัญญาณไฟฟ้าหัวใจที่ได้หน่วยความจำ Ram1 และ Ram2



รูปที่ 3.19 วงจรแบ่งระดับสัญญาณและสัญญาณไฟฟ้าหัวใจที่ได้

สำหรับช่วงหยุดสัญญาณภาพ ในขณะที่ต้องการทำการวิเคราะห์สัญญาณภาพขณะใด

ขณะหนึ่งนั้น จุดประสงค์ที่ต้องการทำคือ การหยุดสัญญาณภาพเฉพาะสัญญาณที่อ่านออกมาจากหน่วยความจำ Ram2 โดย หน่วยความจำ Ram1 ยังคงทำงานตามปกติ คือมีการรับสัญญาณเข้ามาใหม่ตลอดเวลา ส่วนหน่วยความจำ Ram2 นั้น จะทำการอ่านเฉพาะข้อมูลเก่าที่เก็บไว้แล้วออกมาเท่านั้น สำหรับในการสแกนสัญญาณภาพแต่ละครั้ง โดยสามารถเขียนเป็นรูปตารางดังข้างล่าง

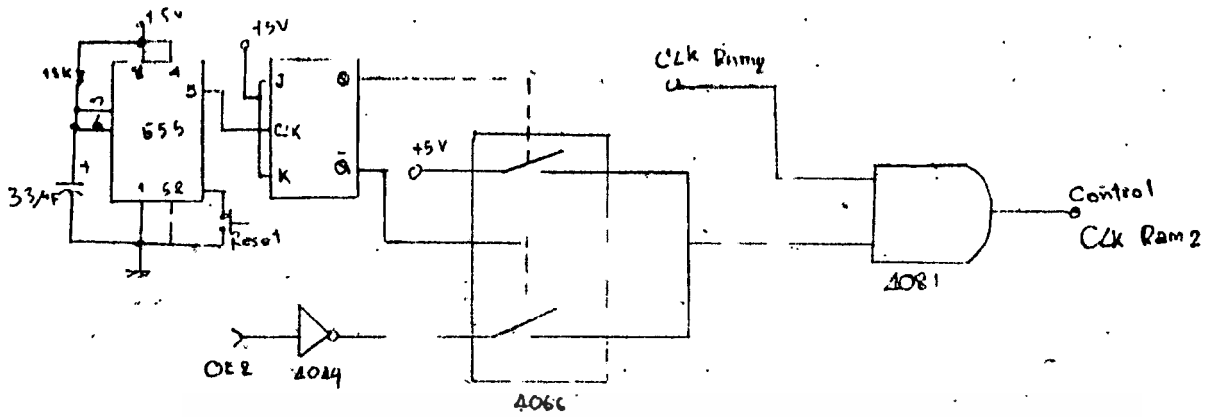
เขียน (WR) แอดเดรสที่	อ่าน (RD) แอดเดรสที่
0	1...511,0
1	2...511,0,1
...	...
511	0...511

ตารางการอ่านและเขียน (Read/Write) ของหน่วยความจำ Ram1

เขียน (WR) แอดเดรสที่	อ่าน (RD) แอดเดรสที่
0	1...511
0	1...511
.	.
.	.
0	.

ตารางการอ่านและเขียน (Read/Write) ของหน่วยความจำ Ram2

สำหรับวงจรที่ใช้ในการหยุดสัญญาณภาพของช่องสัญญาณที่ 2 แสดงไว้ในรูปที่ 3.20



รูปที่ 3.20 วงจรสร้างสัญญาณควบคุมในช่วงหยุดภาพให้หนึ่ง

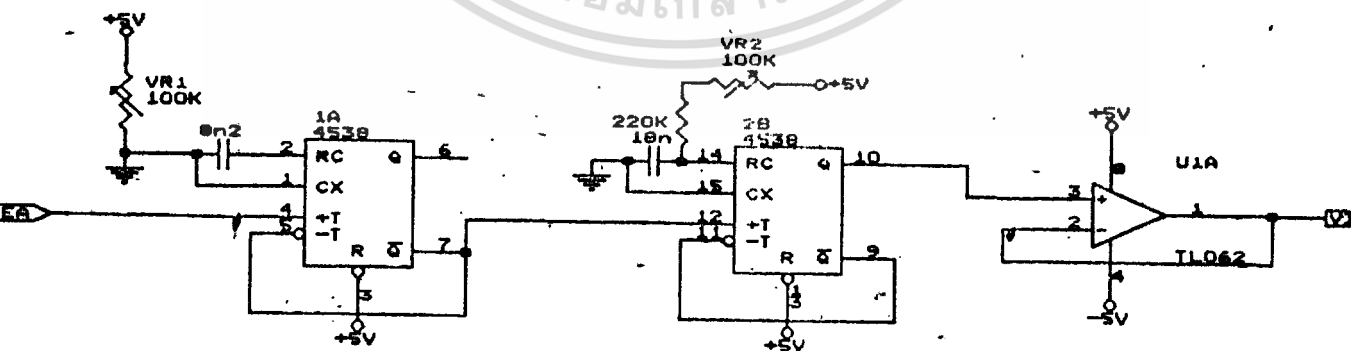
สมมติว่าเริ่มแรกสัญญาณหัวใจที่ได้จาก Ram2 เปลี่ยนที่อย่างต่อเนื่อง เมื่อต้องการหยุดสัญญาณไฟฟ้าหัวใจ ทำได้โดยการกดรีเซ็ต สัญญาณเอาต์พุต Q และ Q̄ เปลี่ยนจาก 0 เป็น 1 และเปลี่ยนจาก 1 เป็น 0 สัญญาณที่เข้าที่ AND GATE จะเปลี่ยนจาก +5V เป็นสัญญาณ OE2 ที่ผ่านอินเวอเตอร์ สัญญาณเอาต์พุตที่ออกมาที่ AND GATE จะได้สัญญาณ CLK Ram2 ที่มีจำนวน Clock 512 Clock แทนสัญญาณ Clock ที่ได้นี้ จะนำไปเข้าที่ขา Clock ของ Ram2 ซึ่งจะทำให้ Ram2 อ่านเฉพาะข้อมูลเก่าออกมา

3.4 วงจรส่วนแสดงผลทางจอภาพ

3.4.1 วงจรสร้างสัญญาณวิดีโอ

สัญญาณนี้จะถูกนำไปขยายและควบคุมขนาดโกดของหลอดภาพทีวี หน้าทีของสัญญาณวิดีโอคือ ทำให้หลอดภาพมืดหรือสว่าง ในช่วงแสดง (Trace) ของการสแกนแนวนอน ซึ่งเราต้องการให้สัญญาณไฟฟ้าหัวใจปรากฏบนจอภาพ นั่นคือ ในช่วงนี้สัญญาณภาพจะต้องทำให้มีอิเล็คตรอนวิ่งมากระทบจอภาพ จะทำให้เกิดจุดสว่างขึ้น ณ จุดที่อิเล็คตรอนมากระทบ แต่พอถึงช่วงสลับกลับ (Retrace) ซึ่งลำอิเล็คตรอนจะถูกสลับกลับไปทางซ้ายของจอเพื่อพร้อมที่จะเริ่มการสแกนในแนวนอนไปทางขวาครั้งใหม่ ในช่วงนี้ ถ้าหากปล่อยให้ลำอิเล็คตรอนวิ่งมากระทบ จะทำให้เห็นเส้นสลับกลับซึ่งเป็นสิ่งที่ไม่ต้องการ

ในทางปฏิบัติ เราจะสร้างสัญญาณวิดีโอขึ้นมาสองระดับ ถ้าหากสัญญาณมีศักดาสูง เช่น ในกรณีนี้ใช้ 5 โวลท์ ก็จะทำให้ลำอิเล็คตรอนออกมากระทบจอ แต่ถ้านสัญญาณมีระดับต่ำ ประมาณ 0 โวลท์ ก็ไม่ให้มีอิเล็คตรอนออกมา สำหรับวงจรที่สำหรับสร้างสัญญาณวิดีโอ ได้แสดงไว้ในรูปที่ 3.21 ซึ่งประกอบด้วยไอซีโมโนสเตเบิล เบอร์ 4538 จำนวน 2 ตัว ต่อคาสเคดกัน โดยสัญญาณที่จะนำมาสร้างสัญญาณวิดีโอได้มาจากสัญญาณเอาท์พุทจาก EPROM ซึ่งเป็นสัญญาณที่ได้ทำการโปรแกรมไว้ สัญญาณที่จุดต่างๆของวงจรสร้างสัญญาณวิดีโอ ได้แสดงไว้ในรูปที่ 3.22



รูปที่ 3.21 วงจรสร้างสัญญาณวิดีโอ

เอกสารนี้เป็นเอกสารที่สงวนไว้สำหรับการใช้งานเพื่อการศึกษาเท่านั้น ไม่อนุญาตให้นำไปใช้ประโยชน์ด้านการค้า ไม่ว่าจะกรณีใดๆทั้งสิ้น อีกทั้งห้ามมิให้ดัดแปลงเนื้อหา และต้องอ้างอิงถึงเจ้าของเอกสารทุกครั้งที่มีการนำไปใช้

โดยที่แต่ละตัวจะกำหนดให้ทำงานอยู่ในช่วงขาขึ้นของสัญญาณที่มากริก (tri) และคาบเวลาถูกกำหนดด้วยค่าความต้านทาน และตัวเก็บประจุ สัญญาณที่ได้จาก Q ของ 4538 ตัวที่ 2 นี้เองที่จะนำมาใช้เป็นสัญญาณวีดีโอ และเพื่อเป็นการป้องกันการไหลของวงจร ซึ่งอาจทำให้คาบเวลาผิดไป จึงต้องนำสัญญาณวีดีโอที่ได้มาต่อผ่านบัฟเฟอร์ ดังแสดงไว้ดังรูปที่ 3.21 เอาท์พุทที่ได้จะนำไปต่อเข้ากับวงจรส่วนคาโอดของหลอดภาพ

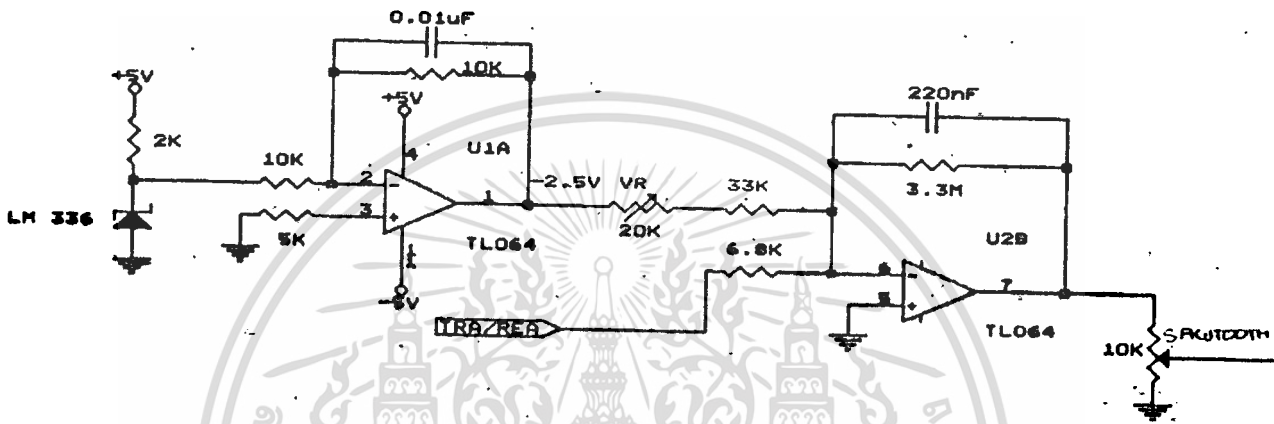


รูปที่ 3.22 สัญญาณต่างๆที่ได้จากวงจรสร้างสัญญาณวีดีโอ

3.4.2 วงจรสร้างสัญญาณเฟ้นเลือก

สัญญาณเฟ้นเลือกใช้สำหรับควบคุมขดลวดหัวเกในแนวนอน ซึ่งวงจรที่ใช้สร้างสัญญาณเฟ้นเลือกแสดงไว้ในรูปที่ 3.23 โดยที่วงจรประกอบด้วยไอซีออปแอมป์ ต่อร่วมกับ R_1 , R_2 , R_3 , C_1 , VR_1 และ VR_2 ซึ่งทำงานเป็นวงจรอินทิเกรเตอร์ (Integrator) และวงจรซิมมิงแอมป์พร้อมกัน โดยที่สัญญาณอินพุทของวงจรมีคือ สัญญาณที่ได้จากวงจรควบคุม ซึ่งคือสัญญาณ Trace/Retrace จาก EPROM1 การทำงานของวงจรมีจะเริ่มที่ เมื่อมีสัญญาณอินพุทมีคักดาประมาณ 5 โวลต์ จะมีกระแสไหลผ่าน R_1 จากนั้นกระแสส่วนหนึ่งจะแยกไหลผ่าน R_2 และ VR_1 และอีกส่วนหนึ่งจะแยกไหลไปชาร์จ C_1 ซึ่งในช่วงนี้ สัญญาณเอาท์พุทจะมีสโลปเป็นลบ สำหรับในกรณีที่สัญญาณอินพุทมีค่าเท่ากับ 0 โวลต์ จะไม่มีกระแสไหล ช่วงนี้กระแสจาก C_1 จะดิสชาร์จผ่าน R_3 และ VR_2 ไปที่โพลบ 2.5 โวลต์ ซึ่งทำให้ได้สโลปเอาท์พุทเป็นบวก จากที่ได้กล่าวมาข้างต้นนี้ เมื่อมีสัญญาณอินพุทที่ได้จาก EPROM เข้ามาจะทำให้ได้สัญญาณ

ญาณเอาท์พุทเป็นสัญญาณผ่นเลื่อย สำหรับ VR, จงทำหน้าทีปรับระดับคิขี้ที่เอาท์พุทด้วย



รูปที่ 3.23 วงจรสร้างสัญญาณผ่นเลื่อย

3.4.3 ส่วนแสดงผลออกทางจอภาพ

ในส่วนนี้เราสามารถที่จะแบ่งวงจรส่วนต่างๆที่ใช้ในการนำสัญญาณหัวใจมาแสดงผลทางจอภาพได้ คือ

1. ภาคกำเนิดสัญญาณพัลส์ (Pulse generator)
2. ภาคสวิตช์ ออน-ออฟ (on-off) และฟลายแบคทรานส์ฟอร์มเมอร์ (Flyback Transformer)
3. วงจรขยายสัญญาณภาพ (Video Amplifier)
4. วงจรขยายกำลัง

โดยการทำงานของวงจรต่างๆสามารถอธิบายได้ดังต่อไปนี้

เอกสารนี้เป็นเอกสารที่สงวนไว้สำหรับการใช้งานเพื่อการศึกษาเท่านั้น ไม่อนุญาตให้นำไปใช้ประโยชน์ด้านการค้าไม่ว่ากรณีใดๆทั้งสิ้น อีกทั้งห้ามมิให้ตัดแปลงเนื้อหา และต้องอ้างอิงถึงเจ้าของเอกสารทุกครั้งที่มีการนำไปใช้

3.4.3.1 วงจรกำเนิดสัญญาณพัลส์

วงจรในส่วนนี้จะสร้างสัญญาณพัลส์ที่มีความถี่ประมาณ 20 KHz , และสามารถปรับ ดิวตี้ไซเคิล (Duty Cycle) ได้อย่างอิสระโดยที่มีความถี่คงที่ สำหรับในวงจรนี้จะใช้ไอซี ไทม์เมอร์ (Timer) เบอร์ NE555 มาต่อเป็นวงจรออสเตเบิลมัลติไวเบเรเตอร์ (Astable Multivibrator) ดังแสดงไว้ดังรูปที่ 3.24 ไดโอด D_1 และ D_2 จะเป็นตัว แบ่งแยกในการสะสมประจุของ C ซึ่งสามารถที่จะคำนวณหาคาบเวลาได้ดังนี้

เวลาที่ใช้ในการสะสมประจุของ C

$$T_{High} = 0.67(R_1 + R_x) C$$

ในช่วงเวลาที่ C คายประจุ

$$T_{Low} = 0.67(R_2 + R_y) C$$

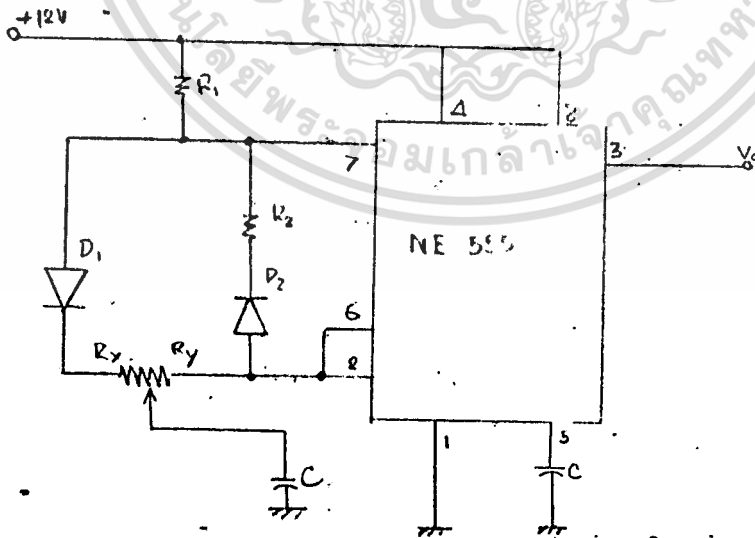
ดังนั้นคาบเวลาที่ได้คือ $T = 1 / (1/T_{High} + 1/T_{Low})$

ความถี่ที่ได้ $f = 1/T = 1 / (0.67(R_1 + R_2 + R_x + R_y) C)$

ค่าดิวตี้ไซเคิลที่ได้คือ

$$D = T_{Low} / T_{High}$$

$$D = (R_1 + R_x) / (R_2 + R_y)$$



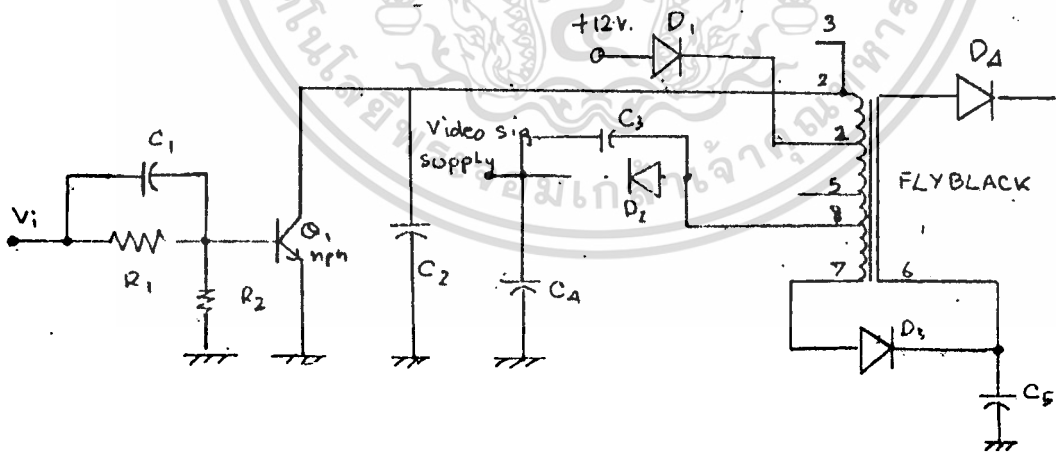
รูปที่ 3.24 วงจรสร้างสัญญาณพัลส์

3.4.3.2 วงจรส่วนสวิตช์ ออน-ออฟ และฟลายแบลคทรานส์ฟอร์มเมอร์

วงจรส่วนนี้ได้แสดงไว้ในรูปที่ 3.25 ในวงจรส่วนนี้จะใช้สวิตช์ทรานซิสเตอร์ (Switching transistor) ทำงานเป็นสวิตช์ ออน-ออฟ เมื่อมีสัญญาณที่เข้ามาที่ขาเบสของทรานซิสเตอร์มีระดับต่ำประมาณ 0 โวลต์ จะทำให้ทรานซิสเตอร์คัทออฟ คือไม่มีกระแสไหลผ่านขาคอลเลคเตอร์ของทรานซิสเตอร์ ซึ่งแสดงว่าทรานซิสเตอร์อยู่ในช่วงออฟ และเมื่อมีสัญญาณเข้าที่ขาเบสมีระดับสูง จะทำให้ทรานซิสเตอร์ทำงานในช่วงอิ่มตัว (Saturation) คือมีกระแสไหลผ่านขาคอลเลคเตอร์ แสดงว่าเป็นการออน R_1 และ R_2 จะทำหน้าที่ลดแรงดันไฟฟ้าเข้ามาที่ขาเบส เพื่อป้องกันมิให้ทรานซิสเตอร์เสียหายได้

ในช่วงที่ทรานซิสเตอร์ออนนั้น จะออนได้ช้าเนื่องจากมีเวลาไต่ขึ้น (Rise time) มาก จึงต้องเพิ่ม C_1 เพื่อที่จะลดช่วงเวลาไต่ขึ้น และ C_2 เพิ่มเข้ามาเพื่อที่ทำให้วงจรสามารถขับโหลดที่เป็นขดลวดได้ (ซึ่งเป็นฟลายแบลคทรานส์ฟอร์มเมอร์)

ฟลายแบลคทรานส์ฟอร์มเมอร์ เป็นหม้อแปลงที่ใช้แปลงไฟฟ้าทางด้านปฐมภูมิ (Primary) ให้เป็นไฟสูงทางด้านทุติยภูมิ (Secondary) โดยขา 2 ที่ต่อเข้ากับขาคอลเลคเตอร์ของสวิตช์ทรานซิสเตอร์ ที่ขา 1 จะป้อนศักดาไฟฟ้า 12 โวลต์ โดยจะมีไดโอดต่ออยู่

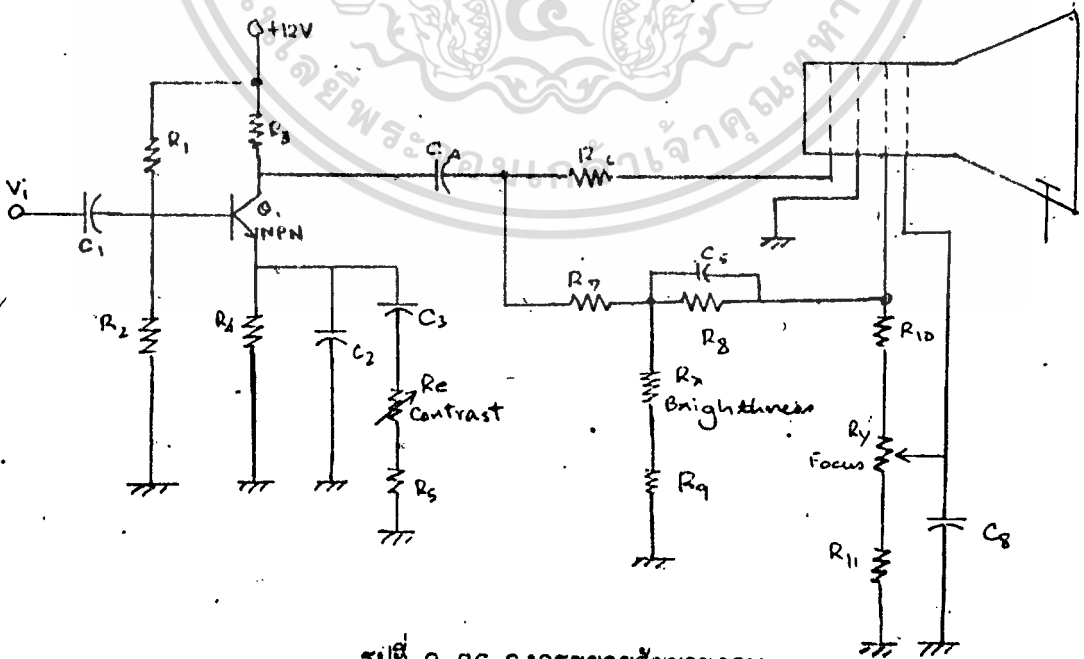


รูปที่ 3.25 วงจรส่วนสวิตช์ ออน-ออฟ และฟลายแบลคทรานส์ฟอร์มเมอร์

เพื่อป้องกันแรงดันไฟฟ้าที่กระชาก ซึ่งเกิดจากการมีกระแสไหลผ่านและไม่ไหลผ่านฟลายแบคคาทรานฟอรัมเมอร์ สัญญาณที่ได้จากขาคอลเลคเตอร์เป็นสัญญาณรูปคลื่นสี่เหลี่ยม (Square wave) ทำให้แรงดันที่ได้จากขา 8 เป็นโพลลบ จึงต้องนำมาผ่านวงจรถีไฟเออร์เพื่อเปลี่ยนเป็นไฟตรงผ่านเป็นไฟเลี้ยงให้กับวงจรขยายสัญญาณภาพ (Video Amplifier) และที่ขา 7 ก็จะถูกเร็คตีไฟเออร์เช่นเดียวกัน เพื่อให้ได้ศักดาไฟฟ้าไปควบคุมขา 2 ซึ่งเป็นขาครีดของหลอดภาพ และยังต่อไปที่ขา 6 ทางด้านทุติยภูมิเพื่อเพิ่มแรงดันไฟฟ้าให้สูงขึ้น ศักดาไฟฟ้าที่ได้จากทุติยภูมิจะมีแรงดันไฟฟ้าสูงมาก (High voltage) ซึ่งวัดได้ประมาณ KV โดยจะนำไปต่อที่ขาอาโนดของหลอดภาพ

3.4.3.3 วงจรขยายสัญญาณภาพ (Video Amplifier)

วงจรขยายสัญญาณภาพแสดงไว้ในรูปที่ 3.26 จากรูปเป็นวงจรขยายสัญญาณแบบอีมิเตอร์ร่วม (Common Emitter) ที่มี R_6 สำหรับปรับค่าอัตราขยายของสัญญาณภาพ ซึ่งเป็นการปรับความเข้ม (Contrast) ของภาพ โดยหมายถึงการปรับขนาดระหว่างส่วนที่เป็นสีขาว และส่วนที่เป็นสีดำ การปรับค่าของ R_6 มีค่าน้อย จะทำให้อัตราขยายมีค่าสูงมาก ลักษณะของสัญญาณที่ได้จะมีความเข้มมาก และในทำนองเดียวกัน ถ้าค่า R_6 มีค่ามากจะทำให้อัตราขยายของวงจรมีค่าน้อย ลักษณะของภาพที่ได้จะมีความเข้มน้อยไปด้วย สัญญาณที่ออกจากขาคอลเลคเตอร์ส่วนหนึ่งจะนำไปเข้าขา 6 ของหลอดภาพ เพื่อปรับระดับของศักดาไฟ



รูปที่ 3.26 วงจรขยายสัญญาณภาพ

เอกสารนี้เป็นเอกสารที่สงวนไว้สำหรับการใช้งานเพื่อการศึกษาเท่านั้น ไม่อนุญาตให้นำไปใช้ประโยชน์ด้านการค้า ไม่ว่าจะกรณีใดๆทั้งสิ้น อีกทั้งห้ามมิให้ตัดแปลงเนื้อหา และต้องอ้างอิงถึงเจ้าของเอกสารทุกครั้งที่มีการนำไปใช้

หน้าที่ขา 6 ซึ่งเป็นการปรับระดับความเข้มของสัญญาณภาพ ที่ขา 2 ของหลอดภาพซึ่งเป็นขากรีด จะมีศักดาไฟฟ้าคงที่ที่มาจากสัญญาณไฟตรงที่ได้มาจากการเรกติไฟร์ที่ส่วนของฟลายแบลคของทรานส์ฟอร์มเมอร์ โดยมีค่าประมาณ 125 โวลต์ ดังนั้นเราจึงสามารถที่จะปรับระดับศักดาไฟฟ้าที่เข้าไปยังขา 6 ได้โดยการปรับที่ความต้านทานปรับค่าได้ R_2 ขนาด 2.2 เมกกะโอห์มซึ่งเป็นการปรับความสว่าง (Brightness) นั้นเอง ความสว่างของภาพ หมายถึงค่าเฉลี่ยความเข้มของความสว่างภาพ ถ้าเราปรับให้ความต้านทานปรับค่าได้มีความต้านทานมาก สัญญาณรวมที่ได้ที่ขา 6 จะมีค่ามาก ภาพที่ได้ก็จะสว่างมาก ถ้าปรับให้ความต้านทานแบบปรับค่าได้มีค่าน้อย ก็จะทำให้ภาพที่ได้มีความสว่างน้อยไปด้วย

ที่ขา 1 ซึ่งเป็นขากรีดของหลอดภาพจะมีความต้านทานแบบปรับค่าได้ขนาด 2.2 เมกกะโอห์ม R_2 ทำหน้าที่แบ่งศักดาไฟฟ้าที่ได้จากการเรกติไฟร์ที่ขา 6 ของฟลายแบลคทรานส์ฟอร์มเมอร์ โดยศักดาที่ได้จะเป็นการปรับความชัดเจนหรือเป็นการปรับโฟกัส (Focus) ของสัญญาณภาพ คือการปรับลำของอิเล็กตรอน (Electron) ที่ผ่านกริดและวิ่งเข้ากระทบบที่จอภาพโดยให้มีลำแคบหรือกว้างเพียงใดตามความต้องการ

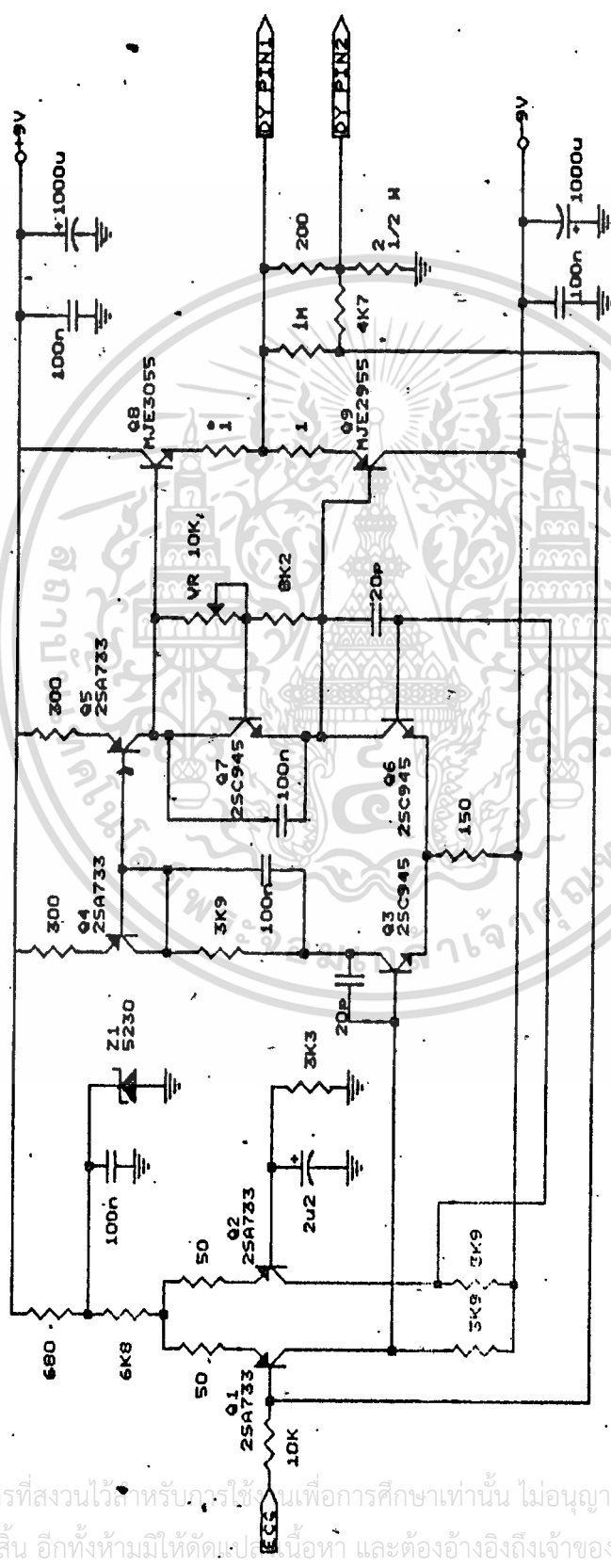
ส่วนที่ขา 4 และ 5 เป็นไส้หลอดของหลอดภาพ เราจะจุดไส้หลอดของหลอดภาพโดยการต่อขา 4 ลงกราวด์ และขา 5 ต่อความต้านทาน 20 โอห์มและบ่อนโวลต์เตจ 5 โวลต์ซึ่งจะทำให้สามารถเห็นเป็นจุดเรืองแสงที่จอภาพ

3.4.3.4 วงจรขยายกำลัง

เมื่อได้สัญญาณพื้นเสียง และสัญญาณหัวใจที่มีความถี่สูงตามต้องการแล้ว เพื่อที่จะสามารถแสดงออกจอกวีรีได้ เราจะต้องนำสัญญาณเหล่านี้ไปขับขดลวดหัทเห เพื่อเหนี่ยวนำให้เกิดสนามแม่เหล็ก ซึ่งจะเป็นตัวทำให้อิเล็กตรอนที่แผ่ผลออกมาจากไส้หลอด หักเหในทิศทางต่างๆได้ตามต้องการ

แต่ถ้าเราจะขับขดลวดโดยตรงด้วยวงจรรขยายที่สร้างขึ้นจากออปแอมป์ จะไม่สามารถทำได้แน่นอน เนื่องจากออปแอมป์ที่ใช้ไม่ได้ถูกออกแบบให้จ่ายกระแสได้มากพอที่จะขับขดลวดที่มีความต้านทานน้อยๆ และกินกระแสมากๆ ดังนั้นจึงจำเป็นที่จะต้องนำสัญญาณพื้นเสียง และสัญญาณไฟฟ้าหัวใจที่มีความถี่สูง ไปต่อเข้าวงจรรขยายเพื่อที่จะแก้ปัญหาดังกล่าว สำหรับวงจรรขยายกำลังได้แสดงไว้ในรูปที่ 3.27 ซึ่งเป็นการทำงานแบบพชุล (push-pull) นั้นเอง

กระแสเอาท์พุทที่ได้จากภาคบัฟเฟอร์ของวงจร ส่วนหนึ่งจะถูกป้อนกลับไปที่ขา
เบสของ Tr_2 นอกนั้นจะถูกนำไปจ่ายให้กับโหลดที่มีลักษณะเป็นโหลดลอย และจ่ายให้กับ
ความต้านทาน 2 โอห์ม ซึ่งเป็นตัวที่ทำให้กระแสผ่านไปกราวด์ได้ในที่สุด



เอกสารนี้เป็นเอกสารที่สงวนไว้สำหรับการใช้เพื่อการศึกษานี้เท่านั้น ไม่อนุญาตให้นำไปใช้ประโยชน์ด้านการค้า
ไม่ว่ากรณีใดๆทั้งสิ้น อีกทั้งห้ามมิให้ตัดแปลงเนื้อหา และต้องอ้างอิงถึงเจ้าของเอกสารทุกครั้งที่มีการนำไปใช้

3.5 มิเตอร์วัดอัตราการทำงานของหัวใจ (Rate Meter)

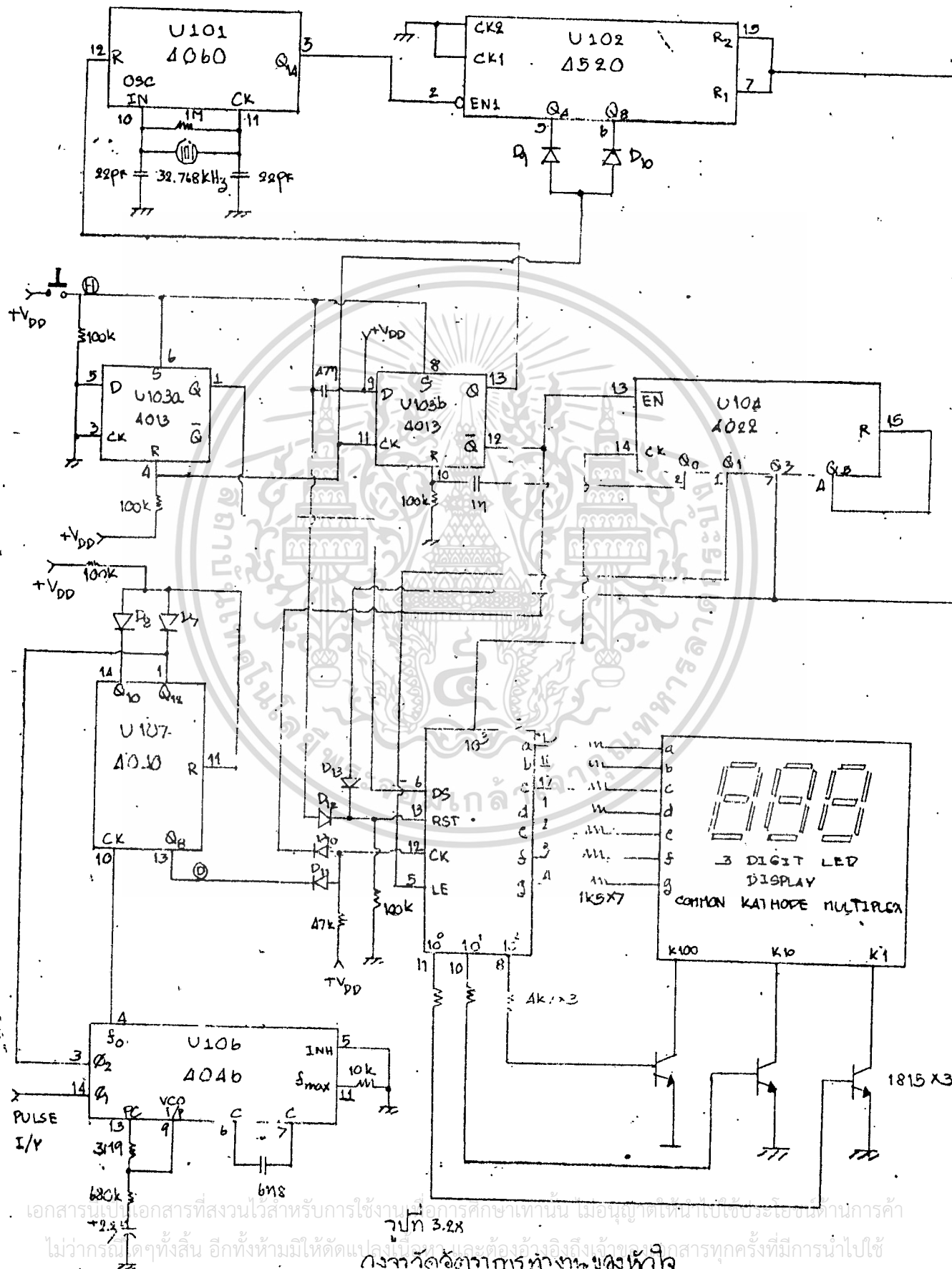
รูปที่ 3.28 เป็นวงจรวัดอัตราการเต้นของหัวใจ ส่วนวงจรสร้างฐานเวลา ประกอบด้วยวงจร Oscillator และ วงจรหารความถี่ เพื่อให้ควบคุมเวลาของการนับ (Count Period) ซึ่งในที่นี้เลือกให้เป็น 6 วินาที เพื่อให้ค่าที่อ่านได้เป็นอัตราการทำงานของหัวใจเป็นจำนวนครั้งต่อนาที พัลส์ของสัญญาณหัวใจ 1 พัลส์ จะถูกทำให้เป็น 10 พัลส์ โดยวงจร Pulse Multiplier

เมื่อกดสวิทช์ RESET วงจรจะเริ่มทำการนับ โดย Control Flip Flop จะถูกรีเซ็ต ซึ่งเอาที่พุดจะไปเปิดเกตนำพัลส์ของสัญญาณหัวใจ เข้าสู่วงจรนับ ในขณะที่เดียวกัน Oscillator ของวงจร Time Base Generator ก็จะเริ่มทำงาน เมื่อเวลาผ่านไปจนครบคาบเวลาของการนับ วงจร Time Base Generator จะส่งสัญญาณไปรีเซ็ต Control Flip Flop สัญญาณหัวใจจะไม่สามารถเข้าสู่วงจรนับได้

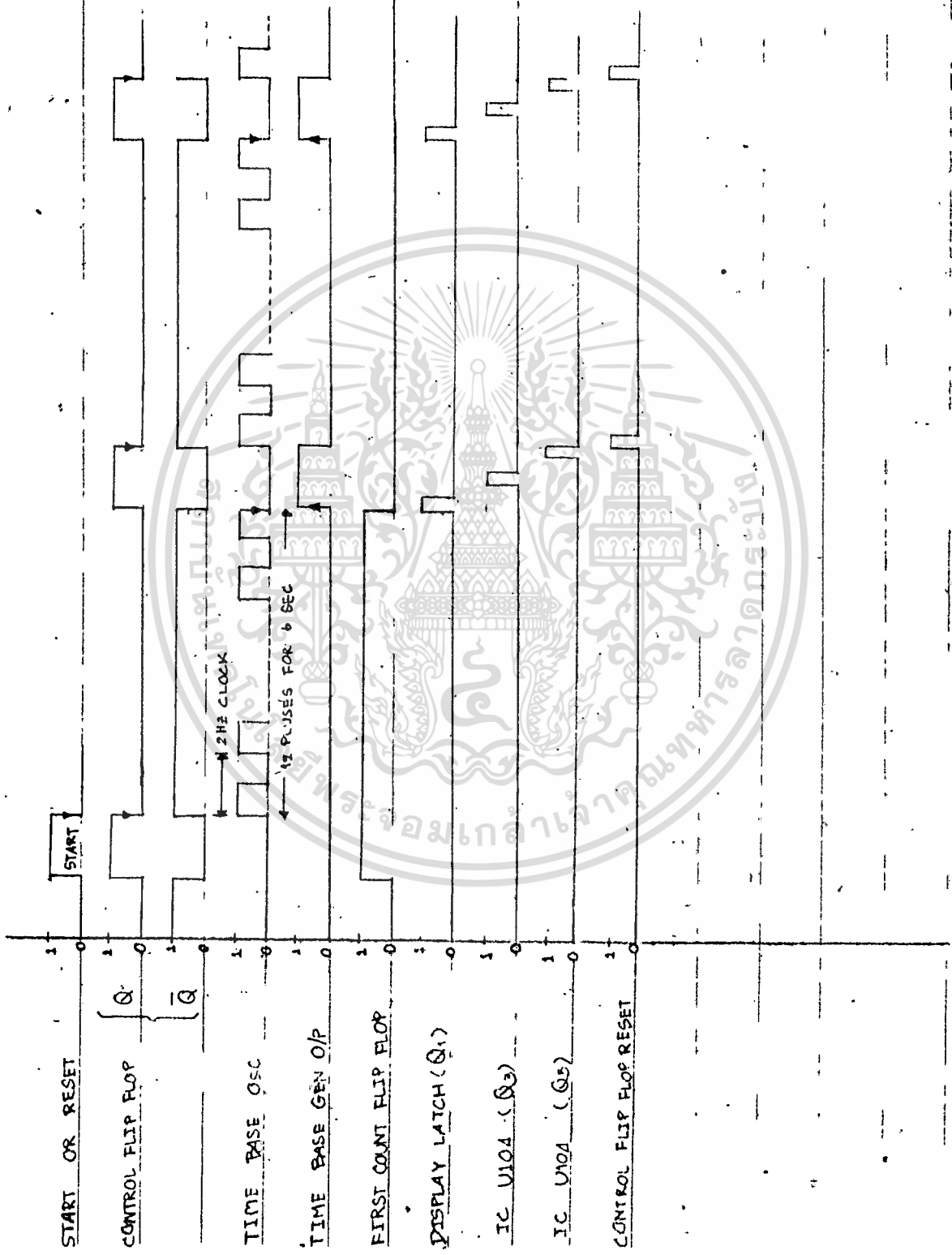
สัญญาณโมโนสเตเบิล Q1 (จาก U104) จะส่งสัญญาณให้ Latch เก็บข้อมูลจากวงจรนับ Display Decoder จะแสดงผลตามข้อมูลที่เก็บไว้ใน Latch

สัญญาณโมโนสเตเบิล Q3 (จาก U104) จะทำหน้าที่หน่วงเวลาสัญญาณที่จะไปรีเซ็ตวงจรนับ เพื่อรอให้ข้อมูลจากวงจรนับถูกเก็บใน Latch เรียบร้อยก่อน เมื่อ Latch เก็บข้อมูลจากวงจรนับเรียบร้อยแล้ว สัญญาณโมโนสเตเบิลนี้ก็จะไปรีเซ็ตวงจรนับ และ วงจรหารความถี่ใน Time Base Generator เพื่อเตรียมพร้อมที่จะทำงานในคาบต่อไป หลังจากที่วงจรนับถูกรีเซ็ตแล้ว

จากที่กล่าวมานี้ ผู้ใช้เครื่องจะต้องรอเป็นเวลา 1 คาบของการนับ ดังนั้น จึงออกแบบให้ Latch รับข้อมูลจากวงจรนับตลอดเวลาในคาบแรก ขณะกดสวิทช์ RESET First Count Flip Flop (U103a) จะถูกรีเซ็ตพร้อมกับ Control Flip Flop (U103b) สัญญาณ Q จาก First Count Flip Flop ก็จะทำให้ Latch รับข้อมูลจากวงจรนับโดยตรง เมื่อสิ้นสุดคาบแรกของการนับ First Count Flip Flop ก็จะถูกรีเซ็ตพร้อมกับ Control Flip Flop First Count Flip Flop จะถูกรีเซ็ตเฉพาะในคาบแรกของการนับเท่านั้น หลังจากนั้นในคาบต่อไป Latch จะรับข้อมูลจากวงจรนับเฉพาะตอนที่วงจรนับนับเสร็จเรียบร้อยแล้วเท่านั้น ซึ่ง Latch จะรับข้อมูลจากวงจรนับตามสัญญาณควบคุม



เอกสารนี้เป็นเอกสารที่สงวนไว้สำหรับการใช้งานในการศึกษาเท่านั้น ไม่อนุญาตให้ไปใช้ประโยชน์ในการค้า
 ไม่ว่ากรณีใดๆทั้งสิ้น อีกทั้งห้ามมิให้คัดลอกหรือเผยแพร่ข้อมูลข้างต้นไปยังผู้อื่นโดยไม่ได้รับอนุญาต
 กองวิจัยดำเนินการทางานของฟ้าใจ



เอกสารนี้เป็นเอกสารที่สงวนไว้สำหรับการใช้งานเพื่อการศึกษาเท่านั้น ไม่อนุญาตให้นำไปใช้ประโยชน์ด้านการค้า
 ไม่ว่ากรณีใดๆทั้งสิ้น อีกทั้งห้ามมิให้ดัดแปลงเนื้อหา และต้องอ้างอิงถึงเจ้าของเอกสารทุกครั้งที่มีการนำไปใช้

รูปที่ 3.29

Latch Enable

3.5.1 วงจรเฟสล็อกและวงจรรหา

ประกอบด้วย

3.5.1.1 IC U106 เป็น CMOS Phase locked Loop ลักษณะที่สำคัญคือ

คือ

- ต้องไม่มีการต่อที่ขา 1 , 10 และ 15
- INH i/p ต้องเป็น Low
- Voltage-Controlled Oscillator Frequency (f_o)

โดยโวลท์ที่เตจบนขา 9 , C ระหว่างขา 6 และ ขา 7 (6n8) ;

Maximum Frequency Resistor บนขา 11 (10k) และ Minimum Frequency Resistor บนขา 12

- สัญญาณเอาท์พุทปรากฏบนขา 4 (f_o) และจะไปผ่านวงจรรหา (IC U107) แล้วจึงนำกลับมายัง Comp i/p

- การ Detect ในที่นี้ใช้ 2 System (ขา 13) ซึ่งเป็น Logic Frequency / Phase Detector ซึ่งทำงานได้ในช่วงความถี่กว้าง , ยอมรับอินพุทที่มี duty cycle ได้ๆ , และไม่ไวต่อ Harmonic แต่มีข้อเสียคือ มีสัญญาณรบกวนมาก .

- Selected Phase Detector จะถูกนำกลับมาเข้า VCO i/p โดยผ่าน Loop Filter

- ความต้านทานอนุกรม (R1 : 3M9) และ ตัวเก็บประจุ (+2.2 μ F) จะกำหนดค่าเวลาคงที่ (Time Constant) ของ Loop ซึ่งมีค่า

$$T = RC = 8.58 \text{ วินาที}$$

ถ้าค่าเวลาคงที่มีค่ามากเกินไป ก็จะทำให้การตามสัญญาณอินพุทที่มีการเปลี่ยนแปลงความถี่เร็วเกินไปได้ช้า

ถ้าค่าเวลาคงที่มีค่าน้อยเกินไป ก็จะทำให้ VCO มีการเปลี่ยนแปลงอย่างรุนแรง

- ความต้านทานขนาน (R2 : 680 k) จะกำหนดค่า damping โดย

-ค่า Damping ของ Loop = $R1/R2 = 5.735$

ถ้าค่า $R2$ มีค่าน้อยมากหรือเท่ากับศูนย์ ก็จะทำให้เกิด Overshoot และ Oscillate ได้

- ความถี่ของ VCO (f_o) จะตามความถี่อินพุตที่ป้อนเข้าที่ขา 4 ถ้า มีวงจร Divide - by - N Counter (IC U107) อยู่ระหว่างขา 3 และ ขา 4 -VCO (f_o) จะมีความถี่เป็น N เท่าของความถี่อินพุต โดยในที่นี้ $N = 2560$

$$f_{min} = 1 / R3 \cdot (C1 + 32 pF)$$

$R3$: ความต้านทานที่ต่อที่ขา 12

$C1$: ตัวเก็บประจุระหว่างขา 6 และ ขา 7

ดังนั้น $f_{min} = 0 \text{ Hz}$

$$f_{max} = 1 / R4 \cdot (C1 + 32 pF)$$

$R4$: ความต้านทานที่ต่อที่ขา-11

ดังนั้น $f_{max} = 24637 \text{ Hz}$

3.5.1.2 IC U107 (4040) เป็น 12 - Stage Binary

Ripple Counter ลักษณะการทำงานคือ

- ถ้า clk เปลี่ยนจาก " 0 " ไป " 1 " Counter ก็จะนับเพิ่มอีก 1 ครั้ง

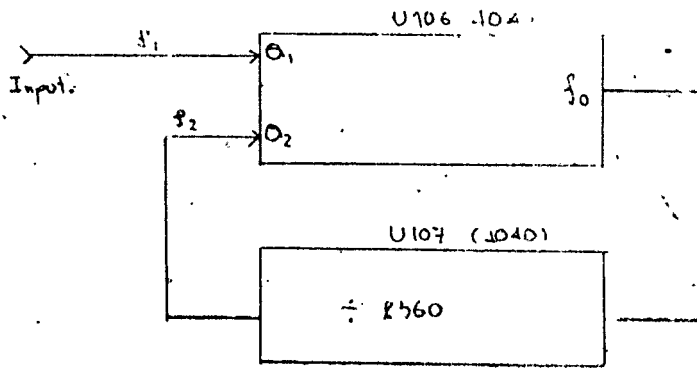
- ที่ขา 12 o/p ก็จะหารสัญญาณนาฬิกาด้วย 2^{12} (4096)

- ที่ขา 8 o/p ก็จะหารสัญญาณนาฬิกาด้วย 2^8 (256)

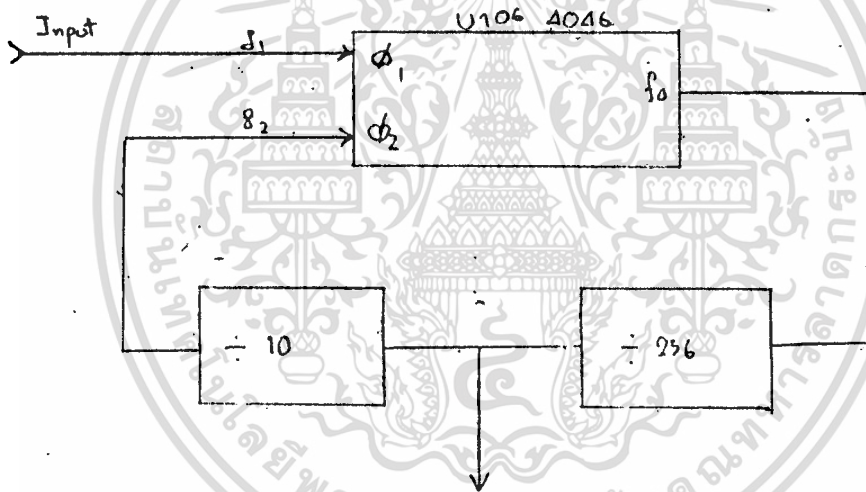
- ไต่โอด D7 และ D8 ต่อเป็น AND Gate ดังนั้น IC U107 จะรี

เซ็ตตัวเองเมื่อนับได้ 2560 (1010 0000 0000)

ดังนั้น $N = 2560$ หรือเขียนได้เป็น



- เนื่องจากคาบเวลาที่ใช้ในการนับคือ 6 วินาที แต่อัตราการเต้นของหัวใจจะแสดงผลเป็นจำนวนครั้งต่อนาที (60 วินาที) ดังนั้นสัญญาณพัลส์ที่จะนำไปเข้าวงจรนับจะต้องคูณด้วย 10 ก่อน นั่นคือ



3.5.2 วงจรนับ $f_3 = 10f_1$

U105 (74C926) ทำหน้าที่เป็นวงจรนับ โดยมีคุณสมบัติดังนี้

- เป็น CMOS Counter ที่ประกอบด้วย 4 - digit counter , Internal Input Latch , วงจรขับเอาต์พุตสำหรับ 7 - Segment และ วงจรมัลติเพลกซ์
- Counter จะทำงานที่ขอบขาของสัญญาณนาฬิกา
- ถ้าขา RST เป็น " 1 " ก็จะทำให้ Counter รีเซ็ตไปที่ 0
- ถ้า Latch Enable i/p เป็น " 0 " ก็จะทำให้การ Latch ตัวเลขใน Counter ไปเก็บไว้ยัง Output Latch ที่อยู่ภายใน

เอกสารนี้เป็นเอกสารที่สงวนไว้สำหรับการใช้งานเพื่อการศึกษาเท่านั้น ไม่อนุญาตให้นำไปใช้ประโยชน์ด้านการค้า ไม่ว่ากรณีใดๆทั้งสิ้น อีกทั้งห้ามมิให้ตัดแปลงเนื้อหา และต้องอ้างอิงถึงเจ้าของเอกสารทุกครั้งที่มีการนำไปใช้

- ถ้า Display Select เป็น " 1 " ก็จะทำให้การเลือกตัวเลขที่อยู่ใน Counter มาแสดงผล

- ถ้า Display Select เป็น " 0 " ก็จะทำให้การเลือกตัวเลขที่อยู่ใน Output Latch มาแสดงผล

3.5.3 วงจรสร้างฐานเวลาความถี่การนับ (Time Base Generator.)

จากรูปที่ 3.28 วงจรสร้างฐานเวลาความถี่การนับประกอบด้วยส่วนย่อยคือ

- IC U103a ทำหน้าที่เป็น First Count Flip Flop

- IC U103b ทำหน้าที่เป็น Control Flip Flop

- IC U101 ทำหน้าที่เป็น Clock Oscillator

- IC U102 ทำหน้าที่เป็น วงจรหารความถี่

- IC U104 ทำหน้าที่สร้างสัญญาณโมโนสเตเบิล

First Count Flip Flop ทำหน้าที่บังคับ Display Latch ให้รับข้อมูลจากวงจรนับตลอดเวลาของคาบแรกของการนับ วงจร Oscillator สร้างสัญญาณนาฬิกาความถี่ 2 Hz ให้แก่วงจรหารความถี่ (CD 4520) ซึ่งเอาท์พุทที่จุด A จะมีฐานเวลาเท่ากับ 6 วินาที เอาท์พุทของวงจรหารความถี่จะไปรีเซ็ต First Count Flip Flop และ เป็นสัญญาณนาฬิกาให้กับ Control Flip Flop

Clock Oscillator (U101 : 4060)

- เป็น Binary Ripple Counter

- ทุกครั้งที่ clk เปลี่ยนจาก " 1 " ไป " 0 " Counter จะนับเพิ่มขึ้น 1 ครั้ง

- 14 o/p จะหารสัญญาณนาฬิกาด้วย 2^{14} (16384)

ดังนั้นที่ขา Q14 ก็จะได้สัญญาณที่มีความถี่เท่ากับ 2 Hz และสัญญาณนี้จะเป็นสัญญาณนาฬิกาให้กับ U102

- ทำหน้าที่ขบขาลงของสัญญาณ RESET

วงจรหารความถี่ (U102 : 4520) มีคุณสมบัติดังนี้

- เป็น Dual Synchronous Divide By- 16 Counter
 - ทุกๆครั้งที่ Enable i/p เปลี่ยนจาก " 1 " ไป " 0 " Counter ก็จะนับเพิ่มขึ้น 1 ครั้ง
 - ไต่โอด D9 และ D10 เป็น AND Gate
- ดังนั้นเมื่อ Counter นับจนกระทั่งสัญญาณที่ขา Q4 และ Q8 เป็น " 1 " พร้อมกัน (1100) ก็จะได้สัญญาณเอาท์พุทของ And Gate (ที่จุด A) เป็น " 1 " ซึ่งจะปรีเซ็ท First Count Flip Flop

ดังนั้นความถี่ของสัญญาณเอาท์พุทที่จุด A มีค่าเท่ากับ $2/12 = 1/6$ หรือกล่าวได้ว่า ช่วงเวลาที่ Counter ใช้ในการนับตั้งแต่เริ่มต้น จนกระทั่งได้สัญญาณเอาท์พุทที่จุด A เป็น " 1 " เท่ากับ 6 วินาที

สรุปการทำงาน

เมื่อกดสัญญาณ RESET (กดค้างไว้)

- พิจารณาที่ U103a ขณะนี้สัญญาณ S = " 1 " , R = " 0 " ดังนั้นจะได้สัญญาณเอาท์พุท Q = " 1 " ซึ่งสัญญาณนี้จะไปควบคุมขา Data Select ของ U105 ดังนั้น U105 ก็จะทำการเลือกตัวเลขใน Counter มาแสดงผล

- พิจารณาที่ U103b เนื่องจากขณะนี้สัญญาณ clk ยังคงอยู่ที่ระดับศูนย์ ดังนั้นการทำงานก็จะขึ้นอยู่กับสัญญาณ S และ R ซึ่งสัญญาณ s ในขณะนี้เป็น " 1 " และสัญญาณ R เป็น " 0 " ดังนั้นจะได้สัญญาณเอาท์พุท Q เป็น " 1 " และ \bar{Q} เป็น " 0 "

สัญญาณ Q นี้จะไปควบคุมสัญญาณ RESET ของ U101 ทำให้ U101 ไม่กำเนิดความถี่ออกมา

สัญญาณ \bar{Q} จะไปเข้า AND Gate (ไต่โอด D10 และ D11) ซึ่งจะทำให้ได้สัญญาณนาฬิกาของ U105 เป็น " 0 "

- สัญญาณที่จุด H เป็น " 1 " จะไปเข้า OR Gate (ไต่โอด D12 และ D13) ซึ่งจะทำให้สัญญาณ RST ของ U105 เป็น " 1 " ยิ่งผลให้ U105 รีเซ็ทเป็น " 0 "

เมื่อปล่อยสวิตช์ RESET

- สัญญาณ Q ของ U103a ยังคงค้างที่ระดับ " 1 " (เพราะยังไม่ถูกรีเซ็ต โดย U102) ดังนั้นสัญญาณ DS = " 1 " ทำให้ U105 ทำการเลือกตัวเลขที่อยู่ใน Counter มาแสดงผล ดังนั้นเราจะเห็น 7-Segment ริ่งขึ้นจาก 0 ไปถึงค่าที่นับได้ และ สัญญาณ Q นี้จะเป็น " 1 " นาน 6 วินาที หลังจากนั้นก็จะตกมาอยู่ที่ระดับ " 0 " (เพราะถูกรีเซ็ตโดย U102) ดังนั้นหลังจากนี้ไป U105 ก็จะเลือกเอาตัวเลขที่อยู่ใน Output Latch มาแสดงผลเฉพาะค่าที่ได้เปลี่ยนแปลงไปแล้วเท่านั้น

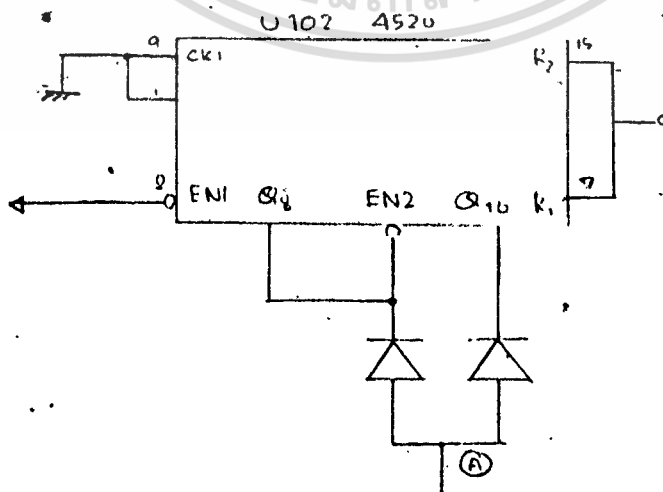
- สัญญาณ Q ของ U103b จะตกมาที่ระดับ " 0 " ซึ่งเป็นการรีเซ็ตให้ U101 เริ่มทำงาน กำเนิดความถี่ออกมาที่ขา Q14 โดยมีความถี่เท่ากับ 2 Hz

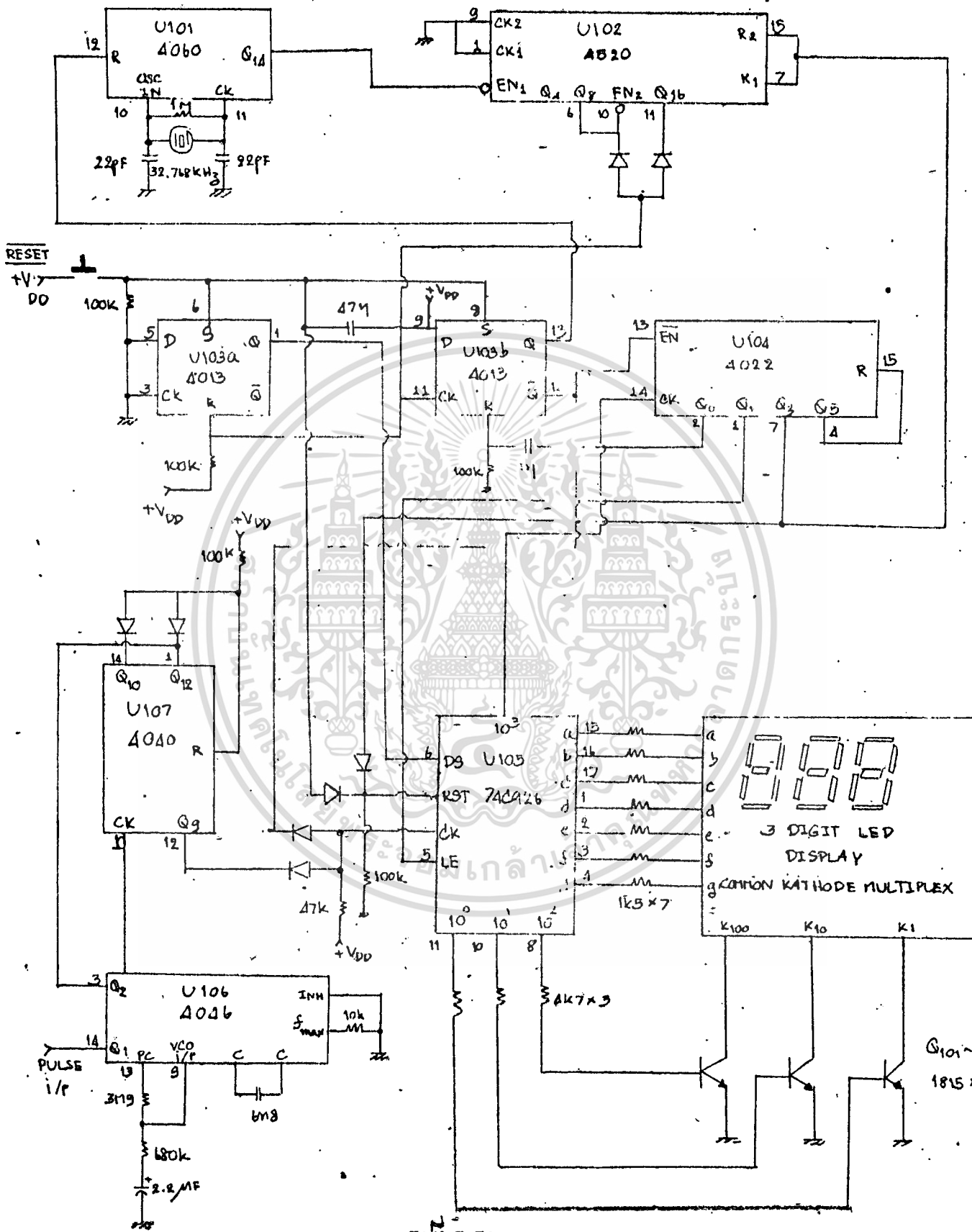
- สัญญาณ \bar{Q} ของ U103b จะเปลี่ยนระดับเป็น " 1 " ดังนั้นเมื่อไปเข้า And Gate (ไดโอด D10 และ D11) ก็จะทำให้สัญญาณนาฬิกาของ U105 เป็นไปตามสัญญาณที่ออกมาจากวงจรหารความถี่ (U107 : 4040)

- สัญญาณที่จุด H เป็น " 0 " ดังนั้นเมื่อนำมาเข้า OR Gate (ไดโอด D12 และ D13) ก็จะทำให้สัญญาณ RST ของ U105 ขึ้นอยู่กับสัญญาณ Q3 ที่ได้จาก 4022

3.6 วงจรวัดอัตราการหายใจ

วงจรวัดอัตราการหายใจจะคล้ายกับวงจรวัดอัตราการเต้นของหัวใจ แต่ได้มีการเปลี่ยนแปลงบางประการเพื่อความเหมาะสม คือ เราจะใช้คาบเวลาของกอร์นับ เท่ากับ 12 วินาที ดังนั้นในส่วนของวงจรหารความถี่จะต้องเป็นดังนี้





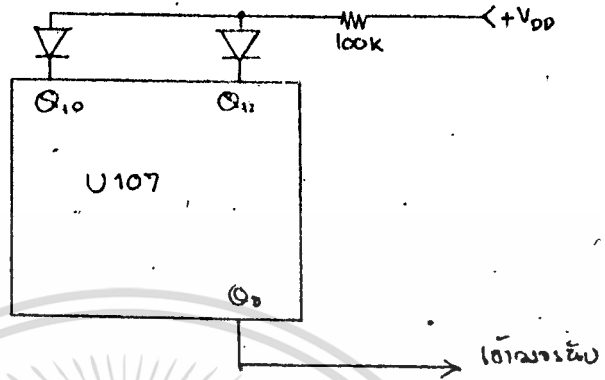
รูปที่ 3.30

วงจรแสดงอัตราทศนิยม

เอกสารนี้เป็นเอกสารที่สงวนไว้สำหรับการใช้งานเพื่อการศึกษาเท่านั้น เมื่ออนุญาตให้นำไปใช้ประโยชน์ด้านการค้า ไม่ว่าจะกรณีใดๆทั้งสิ้น อีกทั้งห้ามมิให้ตัดแปลงเนื้อหา และต้องอ้างอิงถึงเจ้าของเอกสารทุกครั้งที่มีการนำไปใช้

ที่เป็นเช่นนี้เนื่องจาก สัญญาณเอาต์พุตที่จุด A จะเป็น " 1 " เมื่อ U102 นับได้ 1 1000 (24) ดังนั้นช่วงเวลาที่ U102 ใช้ในการนับตั้งแต่เริ่มต้น จนกระทั่งได้สัญญาณเอาต์พุตที่จุด A เป็น " 1 " คือ $24/2 = 12$ วินาที

นอกจากนี้ ในส่วนของวงจรหารความถี่ (U107) ก็จะต้องเป็นดังนี้

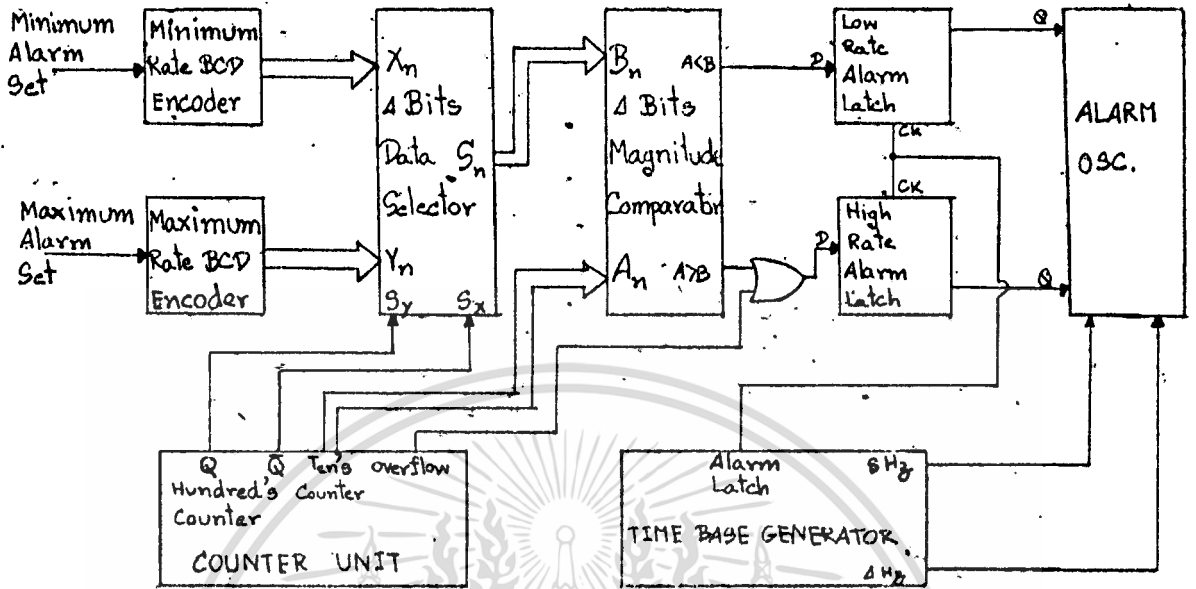


ด้วยเหตุผลที่ได้กล่าวไว้แล้วในเรื่องการวัดอัตราการเต้นของหัวใจ

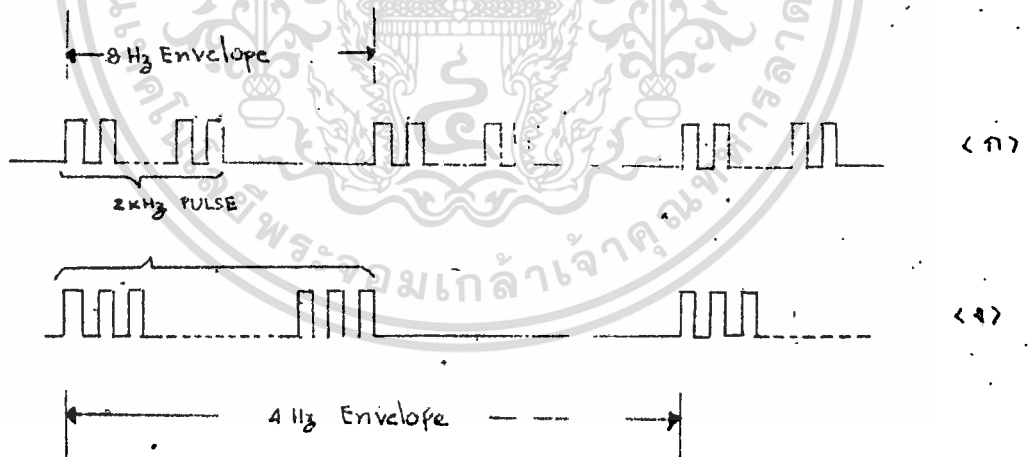
3.7 วงจรเตือน

3.7.1 บล็อกไดอะแกรมของวงจรเตือน

รูปที่ 3.30 เป็นบล็อกไดอะแกรมของวงจรเตือน ค่าอัตราสูงสุดและต่ำสุด ซึ่งตั้งให้วงจรเตือนทำงานจะป้อนเข้าไปที่ Decimal To BCD Encoder ค่าอัตราต่ำสุดที่จะให้วงจรทำงานมี 6 ค่า คือ 40 , 50 , 60 , 70 , 80 , 90 ครั้ง/นาที และค่าสูงสุด 110 , 120 , 140 , 150 , 160 , 180 ครั้ง/นาที โดยวงจร Encoder จะเปลี่ยนเฉพาะหลักสิบให้เป็น BCD Magnitude Comparator จะนำเฉพาะหลักสิบเข้ามาเปรียบเทียบเท่านั้น ถ้าวงจรนับได้ต่ำกว่า 100 Q ของวงจรนับหลักร้อยจะบังคับให้ 4 Bits Data Selector นำ BCD ของอัตราต่ำสุดเข้าสู่ Magnitude Comparator ถ้าวงจรนับได้เกินกว่า 100 4 Bits Data Selector จะนำ BCD ของอัตราสูงสุดเข้าสู่ Magnitude Comparator ข้อมูลที่เข้าสู่ Magnitude Comparator จากวงจรนับจะเปลี่ยนแปลงตลอดเวลา ดังนั้นผลของการเปรียบเทียบจะเปลี่ยนแปลงตลอดเวลา ผลของการเปรียบเทียบจะถูกต้องเฉพาะขณะเวลาที่การนับในแต่ละทวินาทีสิ้นสุดลงเท่านั้น ข้อมูลที่ได้จากการเปรียบเทียบตอนนี้จะถูกเก็บไว้ใน Alarm Latch ซึ่งการ Latch ของ Alarm Latch จะกระทำพร้อมๆกับการ Latch ของ Display Latch เอาต์พุตของ Alarm Latch จะ



รูปที่ 3.30 บล็อกไดอะแกรมของวงจรถอง



รูปที่ 3.31

- ก) สัญญาณเตือน เมื่อหัวใจคนไข้ทำงานเร็วเกินไป
- ข) สัญญาณเตือน เมื่อหัวใจคนไข้ทำงานช้าเกินไป

ไปควบคุม Alarm Oscillator อีกครั้งหนึ่ง

Alarm Oscillator ที่ใช้นี้เป็น Two Tone Alarm โดยจะนำสัญญาณความถี่ต่ำจากฐานเวลาควบคุมการนับ และความถี่สูง 2 KHz ซึ่ง Alarm Oscillator สร้างขึ้นมาผสมกันดังรูป 3.31

3.7.2 วงจรเตือน (Alarm Unit)

วงจรเตือนประกอบด้วยส่วนย่อย 3 ส่วน คือ

3.7.2.1 Decimal To BCD Encoder

3.7.2.2 Alarm Comparator

3.7.2.3 Alarm Oscillator

3.7.2.1 Decimal To BCD Encoder

จากที่กล่าวมาแล้วในตอนต้นว่า วงจร Alarm Comparator จะนำเฉพาะหลักสิบเข้ามาที่ Magnitude Comparator เท่านั้น วงจร Decimal To BCD Encoder นี้จะนำเฉพาะตัวเลขของหลักสิบเท่านั้นมาทำการ Encode ให้เป็น BCD อัตราต่ำสุด (Minimum Rate Alarm) ที่ตั้งคือ 40 , 50 , 60 , 70 , 80 , 90 จะได้ Truth Table ของ Minimum Rate Alarm Encoder ดังตารางที่ 3.1

จะได้วงจรของ Minimum Rate Alarm Encoder ดังรูปที่ 3.32 a ซึ่งประกอบด้วยไดโอด 11 ตัว มาประกอบเป็นวงจร OR Gate ที่านองเดียวกันสำหรับ Maximum Rate Alarm Encoder จะได้ Truth Table ดังตารางที่ 3.2 และจะได้วงจรของ Maximum Rate Alarm Encoder ดังรูปที่ 3.32 b ซึ่งเป็นไดโอดเกตเช่นเดียวกับ Minimum Rate Alarm Encoder

3.7.2.2 Alarm Comparator

รูป 3.33 เป็นวงจร Alarm Comparator BCD จาก Minimum Rate Alarm Encoder จะป้อนเข้าที่อินพุต X_n และ BCD จาก Maximum Rate Encoder จะป้อนเข้าที่อินพุต Y_n ของ IC 314 (CD 4019) ซึ่งทำหน้าที่เป็น 4 Bits Data Selector ข้อมูลเอาต์พุต S_n จะเป็นไปตามอินพุต S_x และ S_y จากวงจรมับหลัก ร้อย ตาราง 3.3 เป็น Truth Table ของ CD 4019 ถ้าวงจรมับนับได้ต่ำกว่า 100

Decimal Input	BCD OUT			
	D_8	D_4	D_2	D_1
(40) 4	0	1	0	0
(50) 5	0	1	0	1
(60) 6	0	1	1	0
(70) 7	0	1	1	1
(80) 8	1	0	0	0
(90) 9	1	0	0	1

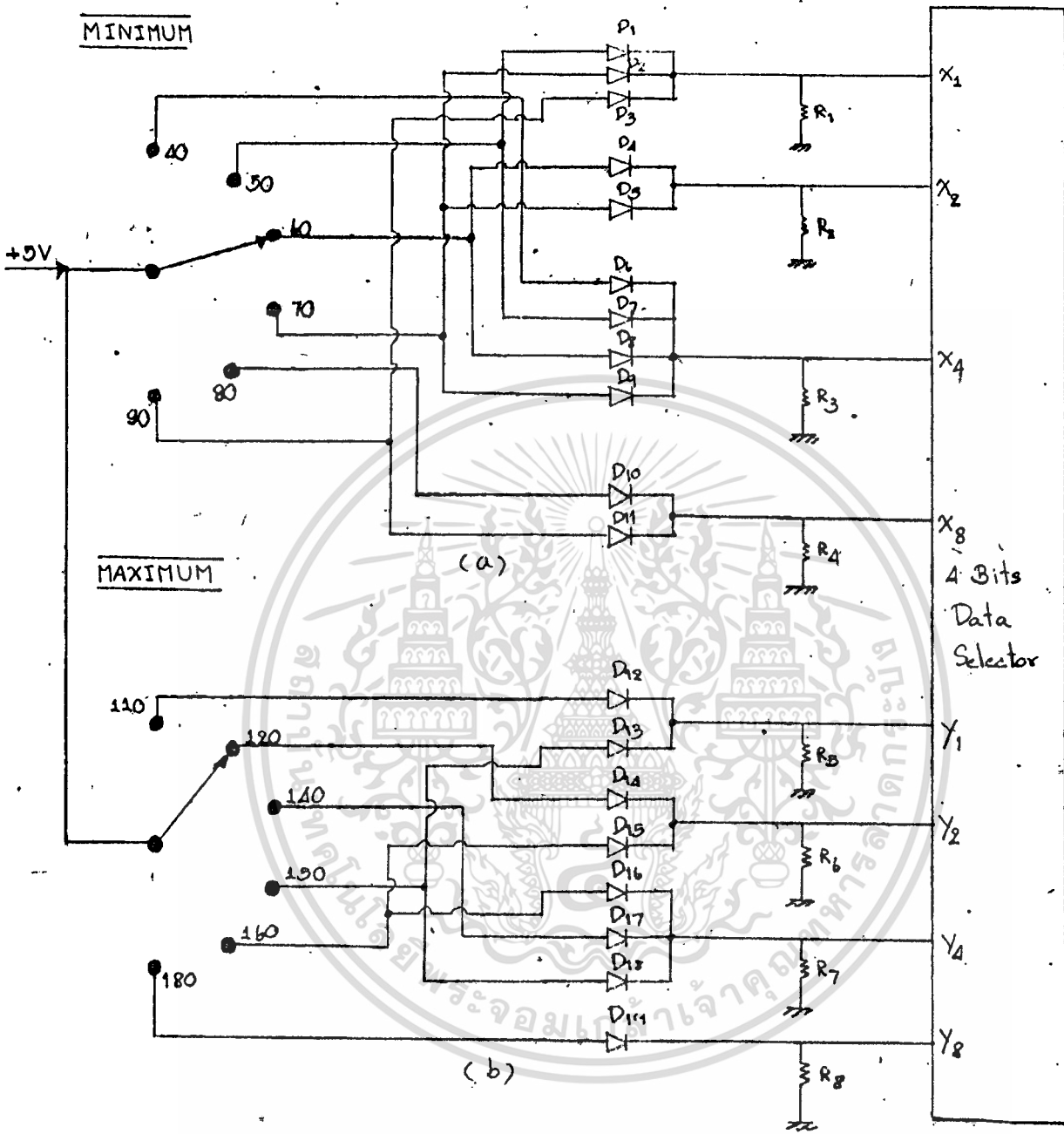
ตาราง 3.1

Truth Table ของ Minimum Rate Alarm Encoder

Decimal Input	BCD OUT			
	D_8	D_4	D_2	D_1
(110) 1	0	0	0	1
(120) 2	0	0	1	0
(140) 4	0	1	0	0
(150) 5	0	1	0	1
(160) 6	0	1	1	0
(180) 8	1	0	0	0

ตาราง 3.2.

Truth Table ของ Maximum Rate Alarm Encoder



รูปที่ 3.32

วงจรเข้ารหัส BCD ในส่วนหนึ่งของวงจรรหัส

IC 314 จะนำ BCD จาก Minimum Rate Alarm Encoder เข้าสู่ Magnitude Comparator และเมื่อวงจรมีค่าเกิน 100 IC 314 จะนำ BCD จาก Maximum Rate Alarm Encoder เข้าสู่ Magnitude Comparator

IC 315 (4585) เป็น Magnitude Comparator ซึ่งจะทำการเปรียบเทียบ BCD ระหว่างวงจรมีค่าซึ่งเป็นอัตราการทำงานของหัวใจคนไข้ กับค่า BCD จากวงจรมีค่า Encoder โดยนำ BCD ของวงจรมีค่าเข้าที่อินพุต A และ BCD จาก Encoder เข้าที่อินพุต B ตาราง 3.4 เป็น Truth Table ของ CD 4585 ผลที่ได้จากการเปรียบเทียบจะถูกเก็บไว้ใน Alarm Latch พร้อมกับการ Latch ของ Display ดังกล่าวมาแล้ว เนื่องจากในการเปรียบเทียบจะนำเฉพาะหลักสิบเข้ามาเปรียบเทียบเท่านั้น โดยผลการนับหลักร้อยจะเป็นตัวเลือกให้เปรียบเทียบ Minimum หรือ Maximum ในขณะที่เปรียบเทียบค่า Maximum สมมติเราตั้ง Maximum Alarm ไว้ที่ 140 ที่อินพุต B ของ Magnitude Comparator จะเป็น 0100 อัตราการทำงานของหัวใจคนไข้ได้ 112 ดังนั้นที่อินพุต A ของ Magnitude Comparator จะเป็น 0001 จากที่กล่าวมานี้ ที่เอาท์พุต $A > B$ จะเป็น 0 แต่ที่เอาท์พุต $A < B$ จะเป็น 1 เพื่อป้องกันวงจรมีค่า Low Rate Alarm ทำงาน จากตาราง 3.4 เอาท์พุต $A > B$ จะเป็น 1 ได้เมื่อ

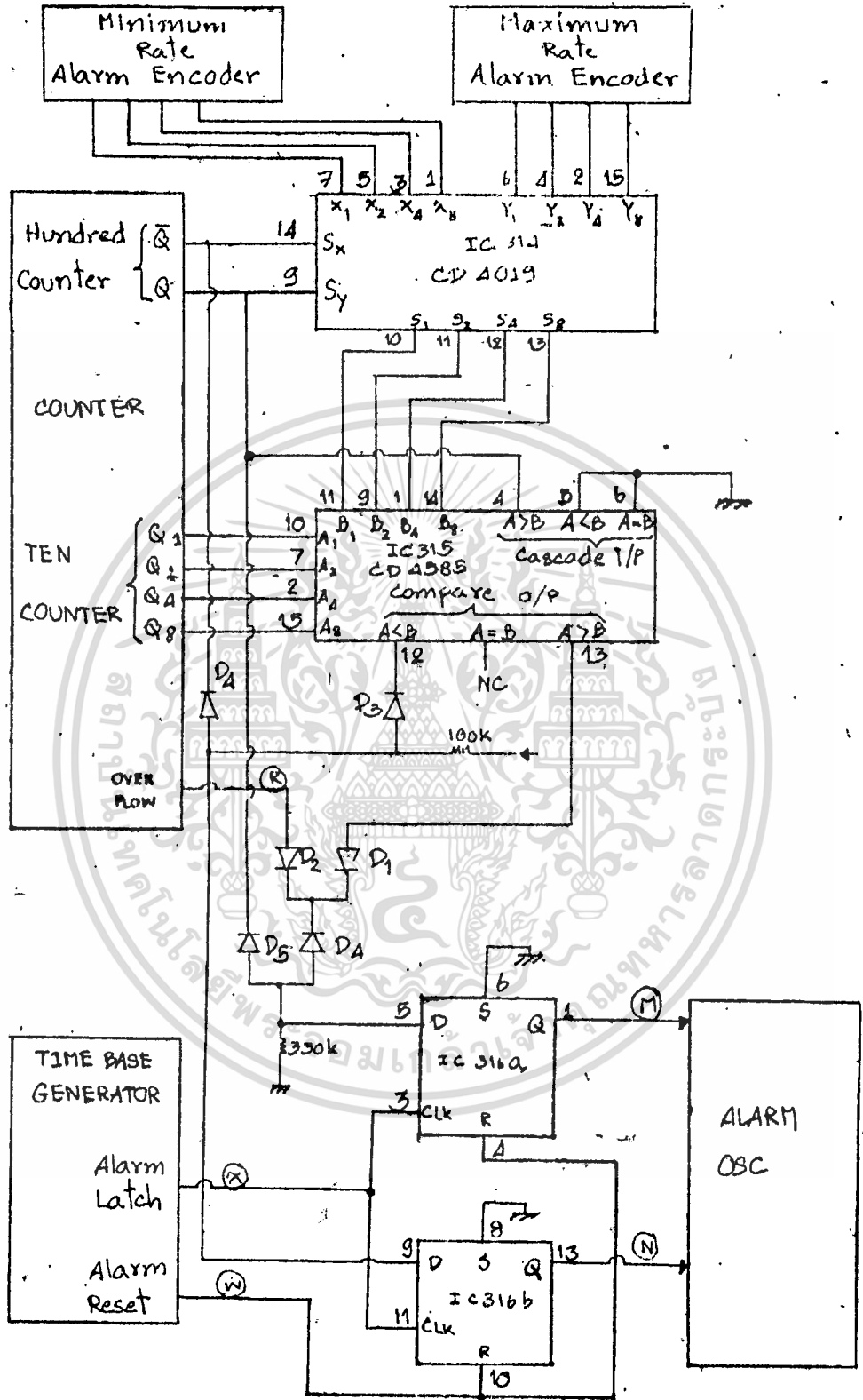
- ข้อมูล $A > B$ และ คาสเคดอินพุต $A > B$ เป็น 1

หรือ - ข้อมูล $A = B$ และ คาสเคดอินพุต $A > B$ เป็น 1

ดังนั้นจึงต่อคาสเคดอินพุต $A > B$ เข้ากับเอาท์พุต Q ของวงจรมีค่าหลักร้อย เพราะฉะนั้นเอาท์พุต $A > B$ ของ Magnitude Comparator จะเป็น 1 ได้เฉพาะในขณะที่ Magnitude Comparator กำลังเปรียบเทียบค่า Maximum อยู่เท่านั้น

ในทำนองเดียวกัน ขณะที่กำลังเปรียบเทียบค่า Minimum อาจจะทำให้เกิดปัญหาในลักษณะเดียวกันนี้ได้ เพื่อป้องกัน High Rate Alarm ทำงานขณะที่ทำการเปรียบเทียบ Minimum อยู่ เอาท์พุต $A < B$ จะนำมา AND กับ เอาท์พุต Q ของวงจรมีค่าหลักร้อย ผลของการเปรียบเทียบ $A < B$ จะเข้าสู่ Low Rate Alarm Latch ได้เฉพาะเวลาที่กำลังเปรียบเทียบ Minimum เท่านั้น AND Gate นี้ประกอบด้วยไดโอด D3 , D4 และ R1

เมื่อวงจรมีค่าเกิด Overflow (อัตราการทำงานของหัวใจเกิน



รูปที่ 3.33
วงจรเตือนภัย

เอกสารนี้เป็นเอกสารที่สงวนไว้สำหรับการใช้งานเพื่อการศึกษาเท่านั้น ไม่อนุญาตให้นำไปใช้ประโยชน์ด้านการค้า
ไม่ว่ากรณีใดๆทั้งสิ้น อีกทั้งห้ามแก้ไขตัดแปลงเนื้อหา และต้องอ้างอิงถึงเจ้าของเอกสารทุกครั้งที่มีการนำไปใช้

Select Control		Output
S_x	S_y	S_n
0	0	0
0	1	Y_n
1	0	X_n
1	1	$X_n + Y_n$

ตาราง 3.3
Truth Table ของ CD 4019

Compare Input				Cascade Input			Compare Output		
A_8, B_8	A_4, B_4	A_2, B_2	A_1, B_1	$A < B$	$A = B$	$A > B$	$A < B$	$A = B$	$A > B$
$A_8 > B_8$	X	X	X	X	X	1	0	0	1
$A_8 = B_8$	$A_4 > B_4$	X	X	X	X	1	0	0	1
$A_8 = B_8$	$A_4 = B_4$	$A_2 > B_2$	X	X	X	1	0	0	1
$A_8 = B_8$	$A_4 = B_4$	$A_2 = B_2$	$A_1 > B_1$	X	X	1	0	0	1
$A_8 = B_8$	$A_4 = B_4$	$A_2 = B_2$	$A_1 = B_1$	0	0	1	0	0	1
$A_8 = B_8$	$A_4 = B_4$	$A_2 = B_2$	$A_1 = B_1$	0	1	1	0	1	0
$A_8 = B_8$	$A_4 = B_4$	$A_2 = B_2$	$A_1 = B_1$	1	0	1	1	0	0
$A_8 = B_8$	$A_4 = B_4$	$A_2 = B_2$	$A_1 < B_1$	X	X	X	1	0	0
$A_8 = B_8$	$A_4 = B_4$	$A_2 < B_2$	X	X	X	X	1	0	0
$A_8 = B_8$	$A_4 < B_4$	X	X	X	X	X	1	0	0
$A_8 < B_8$	X	X	X	X	X	X	1	0	0

ตาราง 3.4

Truth Table ของ CD 4585

เอกสารนี้เป็นเอกสารที่สงวนไว้สำหรับการใช้งานเพื่อการศึกษาเท่านั้น. ไม่นิยมนำไปใช้ประโยชน์ด้านการค้า
ไม่ว่ากรณีใดๆทั้งสิ้น. อีกทั้งห้ามมิให้ตัดแปลงเนื้อหา และต้องอ้างอิงถึงเจ้าของเอกสารทุกครั้งที่มีการนำไปใช้

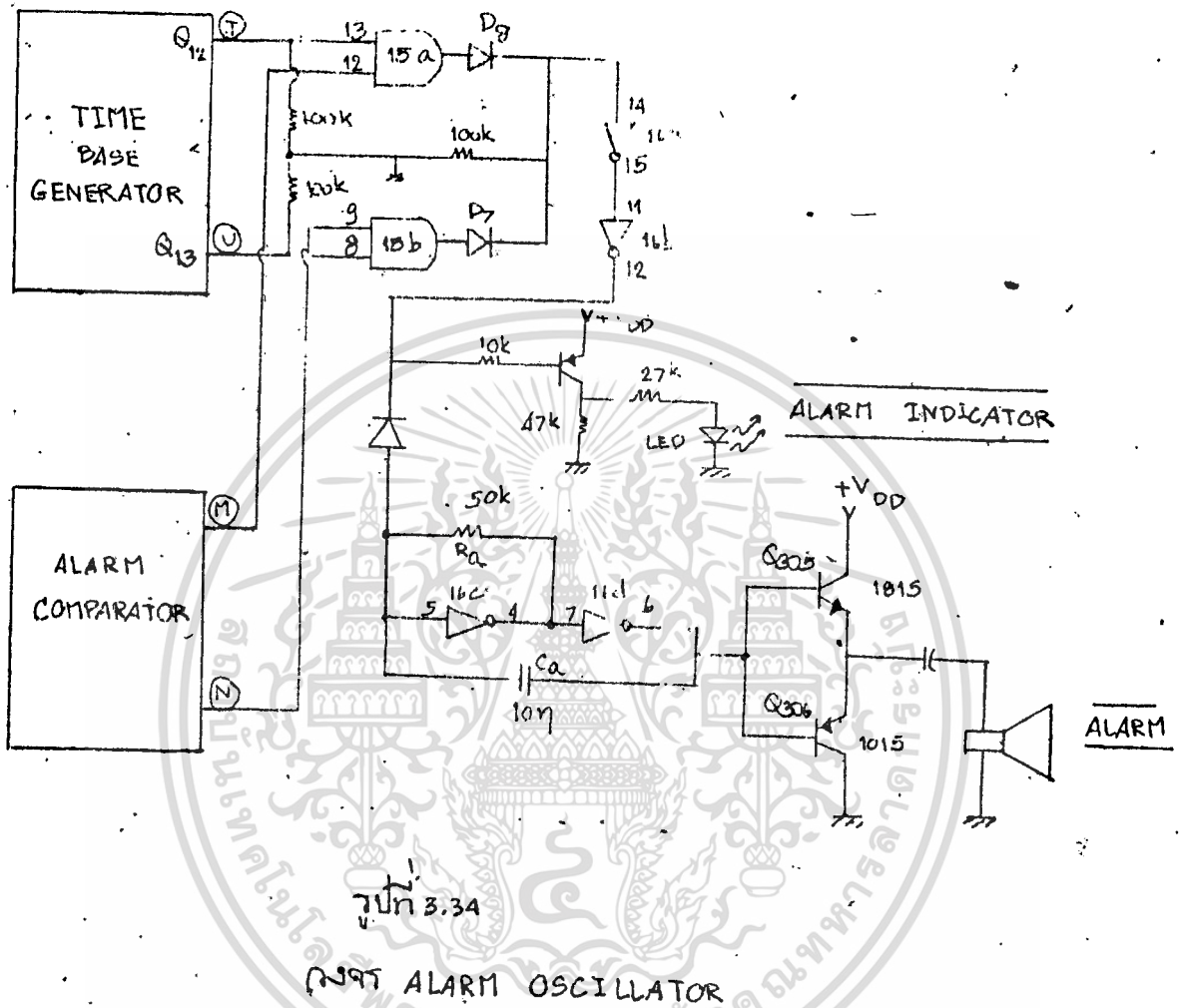
200 ครั้ง / นาที) วงจร High Rate จะทำงานด้วย โดยเอาที่พืท Q ของ Overflow Flip Flop จะป้อนเข้าสู่ Alarm Latch ของ High Rate Alarm Latch โดยผ่าน OR Gate ซึ่งประกอบด้วยไดโอด D1 , D2 และ R2

แต่การทำงานดังกล่าวอาจผิดพลาดได้ เช่น ขณะทำการเปรียบเทียบ Minimum โดย Minimum Rate เท่ากับ 60 (0110) และอัตราการทำงานของหัวใจเท่ากับ 90 (1001) ที่เอาที่พืท A>B ของ Magnitude Comparator จะสวิงอยู่ระหว่าง 0 กับ 1 ซึ่งจะทำให้วงจร High Rate Alarm ทำงาน เพื่อแก้ปัญหาดังกล่าว หลังจากที่เราได้นำเอาที่พืท A>B มา OR กับขา Q ของ Overflow Flip Flop แล้ว เราจะต้องนำไป AND กับขา Q ของวงจรมันหลักร้อย แล้วจึงนำไปสู่ High Rate Alarm Latch

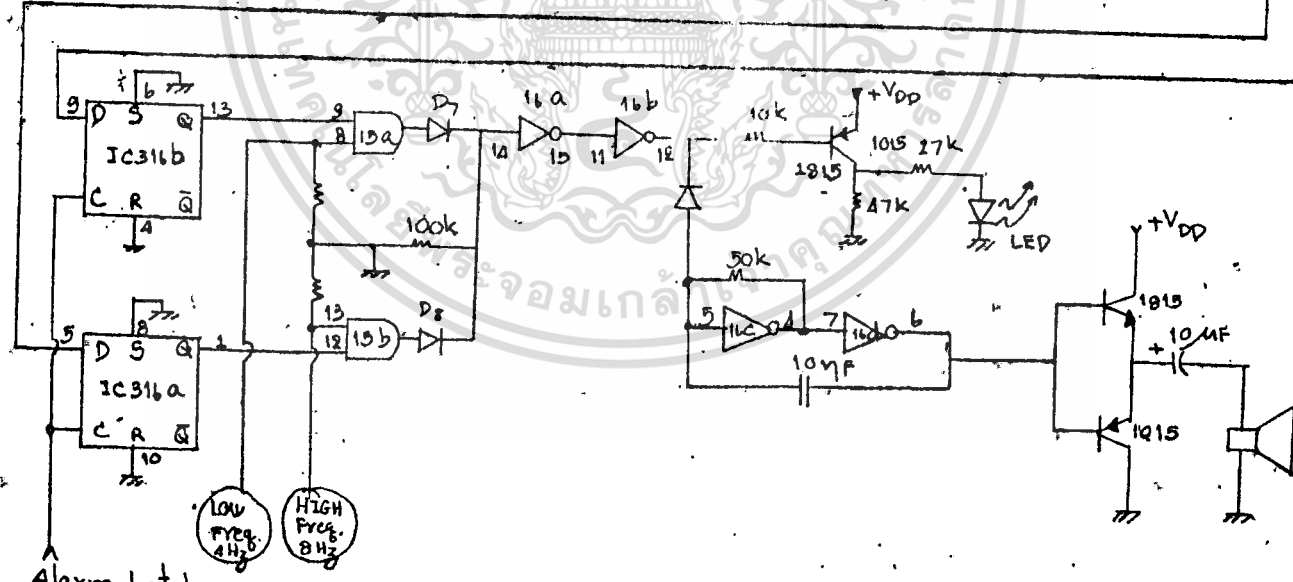
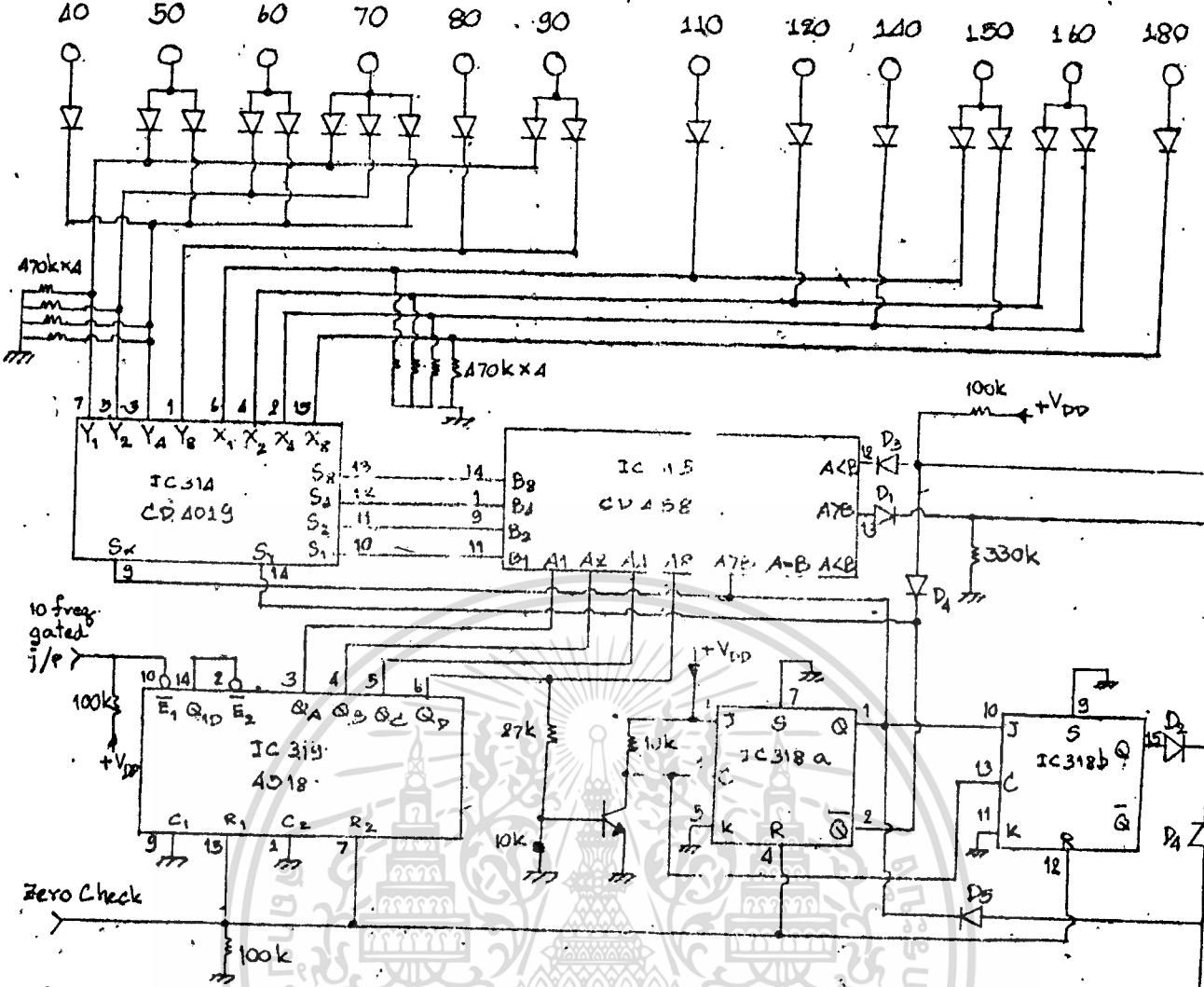
3.7.2.3 Alarm Oscillator

รูปที่ 3.34 เป็นวงจรส่วน Alarm oscillator สัญญาณ Alarm ที่ใช้มีลักษณะเป็น Two Tone Alarm 2 แบบ คือ High Rate Alarm จะใช้ความถี่ 8 Hz เป็น Envelope ของความถี่ 2 KHz และ Low Rate Alarm จะใช้ความถี่ 4 Hz เป็น Envelope ซึ่งความถี่ต่ำ 4 Hz และ 8 Hz นำมาจากวงจรสร้างฐานเวลาควบคุมการนับ Q303 ทำหน้าที่ขับ LED เพื่อแสดงเป็น Alarm Indicator เอาที่พืทของ Alarm Latch จะเข้ามาควบคุมการทำงานของ 1 Bit Data Selector ซึ่งจะเลือกความถี่ 4 Hz หรือ 8 Hz เข้าไปเกทกับความถี่ 2 KHz IC 16c , 16d , Ra , Ca เป็นวงจร 2 KHz Alarm Oscillator

Q305 และ Q306 เป็นคอมพลีเมนท์ารีเฟาเวอร์แอมป์



เอกสารนี้เป็นเอกสารที่สงวนไว้สำหรับการใช้งานเพื่อการศึกษาเท่านั้น ไม่อนุญาตให้นำไปใช้ประโยชน์ด้านการค้า
ไม่ว่ากรณีใดๆทั้งสิ้น อีกทั้งห้ามมิให้ดัดแปลงเนื้อหา และต้องอ้างอิงถึงเจ้าของเอกสารทุกครั้งที่มีการนำไปใช้



รูปที่ 3.35
ALARM UNIT

- IC 318 : 4027
- D₁~D₈ : 1N4148
- IC 19 : 4081
- IC 16 : 4049

เอกสารนี้เป็นเอกสารที่สงวนไว้สำหรับการใช้งานเพื่อการศึกษาเท่านั้น ไม่อนุญาตให้นำไปใช้ประโยชน์ด้านการค้า
ไม่ว่ากรณีใดๆทั้งสิ้น อีกทั้งห้ามมิให้ตัดแปลงเนื้อหา และต้องอ้างอิงถึงเจ้าของเอกสารทุกครั้งที่มีการนำไปใช้

การทดลอง และผลการทดลอง

เมื่อทำการต่อวงจรในบทที่ 3 ตามที่ได้ออกแบบไว้ สัญญาณเอาต์พุตของวงจรต่าง ๆ สามารถที่จะแสดงได้ดังต่อไปนี้

- ภาควงจรขยายสัญญาณภาคแรก ซึ่งขยายสัญญาณที่ได้จากอิมพีแดนซ์ทรานส์

สัญญาณไฟฟ้าหัวใจที่ได้จากวงจรขยายภาคแรก ก่อนที่จะนำสัญญาณไปทำการวัดคาบสัญญาณ

สัญญาณแผ่นเลื่อยที่ใช้ในการวัดคาบสัญญาณ และสัญญาณที่ได้หลังจากวัดคาบสัญญาณแล้ว

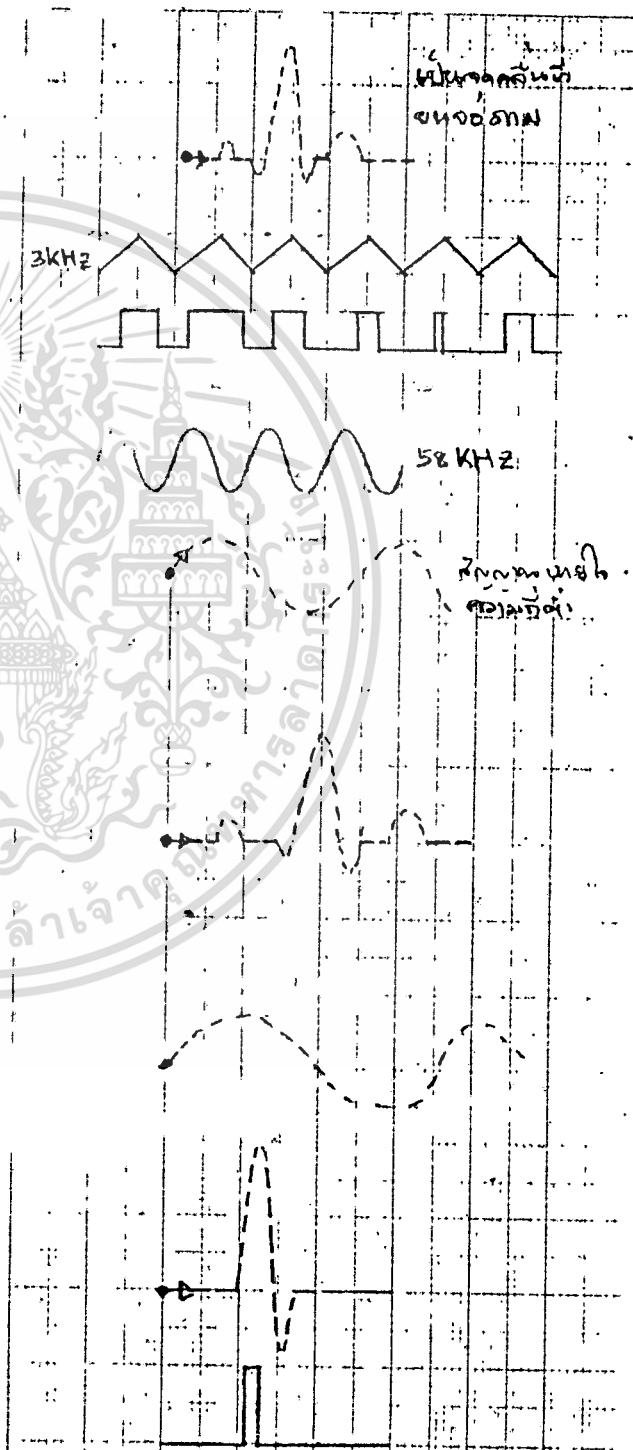
สัญญาณที่ใช้ในการวัดคาบสัญญาณเพื่อใช้ในการวัดสัญญาณหายใจ และสัญญาณหายใจที่วัดได้

- ภาควงจรขยายสัญญาณส่วนหลัง

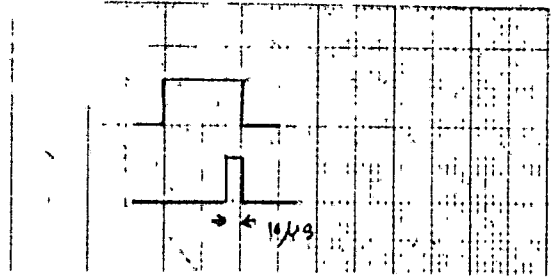
สัญญาณไฟฟ้าหัวใจที่ได้หลังจากส่งผ่านสัญญาณด้วยวงจรส่งผ่านด้วยแสงและวงจรตีโมดูลสัญญาณ

สัญญาณหายใจที่ได้หลังจากที่ผ่านวงจรส่งผ่านด้วยแสง

สัญญาณไฟฟ้าหัวใจที่ได้หลังจากผ่านวงจรแยกคลื่น QRS และวงจรเปรียบเทียบสัญญาณ



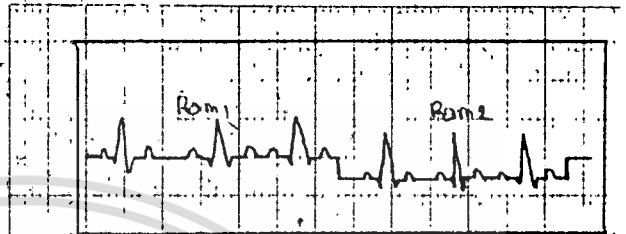
สัญญาณหัวใจที่ได้หลังจากผ่านวงจร
เปรียบเทียบสัญญาณ และวงจร ไมโครสเตเบิล



- ภาคการทำสัญญาณไฟฟ้าหัวใจให้มีความถี่สูงขึ้น

สัญญาณนาฬิกาที่ใช้เป็นฐานข้อมูล

สัญญาณไฟฟ้าหัวใจที่ได้หลังจากผ่านวงจร
จร A/D และวงจร D/A

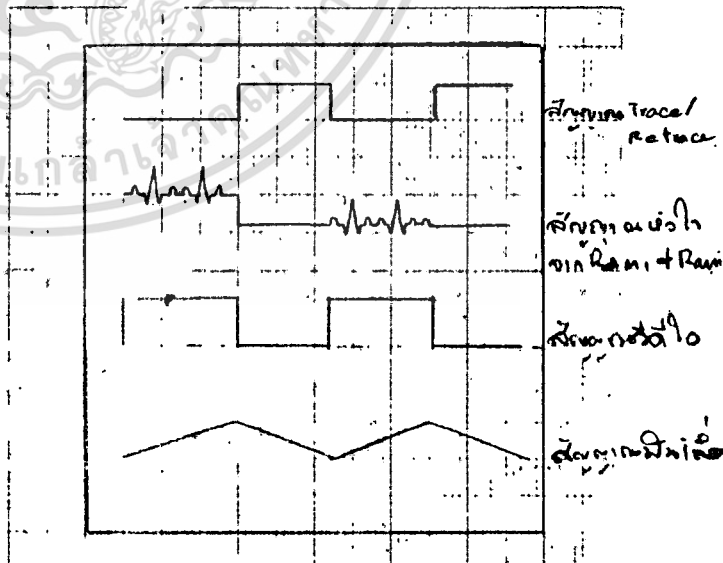


สัญญาณไฟฟ้าหัวใจหลังจากผ่านวงจร
แบ่งระดับสัญญาณ



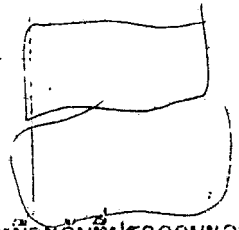
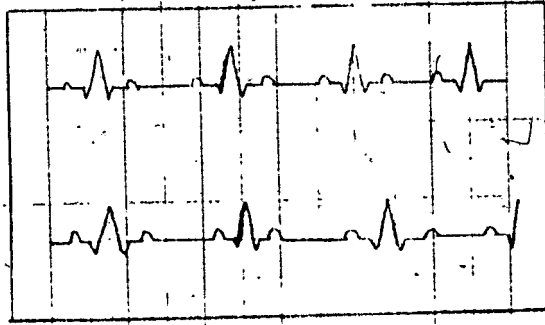
- ภาคแสดงผลทางจอภาพ

สัญญาณที่ใช้ในการสร้างสัญญาณวีดีโอ
และสัญญาณวีดีโอที่ได้



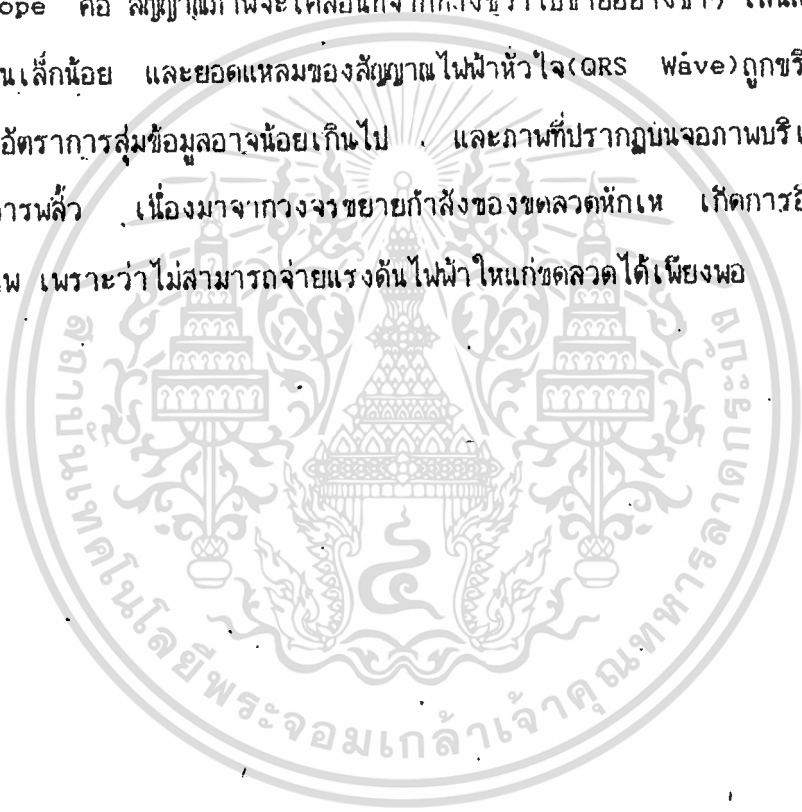
สัญญาณที่ใช้ในการสร้างสัญญาณพื่น
เลื่อย และสัญญาณพื่นเลื่อยที่ได้

ภาพที่ปรากฏบนจอภาพ



ลักษณะของภาพที่ปรากฏบนจอโทรลัดนี้ จะเหมือนกับที่ปรากฏบนจอ

Oscilloscope คือ สัญญาณภาพจะเคลื่อนที่จากทรวงขวาไปซ้ายอย่างช้าๆ เส้นสัญญาณยังคงมี สัญญาณรบกวนเล็กน้อย และยอดแหลมของสัญญาณไฟฟ้าหัวใจ (QRS wave) ถูกขยับไปเล็กน้อย เนื่องจากอัตราการสุมข้อมูลอาจน้อยเกินไป และภาพที่ปรากฏบนจอภาพบริเวณเริ่มของจอ ภาพจะมีอาการลัว เนื่องจากวงจรขยายกำลังของขดลวดหักเห เกิดการยืดตัวที่บริเวณ เริ่มของจอภาพ เพราะที่ไม่สามารถจ่ายแรงดันไฟฟ้าให้แก่ขดลวดได้เพียงพอ



บทที่ 5 : บทสรุป

โครงการในปีการศึกษา 2532 นี้ เป็นโครงการที่พัฒนาต่อมาจากเครื่องแสดงสัญญาณคลื่นไฟฟ้าหัวใจแบบ 1 ช่องสัญญาณ โดยมีวัตถุประสงค์ที่จะเปลี่ยนแปลงโครงสร้างทางฮาร์ดแวร์ใหม่ เพื่อให้สามารถเปลี่ยนฟังก์ชันการทำงานของไอซียูมอนิเตอร์ โดยสามารถแสดงผลทางจอภาพได้ 2 ช่องสัญญาณ

การเปลี่ยนแปลงฟังก์ชันทำได้โดย การนำสัญญาณควบคุมใหม่ไปทำการโปรแกรมให้กับอีพรอม (EPROM) ซึ่งปรากฏว่าสามารถทำได้ และได้ผลของการแสดงบนจอภาพของสัญญาณหัวใจเป็น 2 ช่องตามที่ต้องการ

ปัญหาที่เกิดขึ้นในการทดลอง คือ

1. ในการส่งสัญญาณไฟฟ้าหัวใจจาก วงจรขยายสัญญาณหัวใจส่วนแรก ไปยังวงจรขยายส่วนที่ 2 โดยใช้ตัวส่งผ่านสัญญาณแสง การปรับไบอัสให้ตัวส่งสัญญาณแสงทำงานในช่วงลิเนียร์ทำได้ยาก และตัวส่งผ่านสัญญาณแสงแต่ละตัวก็มีคุณสมบัติต่างกัน การแก้ไขทำได้โดยนำสัญญาณไฟฟ้าหัวใจมาทำการมอดดูเลทเสียก่อน แล้วจึงทำการส่งผ่านโดยวงจรส่งผ่านสัญญาณแสง

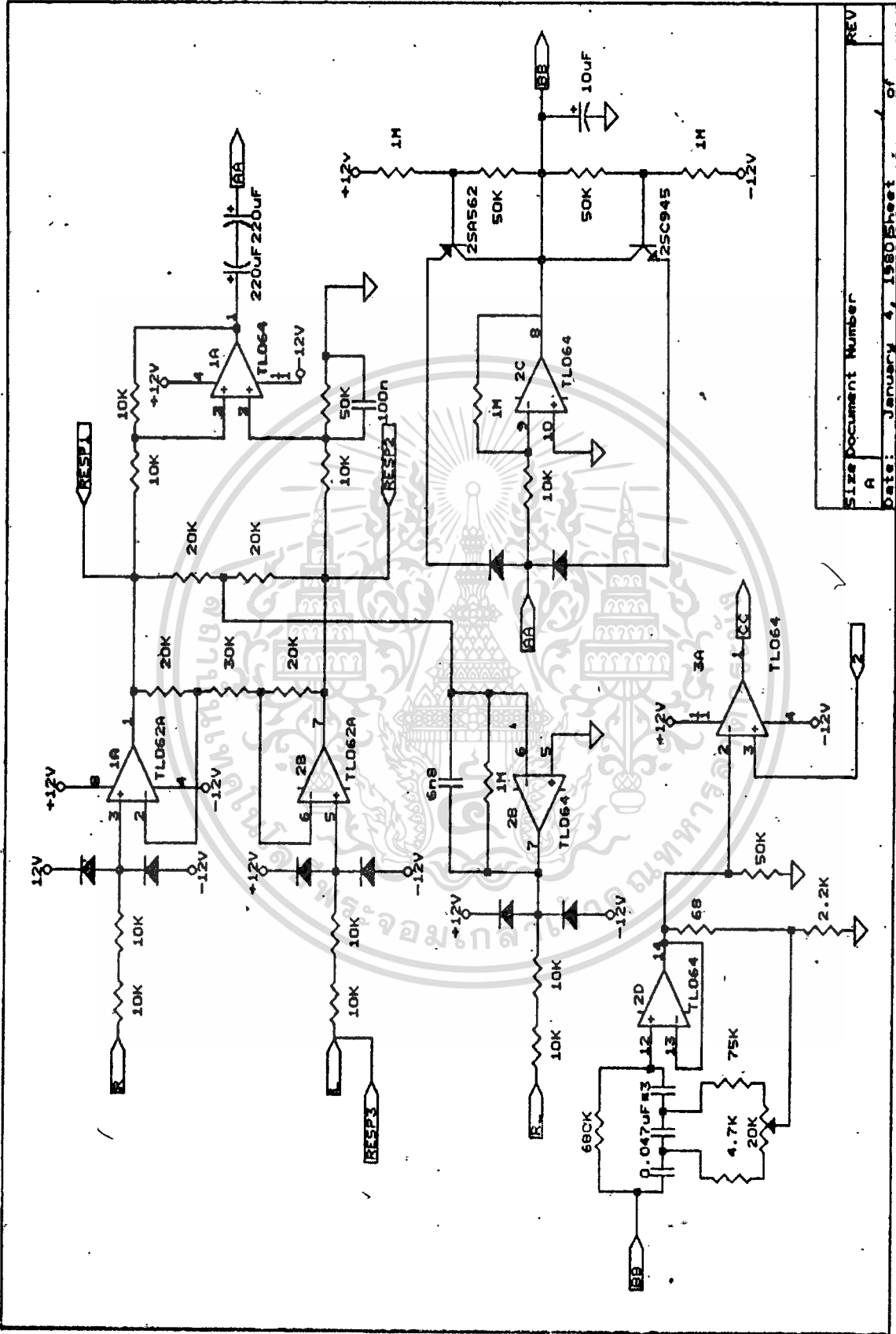
2. สัญญาณรบกวน เนื่องจากโครงการนี้ประกอบด้วยทั้งวงจรดิจิทัล และอนาลอค ดังนั้นสัญญาณรบกวนที่เกิดขึ้นจากวงจรดิจิทัลจึงเข้ามากรบกวนสัญญาณในส่วนของอนาลอค สำหรับการแก้ไขก็คือ การแยกกราวด์ของส่วนดิจิทัล และ อนาลอคออกจากกัน หลังจากนั้นจึงนำมาต่อกันที่กราวด์ของแหล่งจ่ายไฟ ซึ่งจะสามารถช่วยแก้ปัญหานี้ได้บ้าง เนื่องจากบางส่วนของสัญญาณดิจิทัลและอนาลอคต้องต่อถึงกัน ในส่วนนี้จึงควรนำสัญญาณดิจิทัลไปเข้าวงจรบัฟเฟอร์เสียก่อน แล้วจึงต่อเข้าวงจรอนาลอค

3. จอภาพที่นำมาใช้งานเป็นจอภาพขนาดเล็ก และมีความโค้งของจอภาพมาก ทำให้ภาพที่ได้ไม่ลิเนียร์

วิธีการแก้ไข เช่น การปรับสัญญาณฟูเน็ลลือย เพื่อให้ภาพที่เห็นมีความเป็นลิเนียร์ที่ดีขึ้น หรือ เปลี่ยนหลอดภาพให้มีความยาวมากขึ้น

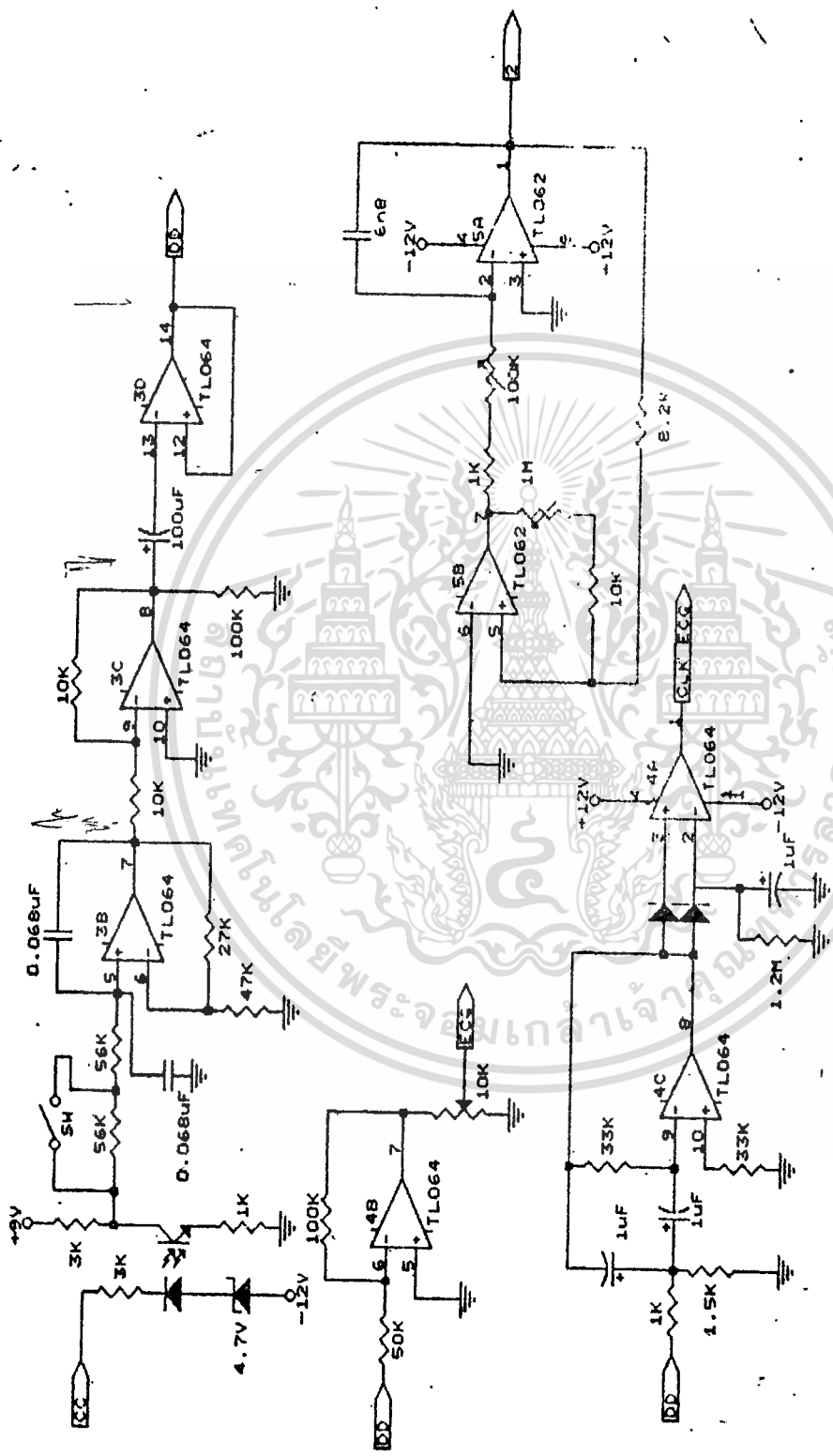


เอกสารนี้เป็นเอกสารที่สงวนไว้สำหรับการใช้งานเพื่อการศึกษาเท่านั้น ไม่อนุญาตให้นำไปใช้ประโยชน์ด้านการค้า
ไม่ว่ากรณีใดๆทั้งสิ้น อีกทั้งห้ามมิให้ตัดแปลงเนื้อหา และต้องอ้างอิงถึงเจ้าของเอกสารทุกครั้งที่มีการนำไปใช้



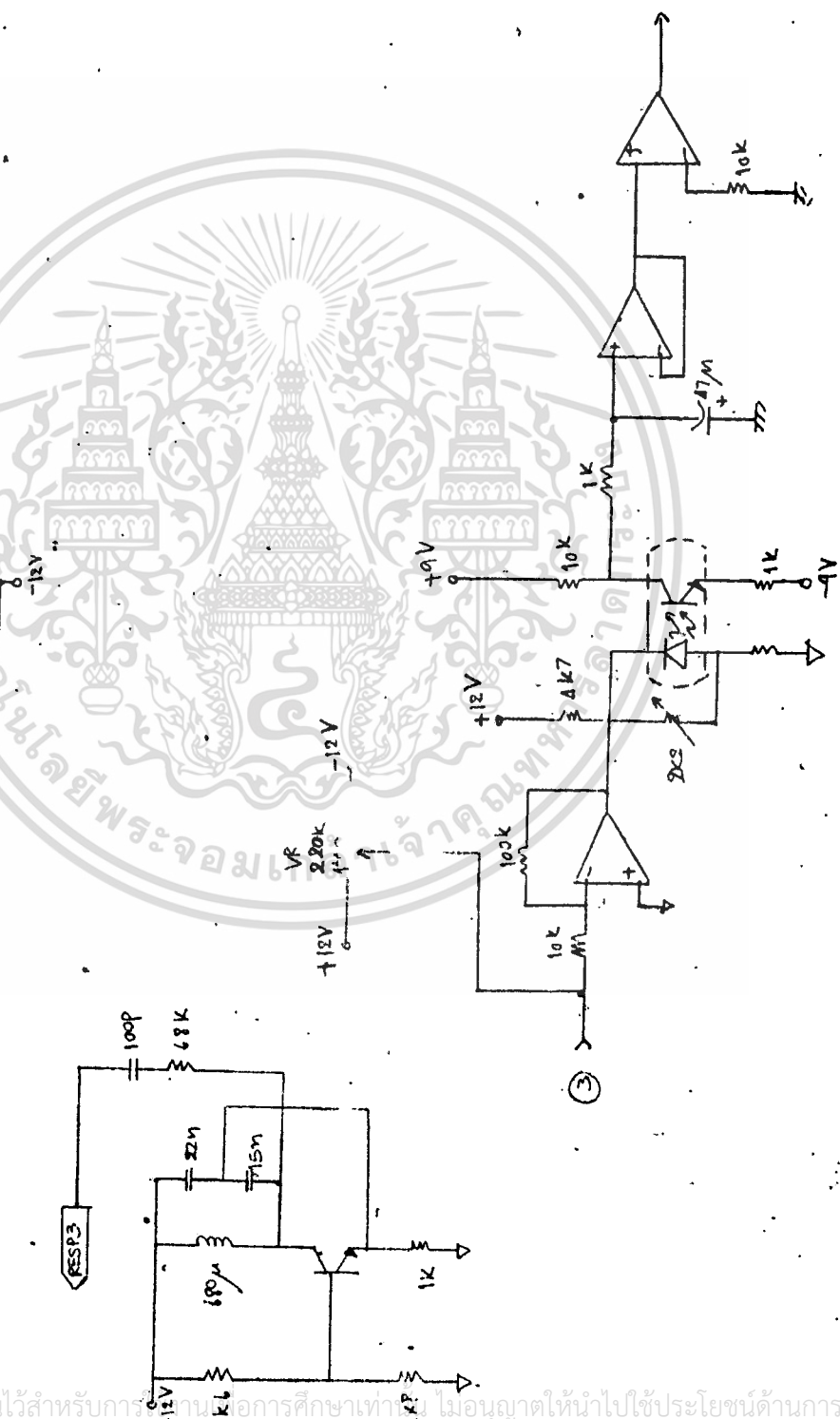
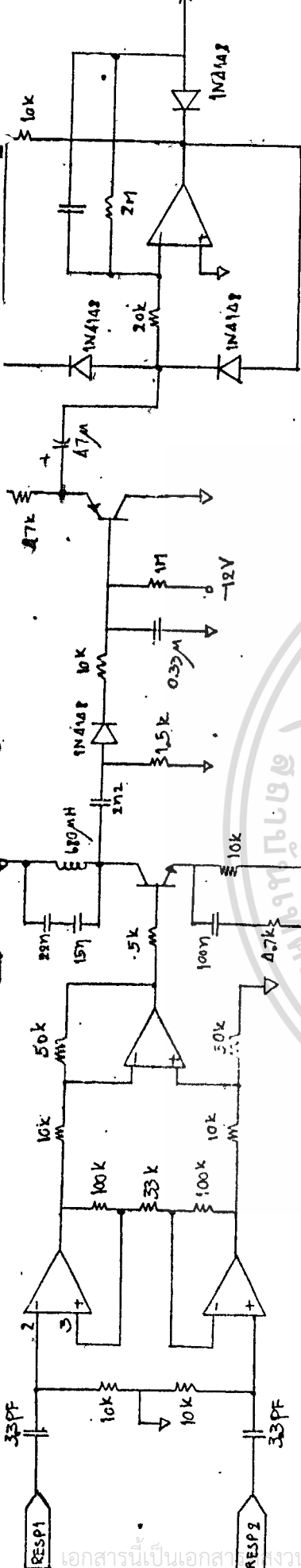
Size	Document Number	REV
A		
Date:	January 4, 1980	Sheet 1 of 1

เอกสารนี้เป็นเอกสารที่สงวนไว้สำหรับการใช้งานเพื่อการศึกษาเท่านั้น ไม่อนุญาตให้นำไปใช้ประโยชน์ด้านการค้า
 ไม่ว่าการณีใดๆ ทั้งสิ้น อีกทั้งห้ามมิให้ดัดแปลงเนื้อหา และต้องอ้างอิงถึงเจ้าของเอกสารทุกครั้งที่มีการนำไปใช้



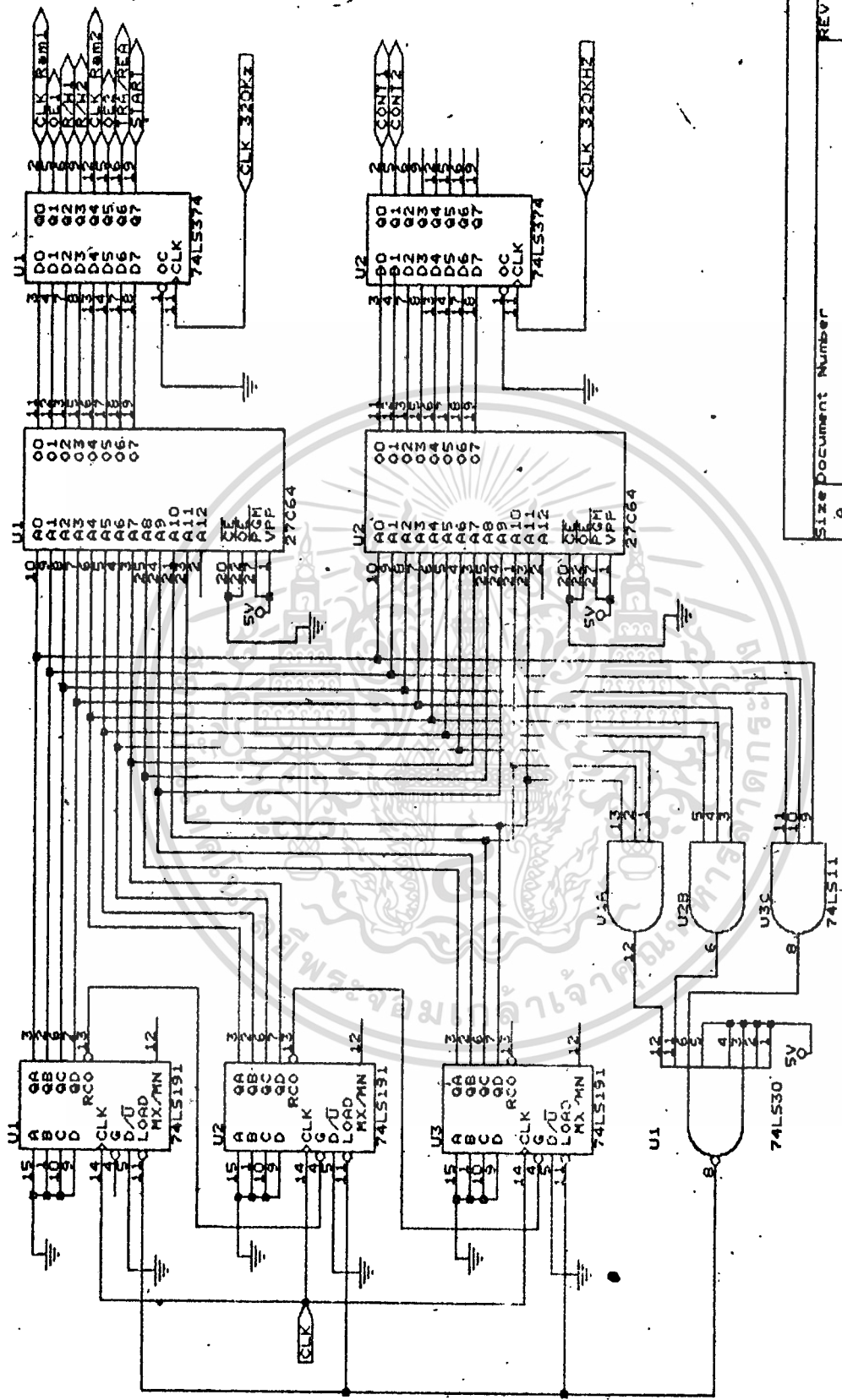
Size: Document Number. A REV
 Date: January 4, 1980 Sheet of

เอกสารนี้เป็นเอกสารที่สงวนลิขสิทธิ์หรือการใช้งานเพื่อการวิจัยเท่านั้น ไม่อนุญาตให้ทำซ้ำโดยไม่ได้รับอนุญาต
 ไม่ว่าจะกรณีใดๆทั้งสิ้น อีกทั้งห้ามมิให้ตัดแปลงเนื้อหา และต้องอ้างอิงถึงเจ้าของเอกสารทุกครั้งที่มีการนำไปใช้



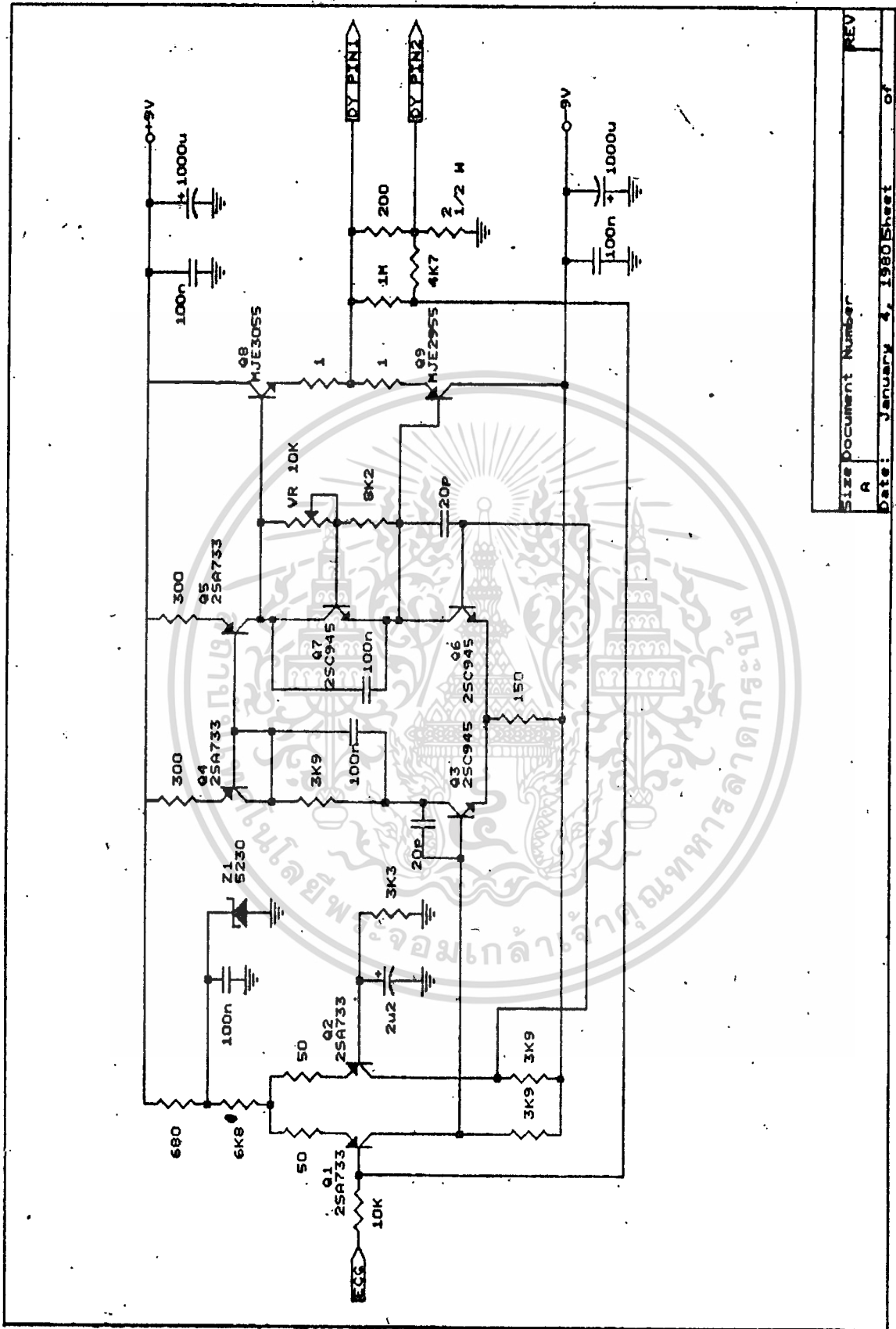
นางพรศรัณย์ภัทรา ทวีกร

เอกสารนี้เป็นเอกสารสงวนไว้สำหรับการใช้งานเพื่อการศึกษเท่านั้น ไม่อนุญาตให้นำไปใช้ประโยชน์ด้านการค้า
 ไม่ว่ากรณีใดๆทั้งสิ้น อีกทั้งห้ามมิให้คัดแปลงเนื้อหา และต้องอ้างอิงถึงเจ้าของเอกสารทุกครั้งที่มีการนำไปใช้



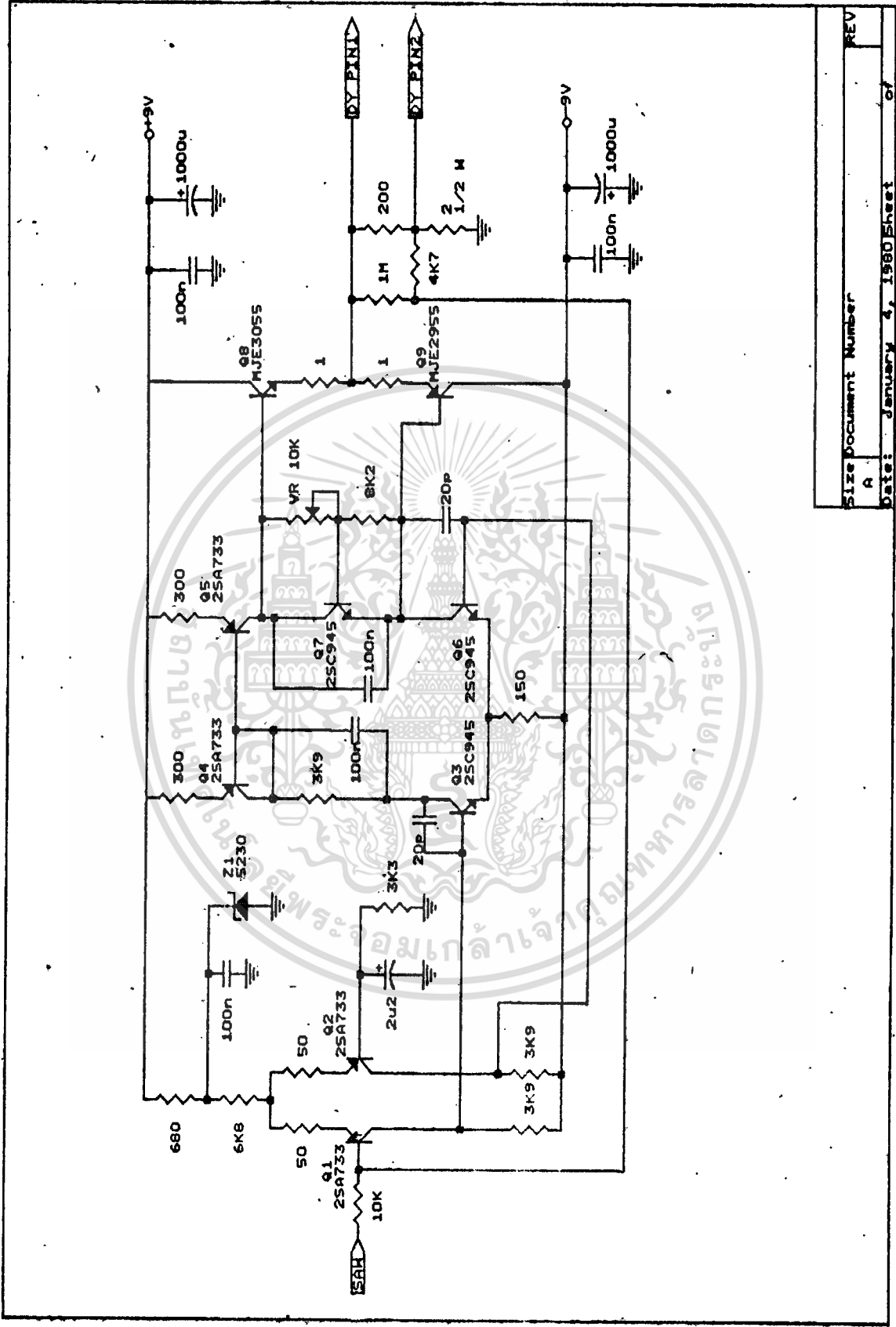
Size Document Number	REV
A	
Date: January 4, 1980	Sheet of

เอกสารนี้เป็นเอกสารที่สงวนไว้สำหรับการใช้งานเพื่อการศึกษาเท่านั้น ไม่อนุญาตให้นำไปใช้ประโยชน์ด้านการค้า
 ไม่ว่าจะกรณีใดๆทั้งสิ้น อีกทั้งห้ามมิให้ดัดแปลงเนื้อหา และต้องอ้างอิงถึงเจ้าของเอกสารทุกครั้งที่มีการนำไปใช้



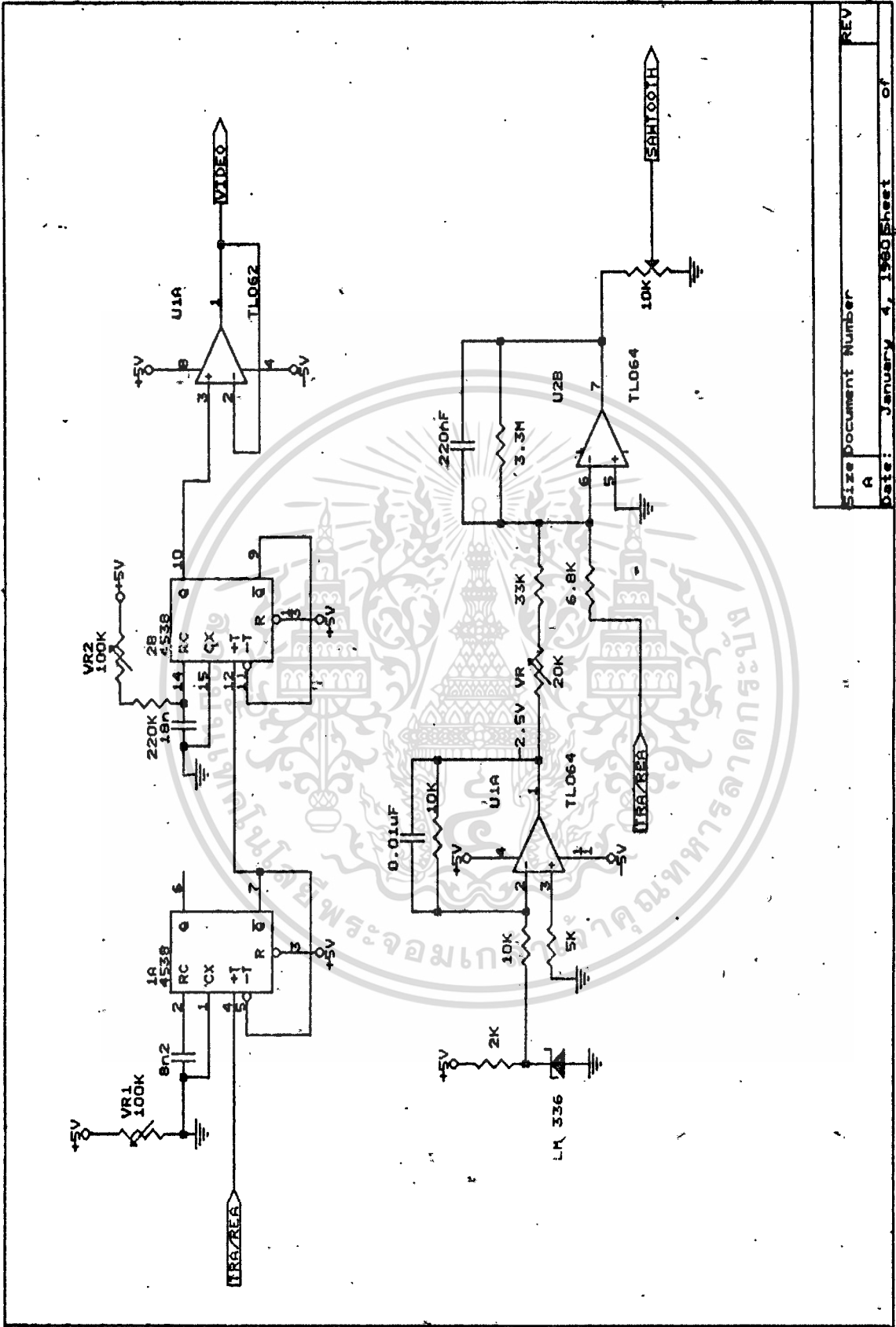
Size Document Number	REV
A	
Date: January 4, 1980	Sheet of

เอกสารนี้เป็นเอกสารที่สงวนไว้สำหรับการใช้งานเพื่อการศึกษาเท่านั้น ไม่อนุญาตให้นำไปใช้ประโยชน์ด้านการค้า
 ไม่ว่าจะกรณีใดๆทั้งสิ้น อีกทั้งห้ามมิให้ดัดแปลงเนื้อหา และต้องอ้างอิงถึงเจ้าของเอกสารทุกครั้งที่มีการนำไปใช้



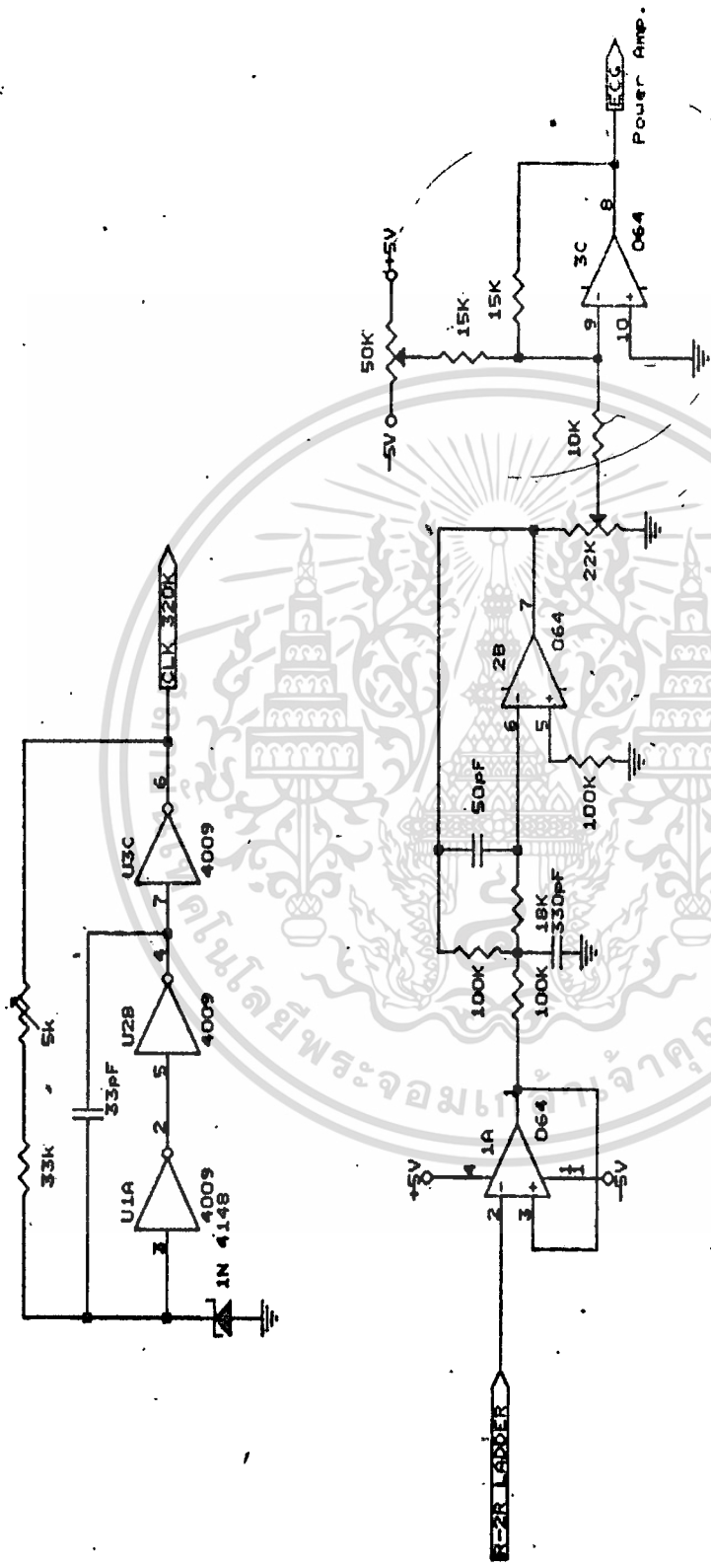
Size	Document Number	REV
A		
Date:	January 4, 1980	Sheet 6 of

เอกสารนี้เป็นเอกสารที่สงวนไว้สำหรับการใช้งานเพื่อการศึกษาเท่านั้น ไม่อนุญาตให้นำไปใช้ประโยชน์ด้านการค้า
 ไม่ว่ากรณีใดๆทั้งสิ้น อีกทั้งห้ามมิให้ดัดแปลงเนื้อหา และต้องอ้างอิงถึงเจ้าของเอกสารทุกครั้งที่มีการนำไปใช้



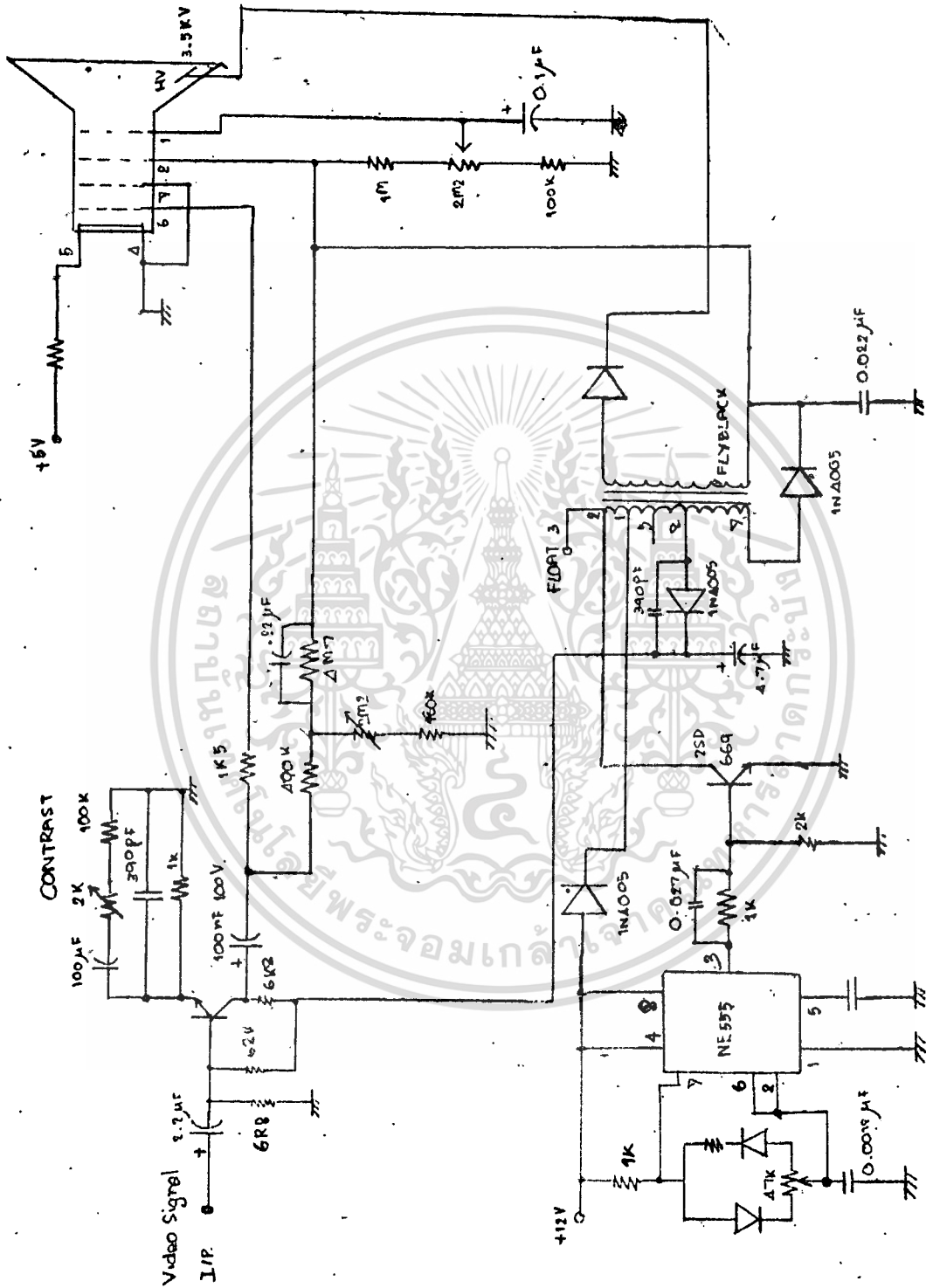
Size	Document Number	REV
A		
Date:	January 4, 1980	Sheet of

เอกสารนี้เป็นเอกสารที่สงวนไว้สำหรับการใช้งานเพื่อการศึกษาเท่านั้น ไม่อนุญาตให้นำไปใช้ประโยชน์ด้านการค้า
 ไม่ว่ากรณีใดๆทั้งสิ้น อีกทั้งห้ามมิให้ดัดแปลงเนื้อหา และต้องอ้างอิงถึงเจ้าของเอกสารทุกครั้งที่มีการนำไปใช้



Size	Document Number	REV
A		
Date:	January 4, 1980	Sheet of

เอกสารนี้เป็นเอกสารที่สงวนไว้สำหรับการใช้งานเพื่อการศึกษาเท่านั้น ไม่อนุญาตให้นำไปใช้ประโยชน์ด้านการค้า
 ไม่ว่ากรณีใดๆทั้งสิ้น อีกทั้งห้ามมิให้ดัดแปลงเนื้อหา และต้องอ้างอิงถึงเจ้าของเอกสารทุกครั้งที่มีการนำไปใช้



เอกสารนี้เป็นเอกสารที่สงวนไว้สำหรับการใช้งานเพื่อการศึกษาเท่านั้น ไม่อนุญาตให้นำไปใช้ประโยชน์ด้านการค้า
ไม่ว่ากรณีใดๆทั้งสิ้น อีกทั้งห้ามมิให้ดัดแปลงเนื้อหา และต้องอ้างอิงถึงเจ้าของเอกสารทุกครั้งที่มีการนำไปใช้

ไอซีที่ใช้เป็นวงจรสร้างสัญญาณควบคุม



2764A
ADVANCED 64K (8Kx8) UV ERASABLE PROM

- Fast 180 nsec Access Time
—HMOS II[®]-E Technology
- Low Power
—60 mA Maximum Active
—20 mA Maximum Standby
- Two Line Control
- Intelligent Programming™ Algorithm
—Fastest EPROM Programming
- Intelligent Identifier™ Mode
—Automated Programming Operations
- Compatible with 2764, 27128, 27256
- ±10% V_{CC} Tolerance Available

The Intel 2764A is a 5V only, 65,536-bit ultraviolet erasable and electrically programmable read-only-memory (EPROM). The 2764A is an advanced version of the 2764 and is fabricated with Intel's HMOSII-E technology which significantly reduces die size and greatly improves the device's performance, power consumption, reliability and productivity.

The 2764A provides access times to 180 ns/2764A-1). This is an improvement over the fastest 2764 access time of 200 ns. This is compatible with high-performance microprocessors, such as Intel's 8 MHz IAPX 186 allowing full speed operation without the addition of WAIT states. The 2764A is also directly compatible with the 12 MHz 8051 family.

Several advanced features have been designed into the 2764A that allow fast and reliable programming—the Intelligent Programming Algorithm and the Intelligent Identifier Mode. Programming equipment that takes advantage of these innovations will electronically identify the 2764A and then rapidly program it using an efficient programming method.

The 2764A also offers reduced power consumption compared to the 2764. The maximum active current on faster speed parts is 60 mA while the maximum standby current is only 20 mA. The standby mode lowers power consumption without increasing access time.

Two-line control and JEDEC-approved, 28 pin packaging are standard features of all Intel higher density EPROMs. This ensures easy microprocessor interfacing and minimum design efforts when upgrading, adding or choosing between non-volatile memory alternatives.

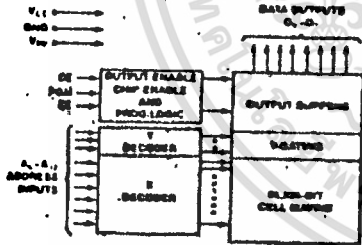
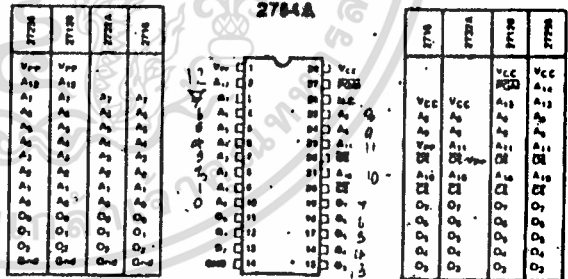


Figure 1: Block Diagram



NOTE: INTEL "UNIVERSAL BYTE"-COMPATIBLE EPROM PIN CONFIGURATIONS ARE SHOWN IN THE BLOCKS ADJACENT TO THE 2764A PINS

Figure 2: Pin Configurations

MODE SELECTION							
MODE	CS (pin 1)	OE (pin 2)	PE (pin 3)	A ₀ (pin 4)	A ₁ (pin 5)	V _{CC} (pin 16)	Outputs (pins 12, 13, 14, 15)
Standby	Hi	Hi	Hi	0	0	V _{CC}	Standby
Program Enable	Hi	Hi	Hi	0	1	V _{CC}	Standby
Read	Hi	Lo	Hi	0	0	V _{CC}	Output 0
Write	Hi	Lo	Lo	0	0	V _{CC}	Output 1
Program Enable	Lo	Lo	Lo	0	0	V _{CC}	Output 2
Program Enable	Lo	Lo	Lo	0	1	V _{CC}	Output 3
Program Enable	Lo	Lo	Lo	1	0	V _{CC}	Output 4
Program Enable	Lo	Lo	Lo	1	1	V _{CC}	Output 5

1 X can be V_{PP} or V_L
2 V_{PP} = 12.0V ± 0.5V

*HMOS is a patented process of Intel Corporation

Intel Corporation Assumes No Responsibility for the Use of Any Circuitry Other Than Circuitry Embodied in an Intel Product. No Other Circuit Patent Licenses are Implied.

INTEL CORPORATION, 1984

PIN NAMES	
A ₀ -A ₁₁	ADDRESSES
CE	CHIP ENABLE
OE	OUTPUT ENABLE
O ₀ -O ₇	OUTPUTS
PE	PROGRAM
N.C.	NO CONNECT

ABSOLUTE MAXIMUM RATINGS*

Temperature Under Bias	-10°C to +80°C
Storage Temperature	-65°C to +125°C
All Input or Output Voltages with Respect to Ground	+6.5V to -0.6V
Voltage on Pin 24 with Respect to Ground	+13.5V to -0.5V
V _{pp} Supply Voltage with Respect to Ground During Programming	+14V to -0.6V

**NOTICE: Stresses above those listed under "Absolute Maximum Ratings" may cause permanent damage to the device. This is a stress rating only and functional operation of the device at these or any other conditions above those indicated in the operational sections of this specification is not implied. Exposure to absolute maximum rating conditions for extended periods may affect device reliability.*

D.C. AND A.C. OPERATING CONDITIONS DURING READ

	2764A-1, 2764A-2, 2764A-3, 2764A-4	2764A-20, 2764A-25, 2764A-30, 2764A-45
Operating Temperature Range	0°-70°C	0°-70°C
V _{CC} Power Supply ^{1,2}	5V ± 5%	5V ± 10%
V _{pp} Voltage ²	V _{pp} = V _{CC}	V _{pp} = V _{CC}

READ OPERATION

D.C. CHARACTERISTICS

Symbol	Parameter	Limits			Unit	Conditions
		Min	Typ ³	Max		
I _{IL}	Input Load Current			10	μA	V _{IH} = 5.5V
I _{LO}	Output Leakage Current			10	μA	V _{OUT} = 5.5V
I _{PP1} ⁴	V _{pp} Current Read		5		mA	V _{pp} = 5.5V
I _{CC1} ⁵	V _{CC} Current Standby		20/35 ³		mA	CE = V _{IH}
I _{CC2} ⁵	V _{CC} Current Active		60/75 ³		mA	CE = OE = V _{IL}
V _{IL}	Input Low Voltage	-0.1		+0.8	V	
V _{IH}	Input High Voltage	2.0		V _{CC} + 1	V	
V _{OL}	Output Low Voltage			.45	V	I _{OL} = 2.1 mA
V _{OH}	Output High Voltage	2.4			V	I _{OH} = -400 μA
V _{pp} ²	V _{pp} Read Voltage	3.8		V _{CC}	V	V _{CC} = 5.0V ± 0.25V

A.C. CHARACTERISTICS

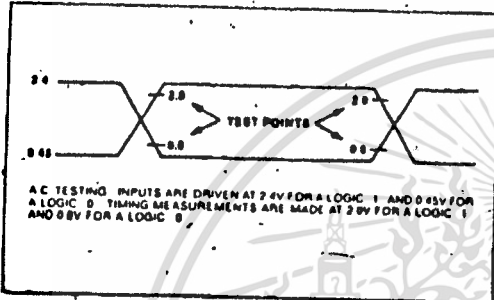
Symbol	Parameter	2764A-1 Limits		2764A-20 & 2764A-25 Limits		2764A-25 & 2764A-30 Limits		2764A-30 & 2764A-45 Limits		2764A-45 & 2764A-45 Limits		Unit	Test Conditions
		Min	Max	Min	Max	Min	Max	Min	Max	Min	Max		
t _{ACC}	Address to Output Delay		180		200		250		300		450	ns	CE = OE = V _{IL}
t _{CE}	CE to Output Delay		180		200		250		300		450	ns	OE = V _{IL}
t _{OE}	OE to Output Delay		85		75		100		120		150	ns	CE = V _{IL}
t _{DF} ⁴	OE or CE High to Output Data Float	0	85	0	85	0	60	0	105	0	130	ns	CE = V _{IL}
t _{OH}	Output Hold from Addresses CE or OE Whichever Occurred First	0		0		0		0		0		ns	CE = OE = V _{IL}

- NOTES: 1. V_{CC} must be applied simultaneously or before V_{pp} and removed simultaneously or after V_{pp}.
 2. V_{pp} may be connected directly to V_{CC} except during programming. The supply current would then be the sum of I_{CC} and I_{PP}.
 3. Typical values are for t_c = 25°C and nominal supply voltages.
 4. This parameter is only sampled and is not 100% tested. Output Float is defined as the point where data is no longer driven — see timing diagram on the following page.
 5. Max I_{CC} rating differs with access time. Rating of 60 mA active and 20 mA standby are for 2764As at 200 nsec and 180 nsec access times only.

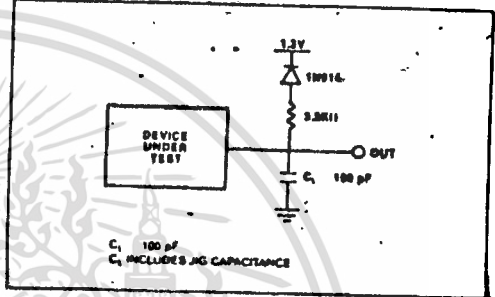
CAPACITANCE⁽²⁾ ($T_A = 25^\circ\text{C}$, $f = 1\text{MHz}$)

Symbol	Parameter	Typ. ¹	Max.	Unit	Conditions
C_{in}	Input Capacitance	4	6	pF	$V_{in} = 0\text{V}$
C_{out}	Output Capacitance	8	12	pF	$V_{out} = 0\text{V}$

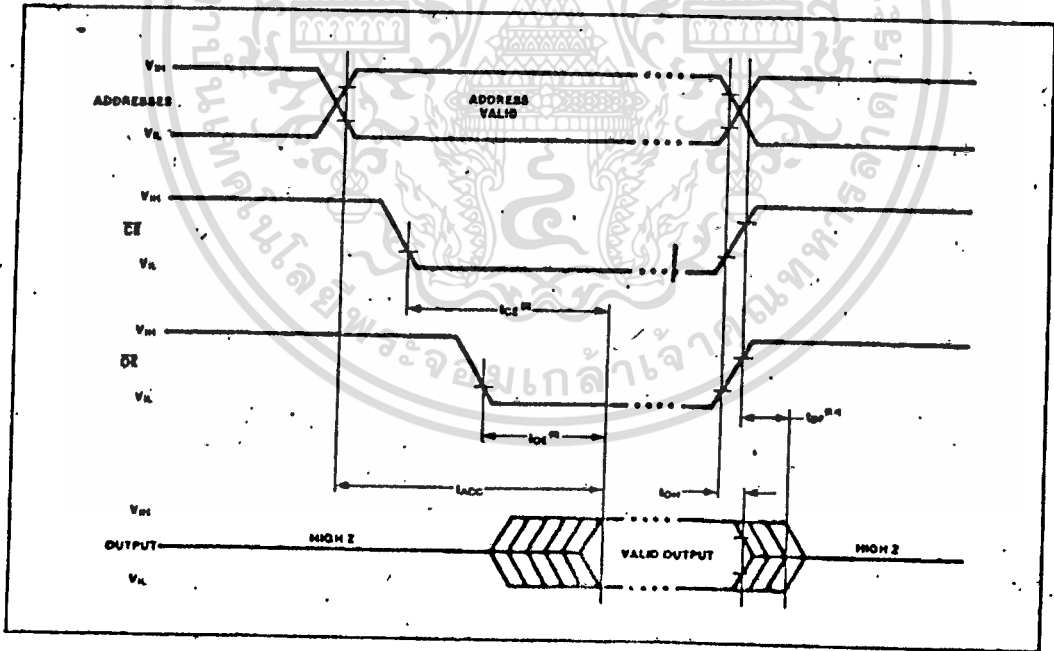
A.C. TESTING INPUT/OUTPUT WAVEFORM



A.C. TESTING LOAD CIRCUIT



A.C. WAVEFORMS



- NOTES:
1. Typical values are for $T_A = 25^\circ\text{C}$ and nominal supply voltages.
 2. This parameter is only sampled and is not 100% tested.
 3. \overline{OE} may be displayed up to $t_{CE} - t_{acc}$ after the falling edge of \overline{CE} without impact on t_{CE} .
 4. t_{OH} is specified from \overline{OE} or \overline{CE} , whichever occurs first.

DEVICE OPERATION

The seven modes of operation of the 2764A are listed in Table 1. A single 5V power supply is required in the read mode. All inputs are TTL levels except for V_{PP} and 12V on A9 for intelligent identifier mode.

Table 1. MODE SELECTION

MODE \ PINS	CE (20)	OE (22)	PSTA (27)	A ₉ (24)	V _{PP} (1)	V _{CC} (28)	Outputs (11-13, 18-19)
Read	V _{IL}	V _{IL}	V _{IH}	X	V _{CC}	V _{CC}	DOUT
Output Disable	V _{IL}	V _{IH}	V _{IH}	X	V _{CC}	V _{CC}	High Z
Standby	V _{IH}	X	X	X	V _{CC}	V _{CC}	High Z
Verify	V _{IL}	V _{IL}	V _{IH}	X	V _{PP}	V _{CC}	DOUT
Program Inhibit	V _{IH}	X	X	X	V _{PP}	V _{CC}	High Z
Intelligent Identifier	V _{IL}	V _{IL}	V _{IH}	V _H	V _{CC}	V _{CC}	Code
Intelligent Programming	V _{IL}	V _{IH}	V _{IL}	X	V _{PP}	V _{CC}	DH

NOTES:
 1 X can be V_{IH} or V_{IL}
 2 V_H = (3.0V ± 0.5V)

READ MODE

The 2764A has two control functions, both of which must be logically active in order to obtain data at the outputs. Chip Enable (CE) is the power control and should be used for device selection. Output Enable (OE) is the output control and should be used to gate data from the output pins, independent of device selection. Assuming that addresses are stable, the address access time (t_{ACC}) is equal to the delay from CE to output (t_{CE}). Data is available at the outputs after a delay of t_{OE} from the falling edge of OE, assuming that CE has been low and addresses have been stable for at least t_{ACC} - t_{OE}.

STANDBY MODE

The 2764A has standby mode which reduces the maximum current from 75 mA to 35 mA. The 2764A is placed in the standby mode by applying a TTL-high signal to the CE input. When in standby mode, the outputs are in a high impedance-state, independent of the OE input.

Output OR-Tieing

Because EPROMs are usually used in larger memory arrays, Intel has provided 2 control lines which accommodate this multiple memory connection. The two control lines allow for:

- a) the lowest possible memory power dissipation, and
- b) complete assurance that output bus contention will not occur.

To use these two control lines most efficiently, CE (pin 20) should be decoded and used as the primary device selecting function, while OE (pin 22) should be made a common connection to all devices in the array and connected to the READ line from the system control bus. This assures that all deselected memory devices are in their low power standby mode and that the output pins are active only when data is desired from a particular memory device.

System Considerations

The power switching characteristics of HMOSII-E EPROMs require careful decoupling of the devices. The supply current, I_{CC}, has three segments that are of interest to the system designer—the standby current level, the active current level, and the transient current peaks that are produced by the falling and rising edges of Chip Enable. The magnitude of these transient current peaks is dependent on the output capacitive loading of the device. The associated transient voltage peaks can be suppressed by complying with Intel's Two-Line Control, as detailed in Intel's Application Note AP-72, Order Number 8586, and by properly selected decoupling capacitors. It is recommended that a 0.1 μF ceramic capacitor be used on every device between V_{CC} and GND. This should be a high frequency capacitor of low inherent inductance and should be placed as close to the device as possible. In addition, a 4.7 μF bulk electrolytic capacitor should be used between V_{CC} and GND for every eight devices. The bulk capacitor should be located near where the power supply is connected to the array. The purpose of the bulk capacitor is to overcome the voltage droop caused by the inductive effect of PC board-traces.

PROGRAMMING MODES

Caution: Exceeding 14V on pin 1 (V_{PP}) will permanently damage the 2764A.

Initially, and after each erasure, all bits of the 2764A are in the "1" state. Data is introduced by selectively programming "0s" into the desired bit locations. Although only "0s" will be programmed, both "1s" and "0s" can be present in the data word. The only way to change a "0" to a "1" is by ultraviolet light erasure.

The 2764A is in the programming mode when V_{PP} input is at 12.5V and CE and PGM are both at TTL low. The data to be programmed is applied 8 bits in parallel to the data output pins. The levels required for the address and data inputs are TTL.

Intelligent Programming™ Algorithm

The 2764A Intelligent Programming Algorithm rapidly programs Intel 2764A EPROMs using an efficient and reliable method particularly suited to the production programming environment. Typical programming time for individual devices is on the order of one and a half minutes. Programming reliability is also ensured as the incremental program margin of each byte is continually monitored to determine when it has been successfully programmed. A flowchart of the 2764A Intelligent Programming Algorithm is shown in Figure 3.

The Intelligent Programming Algorithm utilizes two different pulse types: initial and overprogram. The duration of the initial PGM pulse(s) is one millisecond, which will then be followed by a longer overprogram pulse of length $3X$ msec. X is an iteration counter and is equal to the number of the initial one millisecond pulses applied to a particular 2764A location, before a correct verify occurs. Up to 25 one-millisecond pulses per byte are provided for before the overprogram pulse is applied.

The entire sequence of program pulses and byte verifications is performed at $V_{CC} = 6.0V$ and $V_{PP} = 12.5V$. When the Intelligent Programming cycle has been completed, all bytes should be compared to the original data with $V_{CC} = V_{PP} = 5.0V$.

Program Inhibit

Programming of multiple 2764As in parallel with different data is easily accomplished by using the Program Inhibit mode. A high-level \overline{CE} or \overline{PGM} input inhibits the other 2764As from being programmed.

Except for \overline{CE} , all like inputs (including \overline{OE}) of the parallel 2764As may be common. A TTL low-level pulse applied to the \overline{CE} input with V_{PP} at 12.5V will program the selected 2764A.

Verify

A verify should be performed on the programmed bits to determine that they have been correctly programmed. The verify is performed with \overline{OE} at V_{IL} , \overline{CE} at V_{IL} , \overline{PGM} at V_{IH} and V_{PP} at 12.5V.

Intelligent Identifier™ Mode

The Intelligent Identifier Mode allows the reading out of a binary code from an EPROM that will identify its manufacturer and type. This mode is intended for use by programming equipment for the purpose of automatically matching the device to be programmed with its corresponding programming algorithm. This mode is functional in the $25^{\circ}C \pm 5^{\circ}C$ ambient temperature range that is required when programming the 2764A.

To activate this mode, the programming equipment must force 11.5V to 12.5V on address line A9 (pin 24) of the 2764A. Two identifier bytes may then be sequenced from the device outputs by toggling address line A0 (pin 10) from V_{IL} to V_{IH} . All other address lines must be held at V_{IL} during Intelligent Identifier Mode.

Byte 0 ($A0 = V_{IL}$) represents the manufacturer code and byte 1 ($A0 = V_{IH}$) the device identifier code. For the Intel 2764A, these two identifier bytes are given in Table 2. All identifiers for manufacturer and device codes will possess odd parity, with the MSB (O7) defined as the parity bit.

Table 2. 2764A Intelligent Identifier™ Bytes

Identifier \ Pins	A ₀ (10)	O ₇ (18)	O ₆ (18)	O ₅ (17)	O ₄ (18)	O ₃ (18)	O ₂ (13)	O ₁ (12)	O ₀ (11)	Hex Data
Manufacturer Code	V_{IL}	1	0	0	0	1	0	0	1	89
Device Code	V_{IH}	0	0	0	0	1	0	0	0	08

NOTES:

1. A₉ = 12.0V ± 0.5V
2. A₁-A₈, A₁₀-A₁₃, \overline{CE} , $\overline{OE} = V_{IL}$
3. A₁₄ = V_{IH} or V_{IL}

ERASURE CHARACTERISTICS

The erasure characteristics of the 2764A are such that erasure begins to occur upon exposure to light with wavelengths shorter than approximately 4000 Angstroms (Å). It should be noted that sunlight and certain types of fluorescent lamps have wavelengths in the 3000-4000 Å range. Data show that constant exposure to room level fluorescent lighting could erase that typical 2764A in approximately 3 years, while it would take approximately 1 week to cause erasure when exposed to direct sunlight. If the 2764A is to be exposed to these types of lighting conditions for extended periods of time, opaque labels should be placed over the 2764A window to prevent unintentional erasure.

The recommended erasure procedure for the 2764A is exposure to shortwave ultraviolet light which has a

wavelength of 2537 Angstroms (Å). The integrated dose (i.e., UV intensity \times exposure time) for erasure should be a minimum of 15 Wsec/cm². The erasure time with this dosage is approximately 15 to 20 minutes using an ultraviolet lamp with a 12000 μ W/cm² power rating. The 2764A should be placed within 1 inch of the lamp tubes during erasure. The maximum integrated dose a 2764A can be exposed to without damage is 7258 Wsec/cm² (1 week @ 12000 μ W/cm²). Exposure of the 2764A to high intensity UV light for long periods may cause permanent damage.

RELEVANT INTEL LITERATURE

AR-265 Versatile Algorithm, Equipment Cut Programming Time
RR-35B EPROM Reliability Data Summary

Intelligent Programming™ Algorithm

D.C. PROGRAMMING CHARACTERISTICS:

$T_A = 25 \pm 5^\circ\text{C}$, $V_{CC} = 6.0\text{V} \pm 0.25\text{V}$, $V_{PP} = 12.5\text{V} \pm 0.5\text{V}$

Symbol	Parameter	Limits			Test Conditions (see Note 1)
		Min.	Max.	Unit	
I_{LI}	Input Current (All Inputs)		10	μA	$V_{IN} = V_{IL}$ or V_{IH}
V_{IL}	Input Low Level (All Inputs)	-0.1	0.8	V	
V_{IH}	Input High Level	2.0	V_{CC}	V	
V_{OL}	Output Low Voltage During Verify		0.45	V	$I_{OL} = 2.1\text{ mA}$
V_{OH}	Output High Voltage During Verify	2.4		V	$I_{OH} = -400\ \mu\text{A}$
I_{CC2}	V_{CC} Supply Current (Program & Verify)		75	mA	
I_{PP2}	V_{PP} Supply Current (Program)		50	mA	$\overline{CE} = V_{IL}$
V_{ID}	A_0 Intelligent Identifier Voltage	11.5	12.5	V	

NOTES:

1. V_{CC} must be applied simultaneously or before V_{PP} and removed simultaneously or after V_{PP} .

A.C. PROGRAMMING CHARACTERISTICS:
 $T_A = 25 \pm 5^\circ\text{C}$, $V_{CC} = 6.0\text{V} \pm 0.25\text{V}$, $V_{PP} = 12.5\text{V} \pm 0.5\text{V}$

Symbol	Parameter	Limits				Test Conditions* (see Note 1)
		Min.	Typ.	Max.	Unit	
t_{AS}	Address Setup Time	2			μs	
t_{OES}	$\overline{\text{OE}}$ Setup Time	2			μs	
t_{DS}	Data Setup Time	2			μs	
t_{AH}	Address Hold Time	0			μs	
t_{DH}	Data Hold Time	2			μs	
t_{DFP}^4	$\overline{\text{OE}}$ High to Output Float Delay	0		130	ns	
t_{VPS}	V_{PP} Setup Time	2			μs	
t_{VCS}	V_{CC} Setup Time	2			μs	
t_{PW}	PGM Initial Program Pulse Width	0.95	1.0	1.05	ms	(see Note 3)
t_{OPW}	PGM Overprogram Pulse Width	2.85		78.75	ms	(see Note 2)
t_{OE}	Data Valid from $\overline{\text{OE}}$			150	ns	

***A.C. CONDITIONS OF TEST**

Input Rise and Fall Times (10% to 90%) ... 20 ns
 Input Pulse Levels 0.45V to 2.4V
 Input Timing Reference Level 0.8V and 2.0V
 Output Timing Reference Level ... 0.8V and 2.0V

NOTES:

1. V_{CC} must be applied simultaneously or before V_{PP} and removed simultaneously or after V_{PP} .
2. The length of the overprogram pulse may vary from 2.85 msec to 78.75 msec as a function of the iteration counter value X.
3. Initial Program Pulse width tolerance is 1 msec \pm 5%.
4. This parameter is only sampled and is not 100% tested. Output Float is defined as the point where data is no longer driven—see timing diagram.

กิติกรรมประกาศ

ในการทดลองวิจัยเรื่อง เครื่องวัดสัญญาณหัวใจ 2 ช่องสัญญาณ ตลอดจนการทำ
ปริญญาโทฉบับนี้ได้รับความสำเร็จลุล่วงมาด้วยดี ส่วนหนึ่งได้รับความอนุเคราะห์ ทั้งทางด้าน
คำแนะนำ การจัดหาอุปกรณ์ ตำรา และเครื่องมือต่างๆในการทดลอง ตลอดจนการช่วยแก้
ไขปัญหาต่างๆที่เกิดขึ้น จาก อาจารย์ ประภากร สุวรรณ อาจารย์ ยุทธนา คิติใจเดียว
รวมทั้งพี่ปริญญาโท ห้องชีวอิเล็กทรอนิกส์ทางการแพทย์ จึงกราบขอบพระคุณมา ณ ที่นี้



เอกสารนี้เป็นเอกสารที่สงวนไว้สำหรับการใช้งานเพื่อการศึกษาเท่านั้น ไม่อนุญาตให้นำไปใช้ประโยชน์ด้านการค้า
ไม่ว่ากรณีใดๆทั้งสิ้น อีกทั้งห้ามมิให้ดัดแปลงเนื้อหา และต้องอ้างอิงถึงเจ้าของเอกสารทุกครั้งที่มีการนำไปใช้

หนังสืออ้างอิง

1. มนัส สังวรศิลป์ , วิศวกรรมวิชาการแพทย์เบื้องต้น , คณะวิศวกรรมศาสตร์

สถาบันเทคโนโลยีพระจอมเกล้าเจ้าคุณทหารลาดกระบัง , 2522

2. ประกิจ ตั้งดีสานนท์ , ทฤษฎีโทรทัศน์ , คณะวิศวกรรมศาสตร์ สถาบัน

เทคโนโลยีพระจอมเกล้าเจ้าคุณทหารลาดกระบัง , 2529

3. คู่มือ ไอซี CMOS 4000 Series , ซีเอ็ดยูเคชั่น , พิมพ์ครั้งที่ 1 , 2529

4. Texas Instruments , The TTL Data Book , 1981.

5. National Semiconductor , Linear Data Book , 1973.

6. National Semiconductor , CMOS Data Book , 1978.

7. National Semiconductor , Data Conversion Acquisition Data

Book , 1980.